

CLAVE	2024-HC-39	TIPO:	ESTUDIO
RREFERENCIA CRONOLÓGICA	OCTUBRE 2024	CLASE:	SERVICIOS
TÍTULO BÁSICO	ESTUDIO DEL BALANCE ANUAL DE MASA EN EL GLACIAR DE LA MALADETA		
INFORME	DETERMINACIÓN DEL BALANCE ANUAL DE MASA Y MOVIMIENTO DEL HIELO EN EL GLACIAR DE LA MALADETA. AÑO HIDROLÓGICO 2023-2024		
EMPRESA CONSULTORA	SPESA INGENIERÍA S.A.		

UBICACIÓN	LA MALADETA (BENASQUE)
REFERENCIA CRONOLÓGICA	OCTUBRE 2024
TÍTULO BÁSICO	ESTUDIO DEL BALANCE ANUAL DE MASA EN EL GLACIAR DE LA MALADETA
INFORME	DETERMINACIÓN DEL BALANCE ANUAL DE MASA Y MOVIMIENTO DEL HIELO EN EL GLACIAR DE LA MALADETA. AÑO HIDROLÓGICO 2023-2024
AÑO HIDROLÓGICO	2023-2024

Equipo que ha participado en los trabajos:

Directora de los trabajos:

María Luisa Moreno Santaengracia

Jefe de proyecto:

Guillermo Cobos Campos

Equipo de campo y gabinete:

Guillermo Cobos Campos

Eduardo Lastrada Marcén

Alfonso Pedrero Muñoz

Alberto Barseló Ferrer

Fernando Gutiérrez Argul

José Agustín Collado Tramoyeres

Jacobo Navales Serrano (Trytón Guías Pirineo)

Bertran Montoya Deymes (Baqueira Beret)

Jonatan López López (Baqueira Beret)

ÍNDICE

GENERALIDADES	5
<u>ANTECEDENTES.....</u>	<u>5</u>
METODOLOGÍA	6
CONCEPTOS Y TÉRMINOS	6
TÉCNICAS APLICADAS	9
RED DE BALIZAS DE ABLACIÓN	10
<u>TRABAJOS REALIZADOS</u>	<u>14</u>
BALANCE DE MASA 2020-2021	14
CAMPAÑAS DE CAMPO.....	19
ANÁLISIS DE DATOS	24
DETERMINACIÓN DEL MOVIMIENTO DEL HIELO	27
<u>RESUMEN Y CONCLUSIONES</u>	<u>28</u>

ANEJOS

ANEJO 1. GRÁFICOS

ANEJO 1.1 GLACIAR DE LA MALADETA. RED DE BALIZAS DE OBSERVACIÓN
ANEJO 1.2 GLACIAR DE LA MALADETA. MOVIMIENTOS INDIVIDUALES DE LAS BALIZAS

ANEJO 1.3 GLACIAR DE LA MALADETA. LÍMITES DEL GLACIAR
ANEJO 1.4 GLACIAR DE LA MALADETA. PERFIL LONGITUDINAL

ANEJO 2. RESULTADOS MODELO HIDROLÓGICO ASTER

ANEJO 3. FOTOGRAFÍAS

ANEJO 4. TEMPERATURAS ESTACIÓN METEOROLÓGICA ANETO (JUN-OCT)

ANEJO 5. COMPARATIVA IMÁGENES SATÉLITE SENTINEL (JUN-OCT 2024)

GENERALIDADES

El presente documento, con carácter de **INFORME**, tiene por objeto presentar un avance de las principales conclusiones alcanzadas, así como el detalle de los trabajos desarrollados, en la realización de los apartados correspondientes a:

Determinación del balance anual de masa y del movimiento del hielo en el glaciar de La Maladeta (año hidrológico 2023-2024) apartados correspondientes a la Asistencia Técnica “**ESTUDIO DEL BALANCE ANUAL DE MASA EN EL GLACIAR DE LA MALADETA**”.

Dicha Asistencia Técnica se enmarca dentro del **Programa ERHIN** de la **Confederación Hidrográfica del Ebro** del Ministerio para la Transición Ecológica y el Reto Demográfico.

ANTECEDENTES

El funcionamiento de la dinámica glaciar establece una conexión evidente entre los procesos de hielo y nieve; la acumulación de hielo glaciar se produce desde la transformación de acumulaciones anteriores de nieve que perduran después del período cálido anual. Más allá del valor que presenta la cuantificación de los recursos hídricos implicados en estos procesos, el mayor interés del conocimiento de la evolución de los aparatos glaciares procede de ser éstos unos valiosos testigos de la actividad nival y por lo tanto hidrológica, por cuanto proporcionan información sobre dos aspectos muy importantes relacionados con el factor nieve: acumulación total anual y fluctuación climática a media y larga escala.

Esta propiedad que ostentan los glaciares de acusar las variaciones interanuales del clima, cuya respuesta más evidente es la fluctuación de sus frentes, los convierte en útil instrumento para determinar el sentido y magnitud de los cambios climáticos. En particular, la posición meridional de los glaciares pirenaicos les confiere un valor excepcional y casi único en Europa para el estudio de dichos cambios climáticos en nuestras latitudes.

El Programa ERHIN (Evaluación de los Recursos Hídricos procedentes de la INnivación) de la DGA viene realizando desde 1990 un seguimiento sistemático de los glaciares, atendiendo a sus dinámicas morfométricas, evolutivas, climáticas, nivológicas e hidrológicas.

Para ello, este programa desarrolla un plan de trabajo que engloba actividades muy diversas en estos campos, como son:

- Control anual de las fluctuaciones glaciares.
- Actualización permanente de la información cartográfica.
- Medida del balance de masa glaciar.
- Determinación de espesores y estructura interna de las masas de hielo.
- Determinación de la topografía de los lechos glaciares.
- Cuantificación del movimiento superficial del hielo.
- Relación de la dinámica glaciar con respecto a la climática y más en concreto con respecto a la nival.
- Planificación general de investigaciones.

En lo que se refiere a los trabajos específicos del balance de masa, la DGOH procedió en 1991 a la instalación en el glaciar de La Maladeta de siete balizas de ablación. Así, desde 1992 se vienen realizando controles anuales sistemáticos de este aparato glaciar, disponiéndose en la actualidad de datos de treinta y dos años hidrológicos completos. El control topográfico de las balizas de ablación ha permitido, además, la determinación del movimiento superficial del hielo.

Los trabajos se han desarrollado con la ayuda del helicóptero AS 350 Ecureuil B3 (Aerospatiale Soud Aviation), contratado con la empresa Eliance con base en el Valle de Arán (Lérida). Resulta un aparato altamente cualificado para este tipo de trabajos en alta montaña.

Así mismo y, por segunda vez, se han realizado dos vuelos mediante dron para medir la superficie del glaciar, uno lídar y otro fotográfico. Dichos vuelos han sido realizados por personal técnico de la empresa Baqueira Beret S.A.

METODOLOGÍA

CONCEPTOS Y TÉRMINOS

El balance anual de masa es la cantidad que expresa la variación sufrida por el volumen de hielo de un determinado glaciar a lo largo de un período hidrológico anual completo. En la

práctica, este balance se mide en términos de columna de agua equivalente (aplicando las densidades respectivas de hielo y nieve), como valor específico aplicable a toda la superficie ocupada por el hielo. De este modo se trabaja con una variable reducida que permite rápidas comparaciones con otros glaciares de muy distintos tamaños.

Los diferentes procesos que intervienen sobre el glaciar a lo largo del año se describen, simplificadamente, a continuación.

Al comienzo del período invernal, esto es, cuando comienza el período de acumulación nival sobre el glaciar, la superficie presenta un estado que denominaremos inicial. Sobre un corte transversal, como el presentado en la figura 1, esta superficie define un perfil inicial. Durante todo el período invernal se suceden las precipitaciones en forma de nieve, de tal modo que, cuando dicho período puede darse en teoría por concluido, se ha definido un perfil de máxima acumulación nival superpuesto sobre el anterior. A partir de entonces comienza el período de ablación, en el que predomina la fusión de nieve -también la sublimación- y las precipitaciones pueden considerarse en su mayor parte líquidas (lluvia). Al terminar el período de ablación y con él el anual dando comienzo un nuevo ciclo, el glaciar adopta un perfil final definitivo distinto del inicial.

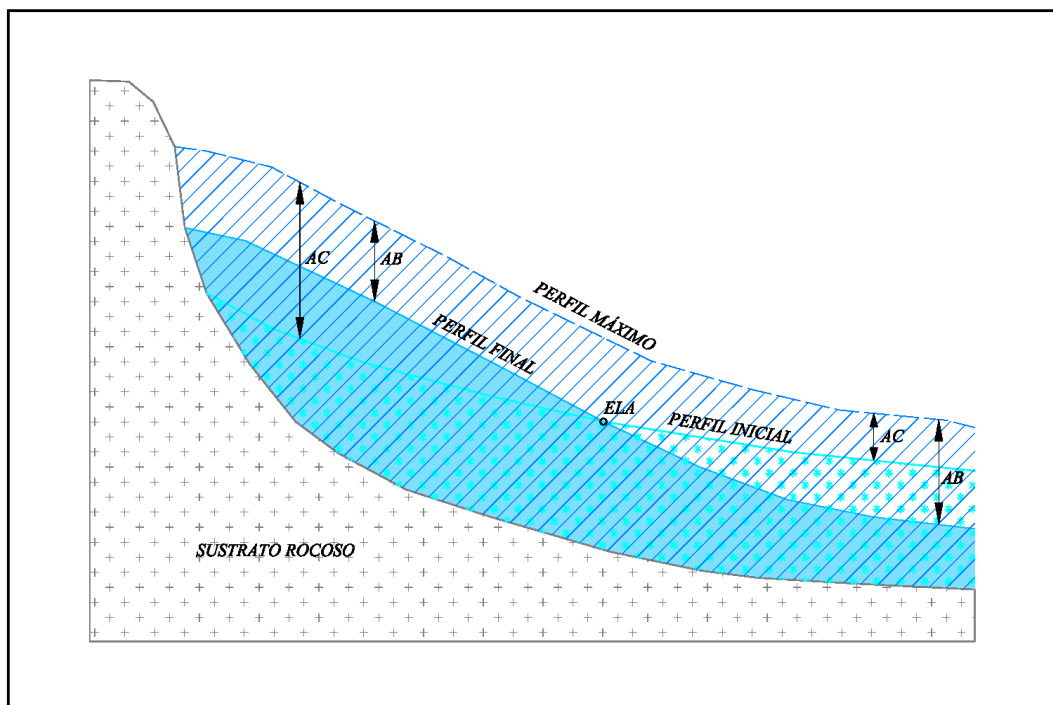


Figura 1. Esquema de un perfil glaciar.

En general, sobre cada punto del glaciar se habrán dado valores particulares de acumulación y de ablación y de la diferencia entre ambos se obtendrá el balance puntual. En determinadas áreas, las más altas o de acumulación, ocurre que durante el período de ablación no llega a fundir toda la nieve acumulada en invierno; en este caso el perfil definitivo se sitúa intermedio entre el inicial y el máximo, el balance es positivo y se da ganancia de masa. En las partes bajas la tasa de ablación supera a la de acumulación máxima; en este caso toda la nieve invernal desaparece e incluso funde parte del hielo glaciar subyacente, dándose una cierta pérdida de la masa preexistente.

Estas condiciones determinan la existencia de un punto (sobre el perfil, que es una línea a nivel superficial) en el que el balance es nulo, ya que la ablación es exactamente igual a la acumulación nival. La línea así dibujada sobre la superficie del glaciar es la denominada "línea de equilibrio". En la práctica, como es bien conocido, tanto la acumulación como la ablación pueden ser consideradas como fuertemente relacionadas con la precipitación y temperatura y éstas, caracterizadas por gradientes que dependen fundamentalmente de la altitud. Dicho de otro modo, la línea de equilibrio se asemeja mucho a una curva de nivel topográfico, de ahí que se maneje el concepto de "altitud de la línea de equilibrio" (ELA: Equilibrium Line Altitude) como valor característico anual en un glaciar determinado, separando claramente las llamadas zonas de acumulación (ganancia) y ablación (pérdida).

Esta exposición responde, como se ha dicho, a una interpretación ciertamente simplista. En la realidad el fenómeno es más complicado, no existiendo, por ejemplo, una separación temporal tan meridianamente clara entre los distintos períodos (lo cual no influye demasiado a la hora de calcular el balance).

A todo ello se debe superponer la componente dinámica asociada a la masa de hielo. La existencia de una zona con ganancia de masa, frente a otra con pérdida, determina la existencia de un flujo natural que provoca el desplazamiento del hielo como material plástico, con velocidades muy diversas que dependen de tamaños y espesores de la masa de hielo. Así, en algunos casos deberá tenerse en cuenta la llamada "zona de hielo sobreimpuesto", que corresponde a una pequeña banda situada por debajo de la línea de equilibrio, pero donde existe ganancia de masa; esta ganancia es debida al aporte másico producido dinámicamente

desde la zona de acumulación situada inmediatamente por encima de la línea de equilibrio, dándose un balance puntual positivo a pesar de encontrarse situada en una altitud donde la ablación es superior a la acumulación.

TÉCNICAS APLICADAS

Los procedimientos utilizables para proceder al cálculo de los diferentes componentes que intervienen en el balance son muy variados, y su diferente aptitud depende en gran medida de las características particulares de cada problema planteado.

En el glaciar de La Maladeta y dada la superficie a controlar, se ha optado por un método englobado entre los denominados "lineales".

Consiste, básicamente, en un procedimiento de cálculo que se apoya sobre datos obtenidos a partir de una red de balizas previamente instaladas en el hielo. La disposición de esta red persigue determinar, lo más fielmente posible, el gradiente altitudinal existente tanto en precipitaciones (acumulación), como en fusión (ablación-temperatura). Con estos valores puntuales se definen las correspondientes funciones lineales -con respecto a la altitud- que permiten realizar un cálculo extrapolado sobre el total de la superficie glaciar.

Las medidas de acumulación se realizan con la ejecución de sondeos en la capa de nieve, con extracción continua de testigo y determinación de la densidad -o equivalente en agua- por pesada directa de columna de testigo. Los puntos de muestreo se emplazan lo más cercano posible al emplazamiento de las balizas incrustadas en el hielo. No obstante, y dado que tales balizas son invisibles en la época de realización de las medidas (con máxima acumulación nival de hasta 6 metros de espesor, sobre balizas con emergencia máxima de 2 metros), dicho posicionamiento se realiza de manera aproximada -por ejemplo, con uso de altímetro y en los últimos años mediante GPS de navegación-. Esta práctica no tiene por qué añadir errores adicionales, siempre y cuando la lectura de altitudes se realice correctamente, no teniendo mayor trascendencia el hecho de que las lecturas no correspondan a posiciones exactas de las balizas.

Las medidas de ablación se realizan directamente sobre las balizas incrustadas en el hielo, a partir de la diferencia de lecturas -de longitud de emergencia sobre el hielo-, respecto a la temporada anterior. Así mismo, en los últimos años se están tomando puntos de la superficie por topografía clásica y desde 2023 mediante vuelo lídar con dron. Esto permite también medir el balance por diferencia entre superficies topográficas correspondientes a dos años hidrológicos consecutivos.

RED DE BALIZAS DE ABLACIÓN

De acuerdo con los criterios enunciados, la red de balizas instaladas inicialmente en La Maladeta se componía de un total de siete. Cinco de ellas se situaron a diferentes altitudes conformando una línea de máxima pendiente sobre el eje principal del glaciar. Las dos restantes se emplazaron a uno y otro lado, respectivamente, de esta línea teórica, en la zona de mayor amplitud del glaciar, formando una cruz a la altura de la baliza intermedia del eje principal (pueden observarse en la figura 2).

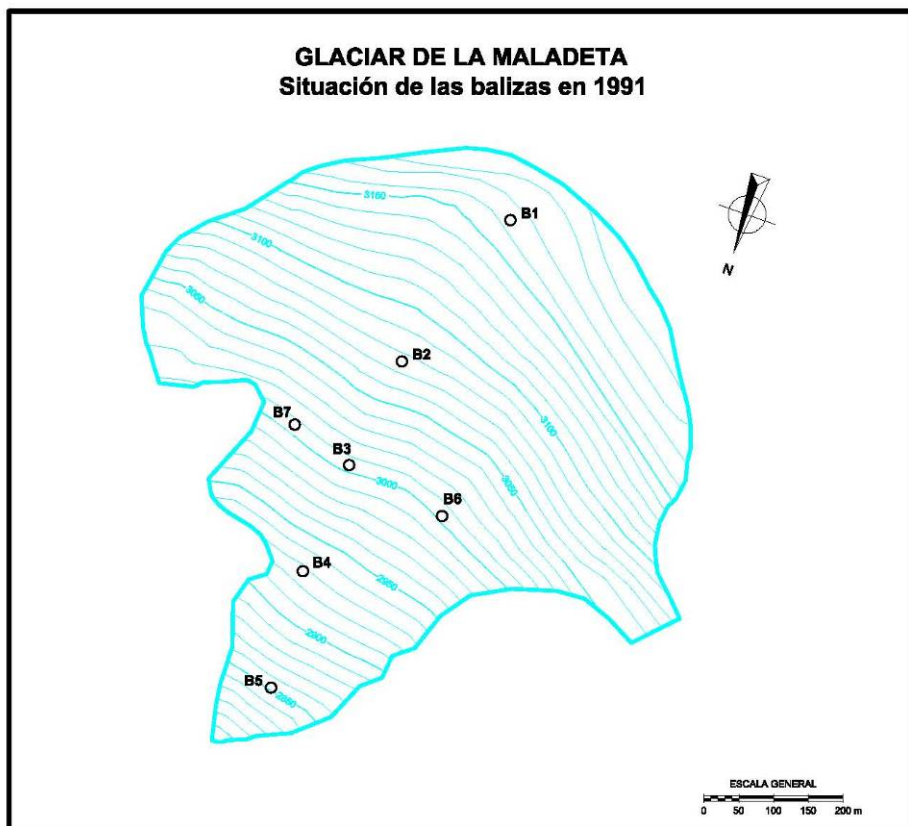


Figura 2: Red inicial de Balizas de Ablación

Cada baliza totaliza una longitud de 10 metros y están formadas por cinco tramos de 2 metros cada uno, fabricados en madera y pintados en colores diferentes (azul-negro-verde-amarillo-rojo). La unión entre tramos se realiza por medio de un pequeño trozo de cadena metálica, con el fin de dotar de la necesaria flexibilidad al conjunto y permitir, con ello, su adecuación al movimiento diferencial del hielo estratificado. En el extremo inferior de la baliza (tramo rojo) se dispone un fleje metálico, con el fin de garantizar la sujeción permanente del conjunto a la masa de hielo.



Para el emplazamiento de las balizas se realizan perforaciones previas en la capa de hielo, con el fin de preparar el taladro hueco de acogida del conjunto. En este caso se ha empleado un procedimiento de sondeo con vapor de agua, que resulta un procedimiento sencillo y de gran rendimiento (hasta 100 metros/hora). Los sondeos se prolongan hasta profundidades entre 9 y 10 metros, de acuerdo con las longitudes de las balizas preparadas en taller. Todas las balizas quedan después replanteadas con topografía de precisión, realizada desde una base adecuada externa al hielo.



La red de balizas de ablación del glaciar de La Maladeta se implantó en octubre de 1991 con un total de 7 balizas. Posteriormente en 1996, 2000, 2004, 2007, 2013 y 2018 se han realizado reinstalaciones de estos elementos a medida que han ido quedando inoperativas, al aflorar del hielo en su totalidad. Así se han instalado un total de 30 balizas. La red básica ha pasado a ser de 4 elementos de control en vez de 7 ya que la zona donde se situaba la B7 y B8 quedó aislada debido a la aparición de un afloramiento rocoso con lo que el movimiento en esa zona era inapreciable y actualmente ya no queda nada de hielo en esa zona. Tampoco se instalaron en 2007 balizas en la zona de la B6 ya que el continuo estrechamiento del glaciar ha hecho que también desaparezca esa zona, por lo que se ha preferido instalar las balizas tan solo en el eje central del mismo. Así mismo, en la zona donde se encontraban las balizas B5, B12 y B17, el hielo ha desaparecido por completo al retroceder el frente del glaciar. En 2007 se instaló una baliza (B20) a una cota situada entre las primeras B1 y B2 que permitía obtener el movimiento del glaciar en su parte superior, pero sin que ocurriera como con la B1 que se perdió desde el primer año de instalación debido a que se situó en la zona alta del glaciar en la cual éste aumentaba de espesor, es decir, por haberse instalado por encima de la línea de equilibrio.

Durante las mediciones de ablación realizadas en el año hidrológico 2006-2007, se observó la desaparición de las balizas centrales B13 y B19 que eran las únicas que quedaban en 2006 con apenas 1 m de las mismas incrustadas en el hielo. Por ello, los cálculos de pérdida de espesor del glaciar se realizaron en dicho año hidrológico a partir de las cotas de puntos tomados mediante topografía clásica en la superficie del hielo glaciar en aquellas zonas donde estaban ubicadas las balizas antiguas.

Durante el año hidrológico 2010-2011, la baliza B23 situada a menor cota desapareció también, al salir en su totalidad al exterior. No obstante, el cálculo del balance en esa zona realizó por topografía clásica, a partir de la diferencia de cota entre dicho año y el anterior. Dado el poco espesor de hielo que debe quedar en esa parte del glaciar, en 2013 no se instalaron balizas a tan baja cota, siendo la cota de la baliza inferior (B26) 2.952 m. En el año hidrológico 2011-2012 desapareció también la baliza 21 y en el año hidrológico 2013-2014 desapareció la baliza 22. En 2016-2017 desapareció la baliza 26; en 2017-2018 la baliza 25 y en 2018-2019 la baliza 24. En el año hidrológico 2019-2020 desapareció la baliza 20.

En la campaña (2017-2018) se decidió instalar cuatro nuevas balizas. Para ello se obtuvo previamente la zona del glaciar en la que el espesor era superior a 10 m (longitud de las balizas a instalar) según un estudio geofísico realizado el año anterior. A partir del resultado obtenido, se decidió instalar las nuevas balizas en el nuevo eje del glaciar y a una cota superior a 3.000 m según se muestra en la figura 3. En 2021 sólo quedaban las balizas B27, B28, B29 y B30 instaladas en 2018. **La baliza B1 instalada en 1991 en la parte alta del glaciar, justo en la salida de la rimaya, ha vuelto a aflorar el pasado año 2023 después de 31 años sin ser vista.** La B30 instalada a 3.032 m era la baliza situada a menor cota, pero en 2022 desapareció junto con la B29. La baliza B28 se instaló un poco hacia el este del eje del glaciar ya que existe una zona central con espesores menores de 10 m y que se ha tratado de evitar, pero no ha sido vista desde 2022, por lo que la damos por desaparecida. Por lo tanto, **en 2024 sólo quedan la B1 y B27**, esta última con apenas 77cm incrustados en el hielo, por lo que seguramente desaparezca durante el próximo año hidrológico. Para la próxima temporada habrá que estudiar si vale la pena seguir instalando más balizas, ya que el espesor que queda es menor de 10 m en la mayor parte del glaciar y, si se sigue la tendencia de estos tres últimos años (sobre todo 2022), no creemos que duren más de tres años.

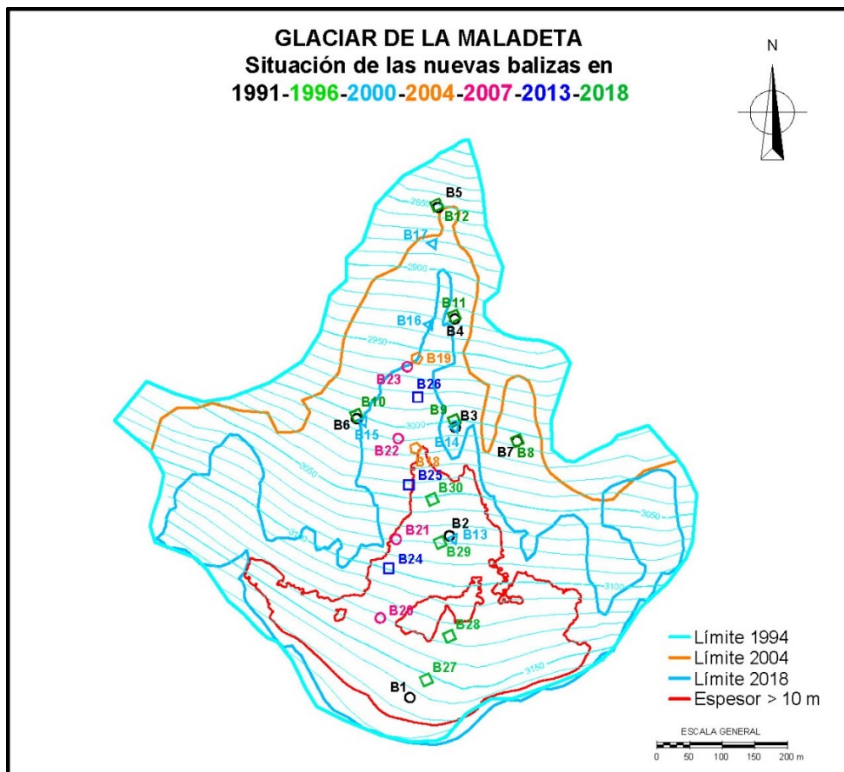


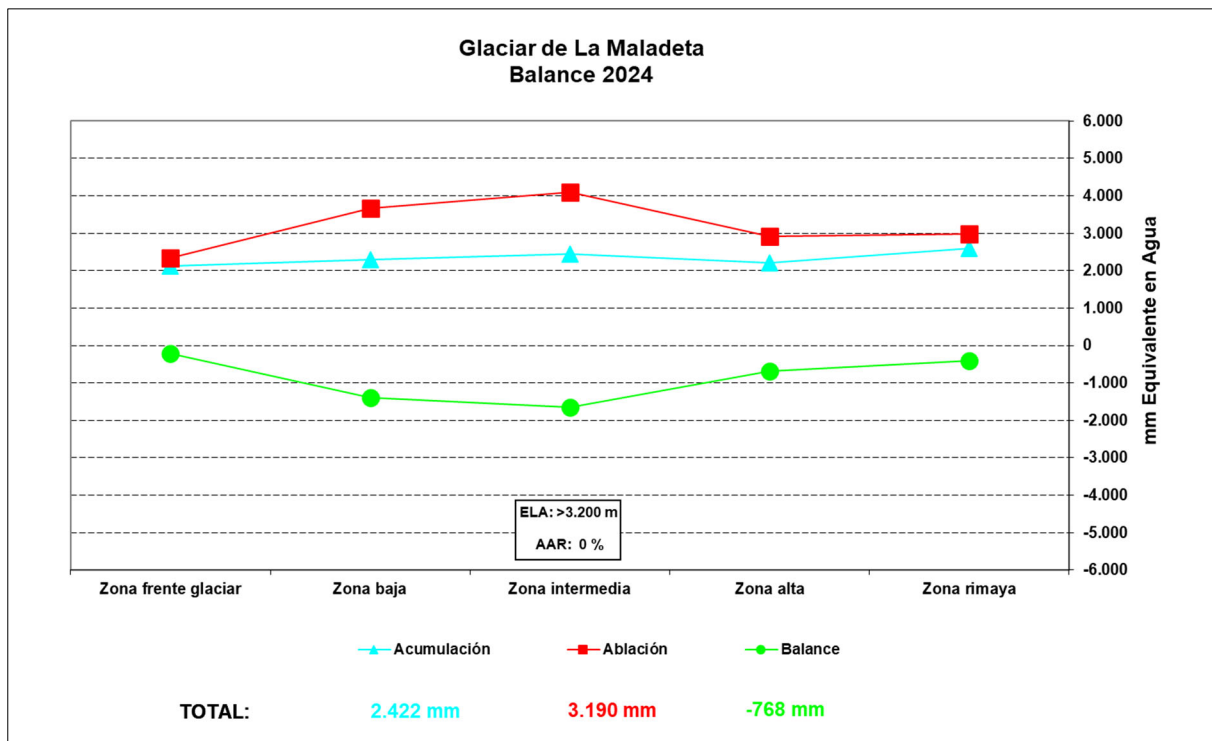
Figura 3: Situación de las nuevas Balizas de Ablación

TRABAJOS REALIZADOS

BALANCE DE MASA 2023-2024

El 33º año de observación (2023-2024), presenta un balance total de **-768 mm EQA**, el **14º más favorable** de toda la serie (1991-92 – 2023-24). La línea de equilibrio (**ELA**) fija su posición **por encima de 3.200 m** que se corresponde con la cota máxima del glaciar, con un ratio de superficie de acumulación **AAR** (relación entre superficie de la zona de acumulación –o balance positivo- y la superficie total del glaciar) del **0%**. Cabe destacar el hecho de que desde el año hidrológico 2002-2003 la línea de equilibrio ha estado situada por encima de la cota superior del glaciar, salvo en los años hidrológicos 2007-2008 que se situó a 3.100 m, 2009-2010 a 3.000 m, 2012-2013 a 3.060 m, 2013-2014 a 3.090 m, 2017-2018 a 3.092 m y 2019-2020 a 3.117 m. La parte alta del glaciar está a unos 3.200 m.

En siguiente gráfico se representan las correspondientes curvas de acumulación, ablación y balance por cotas:



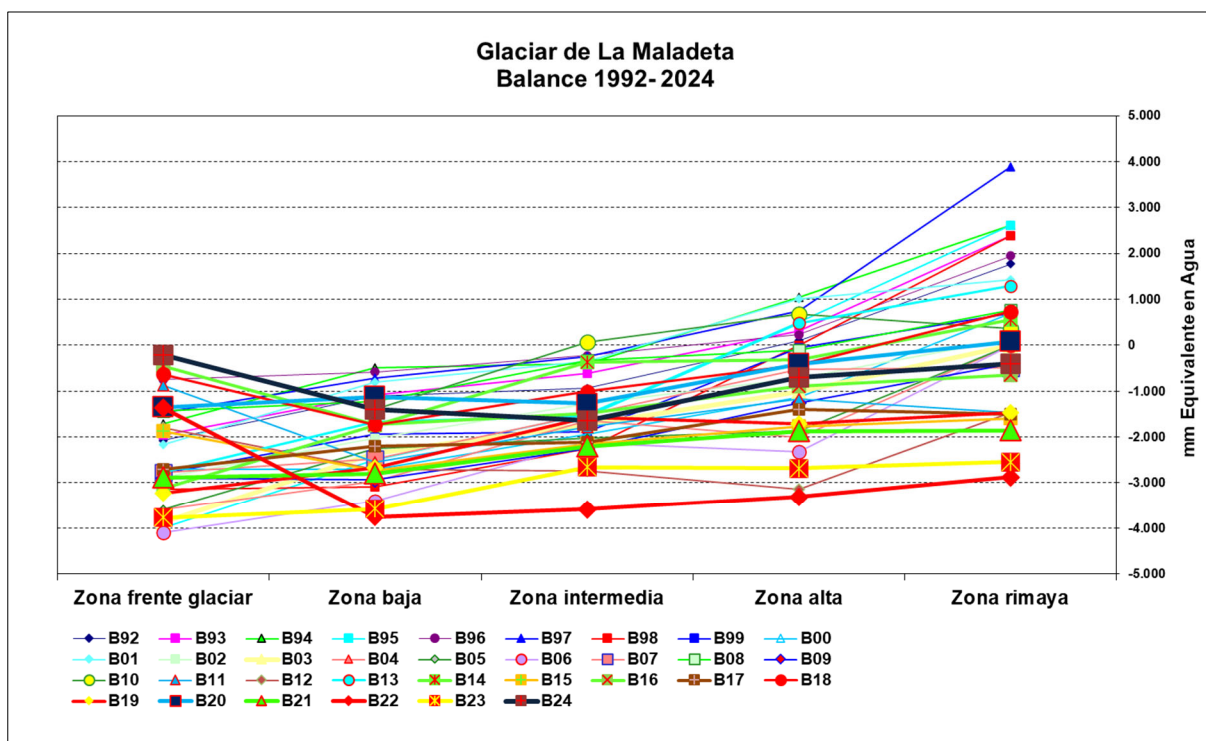
BALANCE DE MASA. GLACIAR DE LA MALADETA									
				Altitud					
AÑO		TOTAL mm	ELA msnm	AAR %	Zona rimaya	Zona alta glaciar	Zona intermedia glaciar	Zona baja glaciar	Zona frente glaciar
1992	AC 92	1682			2160	2550	1147	1210	960
	AB 92	2009	3090	25,5	386	2447	2081	2314	3034
	B 92	-327			1774	103	-935	-1104	-2074
1993	AC 93	2132			3471	1775	1793	1565	2024
	AB 93	2164	3066	34,5	1087	1456	2405	2653	3982
	B 93	- 32			2384	319	- 612	-1088	-1958
1994	AC 94	1975			2650	1950	1856	1579	1668
	AB 94	1624	3028	48,8	30	910	2259	2060	3385
	B 94	351			2620	1040	- 403	- 481	-1717
1995	AC 95	1976			3068	1915	1953	1059	1551
	AB 95	2619	3075	31,1	448	1415	3453	3559	5551
	B 95	- 643			2620	500	-1500	-2500	-4000
1996	AC 96	2585			3907	1978	2659	1471	3183
	AB 96	2378	3049	40,8	1962	1750	2880	2056	3933
	B 96	207			1945	228	- 221	- 585	- 750
1997	AC 97	1865			3280	1700	1832	1135	1046
	AB 97	1354	3025	49,9	- 613	948	2086	1850	2516
	B 97	512			3893	752	- 253	- 715	-1470
1998	AC 98	1967			4316	1650	1597	1130	1144
	AB 98	2922	3100	21,7	2387	1650	3854	4217	4276
	B 98	- 955			1929	0	-2258	-3 087	-3132
1999	AC 99	1197			2472	918	1144	684	288
	AB 99	1961	3104	20,2	1780	968	3034	2619	3078
	B 99	- 764			692	-50	-1890	-1935	-2790
2000	AC 00	1706			2682	1119	1732	1800	288
	AB 00	2606	3138	9,0	1990	2257	3661	4509	3078
	B 00	- 900			692	- 1138	- 1929	- 2709	- 2790
2001	AC 01	2448			3007	2250	2623	1624	1440
	AB 01	1945	3025	69,0	1578	1233	2972	2434	4149
	B 01	503			1429	1017	- 349	- 810	- 2709
2002	AC 02	1776			2610	1098	2089	1717	1628
	AB 02	2587	3142	10,0	2470	1812	3357	3742	3788
	B 02	- 811			140	- 714	- 1268	- 2025	- 2160
2003	AC 03	3103			3349	3819	2256	1668	1330
	AB 03	4205	> 3200	0,0	3358	4287	3984	4031	5200
	B 03	- 1102			- 9	- 1008	- 1728	- 2363	- 3870
2004	AC 04	2446			3338	1971	2508	2041	1890
	AB 04	3962	> 3200	0,0	3338	3969	4146	5011	5490
	B 04	- 1516			0	- 1998	- 1638	- 2970	- 3600
2005	AC 05	1759	3150		2651	1720	1074	1383	954
	AB 05	3238			2651	3583	3095	3642	4554

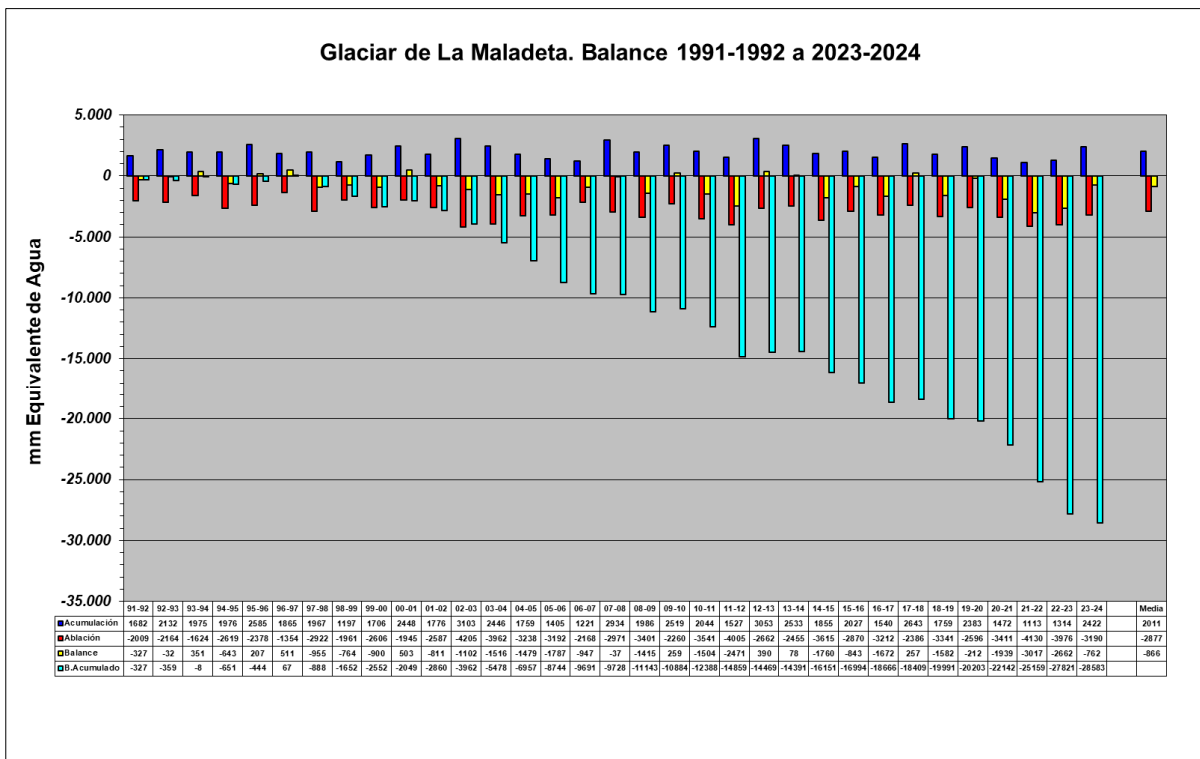
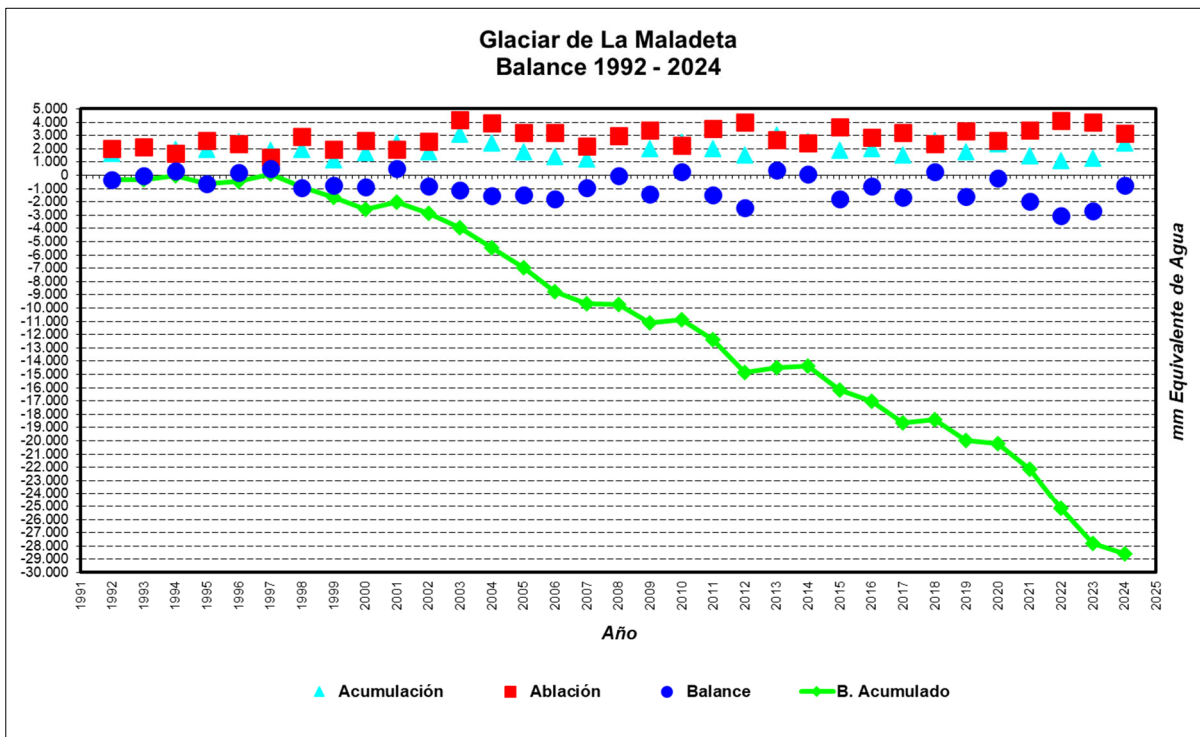
BALANCE DE MASA. GLACIAR DE LA MALADETA									
				Altitud					
AÑO		TOTAL mm	ELA msnm	AAR %	Zona rimaya	Zona alta glaciar	Zona intermedia glaciar	Zona baja glaciar	Zona frente glaciar
	B 05	- 1479		0,0	0	-1863	-2021	-2259	-3600
2006	AC06	1405			1553	1446	1319	1131	855
	AB 06	3192	> 3200	0,0	1553	3765	3456	4528	4959
	B 06	- 1787			0	-2320	-2138	-3398	-4104
2007	AC07	1221			1881	807	1248	711	518
	AB 07	2168	> 3200	0,0	2364	1326	2746	3180	3290
	B 07	- 947			-483	-519	-1498	-2469	-2772
2008	AC08	2934			4633	2288	2438	1888	1961
	AB 08	2971	3100	34	3875	2395	2776	3116	3397
	B 08	- 37			758	-107	-338	-1228	-1436
2009	AC09	1986			2639	1587	1994	1656	1367
	AB 09	3401	> 3200	0,0	3047	2838	4245	4579	4265
	B 09	-1415			-407	-1251	-2251	-2923	-2898
2010	AC10	2519			3116	2179	2457	2246	1929
	AB 10	2260	3000	80	2756	1500	2392	3640	2132
	B 10	259			360	679	65	-1394	-203
2011	AC 11	2044			2015	1919	2298	1807	1941
	AB 11	3541	>3200	0	3479	3087	4076	4347	2778
	B 11	-1504			-1464	-1168	-1779	-2540	-873
2012	AC 12	1527			1556	1493	1683	1196	1043
	AB 12	4005	>3200	0	3020	4634	4415	3896	2843
	B 12	-2471			-1464	-3141	-2732	-2700	-1800
2013	AC 13	3053			3431	1833	2386	2059	2450
	AB 13	2662	3060	58	2134	1350	3937	3722	5222
	B 13	390			1297	484	-1551	-1663	-2772
2014	AC 14	2533			2796	1754	2050	1552	2485
	AB 14	2455	3090	46	2242	2063	2409	3296	5603
	B 14	78			554	-309	-359	1743	-3119
2015	AC 15	1855			1907	1882	1845	1815	1780
	AB 15	3615	>3200	0	3502	3646	3996	4541	3649
	B 15	-1760			-1595	-1764	-2151	-2726	-1869
2016	AC 16	2027			2103	1844	1782	1770	2373
	AB 16	2870	>3200	0	2741	2727	3266	3499	2823
	B 16	-843			-638	-882	-1484	-1729	-450
2017	AC 17	1540			1561	1536	1499	1469	1434
	AB 17	3212	>3200	0	3055	2940	3605	3674	4134
	B 17	-1672			-1494	-1404	-2106	-2205	-2700
2018	AC 18	2643			2670	2633	2577	2532	2479
	AB 18	2386	3092	46	1931	3063	3581	4260	3109
	B 18	257			739	-431	-1004	-1729	-630
2019	AC 19	1759			1785	1199	1516	1408	1903
	AB 19	3341	>3200	0	3343	2905	3094	4082	5125
	B 19	-1582			-1474	-1706	-1577	-2674	-3222

BALANCE DE MASA. GLACIAR DE LA MALADETA									
				Altitud					
AÑO		TOTAL mm	ELA msnm	AAR %	Zona rimaya	Zona alta glaciar	Zona intermedia glaciar	Zona baja glaciar	Zona frente glaciar
2020	AC 20	2383			2447	2233	2120	2391	2357
	AB 20	2596	3.117	31	2367	2644	3388	3510	3707
	B 20	-212			80	-410	-1268	-1120	-1350
2021	AC 21	1472			1503	1404	1409	1267	1301
	AB 21	3411	>3.200	0	3359	3275	3609	4062	4181
	B 21	-1939			-1857	-1871	-2199	-2795	-2880
2022	AC 22	1113			1273	1121	349	384	1025
	AB 22	4130	>3.200	0	4151	4434	3939	4140	2393
	B 22	-3017			-2878	-3313	-3590	-3756	-1368
2023	AC 23	1314			1499	1290	1032	768	1035
	AB 23	3976	>3.200	0	4043	3972	3691	4347	4809
	B 23	-2662			-2543	-2681	-2660	-3579	-3774
2024	AC 24	2422			2594	2220	2450	2285	2130
	AB 24	3190	>3.200	0	2991	2911	4093	3674	2332
	B 24	-768			-397	-690	-1644	-1389	-203

Tabla I: Balance de Masa del glaciar de La Maladeta. 1992 a 2024

Con la ayuda de la Tabla I y los siguientes gráficos podemos comparar los datos de los 33 ciclos estudiados hasta el momento.





CAMPAÑAS DE CAMPO

La acumulación invernal se ha determinado a partir de los datos de espesores nivales obtenidos a diferentes cotas el **6 de junio de 2024**. Dichos espesores fueron:

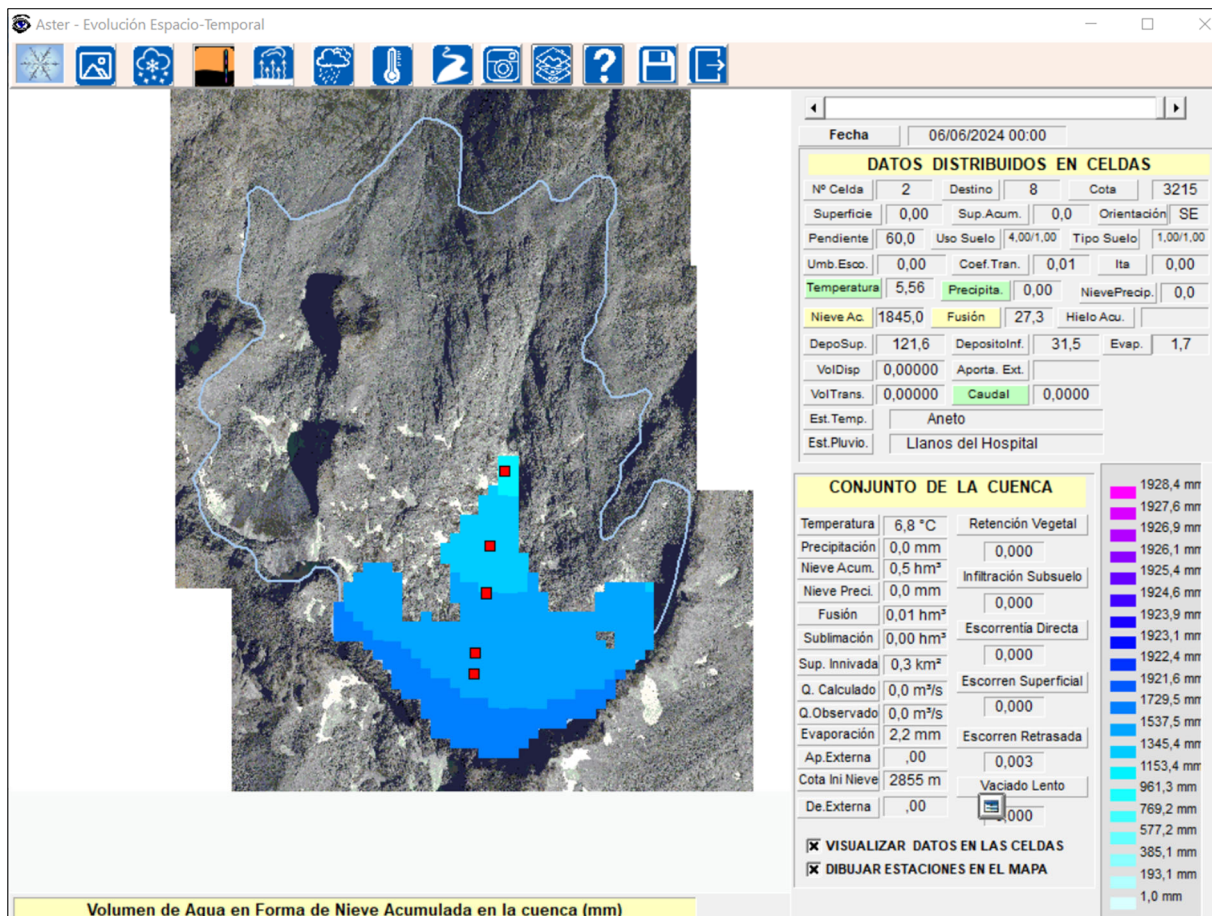
Cota m	Espesor cm
3.165	620
3.150	560
3.120	500
3.100	480
3.080	400
3.040	540
2.990	490
2.975	400
2.950	450
2.930	510
2.905	450
2.890	450
2.860	480
2.830	400
2.800	500
2.780	460
2.740	320
2.300	0

Con estos espesores y tomando unas densidades medias de los últimos años en los que sí se realizaron sondeos, se obtienen los siguientes valores de acumulación:

Sondeo	Cota m	H nieve cm	d g/cm³	eq mm
1	3.150	590	0,56	3.304
2	3.100	460	0,57	2.622
7-3-6	3.050	540	0,58	3.132
4	3.000	490	0,59	2.891
5	2.975	442	0,60	2.652

A partir de estos valores y ajustándolos a las superficies del glaciar a diferentes cotas, se obtiene una acumulación total de **3.015 mm de agua equivalente**.

Con el fin de ajustar el cálculo de la acumulación glaciar se ha procedido también a su cálculo a partir de los datos hidrológicos disponibles mediante el modelo hidrológico-nival Aster. Los resultados completos de la simulación aparecen en el Anejo 2.



Los resultados obtenidos para el 6 de junio de 2024 son los siguientes:

Cotas		Aster Maladeta		
Aster	Glaciar	Diferencia	eq mm Aster	eq mm glaciar
3.212	3.150	-62	1.873,55	1.827,05
3.150	3.100	-50	1.779,89	1.742,39
3.050	3.050	0	1.671,87	1.671,87
2.950	3.000	50	1.509,24	1.546,74
2.878	2.975	97	1.368,94	1.441,69

Que, ajustando a las superficies del glaciar por cotas, nos da un valor de **1.754 mm**.

Se ha decidido tomar el valor medio entre el resultado obtenido a partir de la medición de espesores y el obtenido a partir del modelo Aster (máxima acumulación). Estos valores son:

**Promedio medición-Aster
Maladeta**

Cota (m)	eq (mm)
3.150	2.593,53
3.100	2.220,45
3.050	2.449,82
3.000	2.284,90
2.975	2.129,84

El resultado final de la acumulación para el año hidrológico 2023-2024 sería **2.422 mm** de agua equivalente.

En la siguiente tabla aparecen los valores obtenidos por cota y superficie (a partir de los datos de superficies obtenidas en la última campaña 2022-2023):

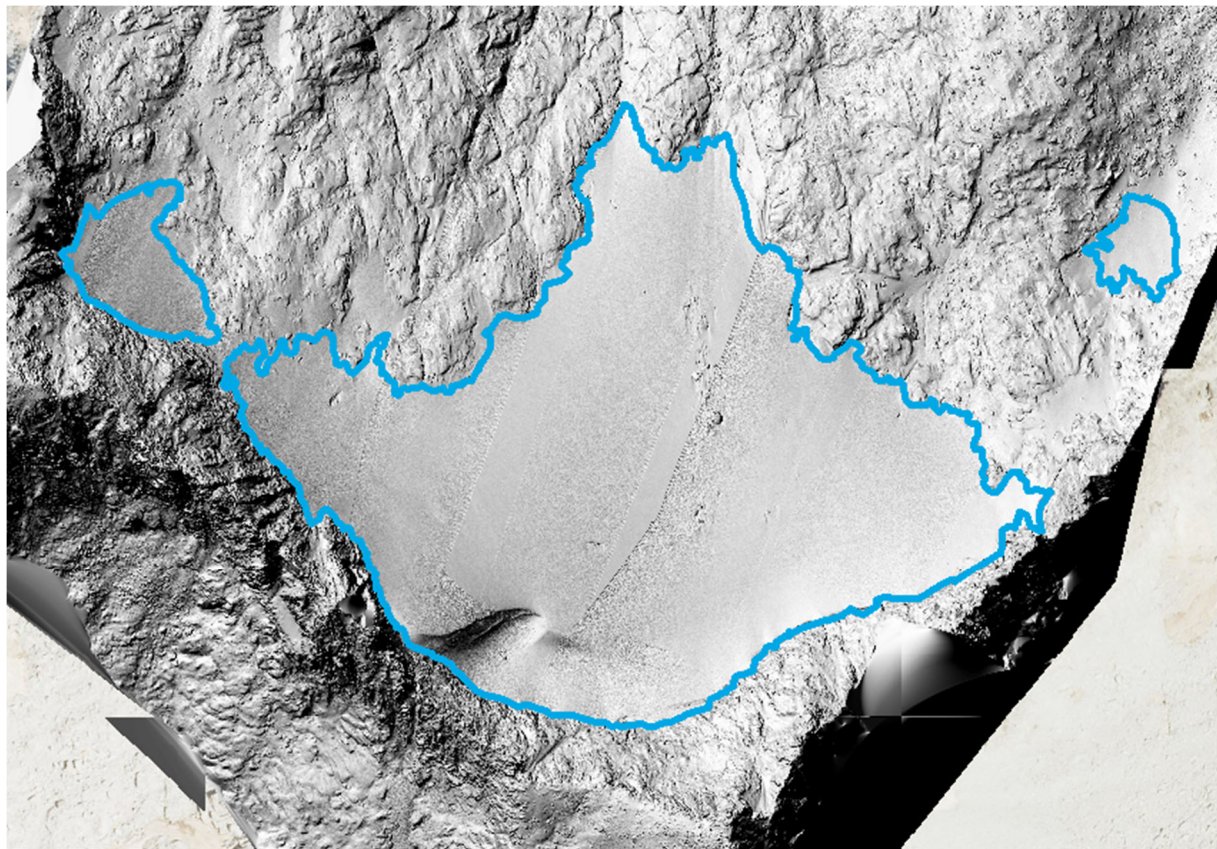
COTA MED.	SUP m ²	SUP.ACU. m ²	ACUMULACIÓN	
			PUNTUAL mm	SUP. mm
2725	0	0	0	0
2750	0	0	0	0
2775	0	0	0	0
2800	0	0	0	0
2825	0	0	0	0
2850	0	0	0	0
2875	0	0	0	0
2900	0	0	0	0
2925	0	0	0	0
2950	0	0	0	0
2975	300	300	2 130	639
3000	3 986	4 286	2 285	9 108
3025	7 846	12 132	2 367	18 574
3050	10 225	22 357	2 450	25 049
3075	17 953	40 310	2 335	41 923
3100	26 950	67 260	2 220	59 841
3125	30 807	98 067	2 407	74 152
3150	28 204	126 271	2 594	73 148
3175	9 248	135 519	2 780	25 710
3200	139	135 658	2 967	412
SUMA	135 658		SUMA	328 557
MEDIA	67829		Media	2 422

La toma de datos de **ablação** se llevó a cabo el **21 de octubre de 2024**. El paso de un frente frío justo unos días antes de la medición hizo que hubiera unos 40 cm de nieve nueva

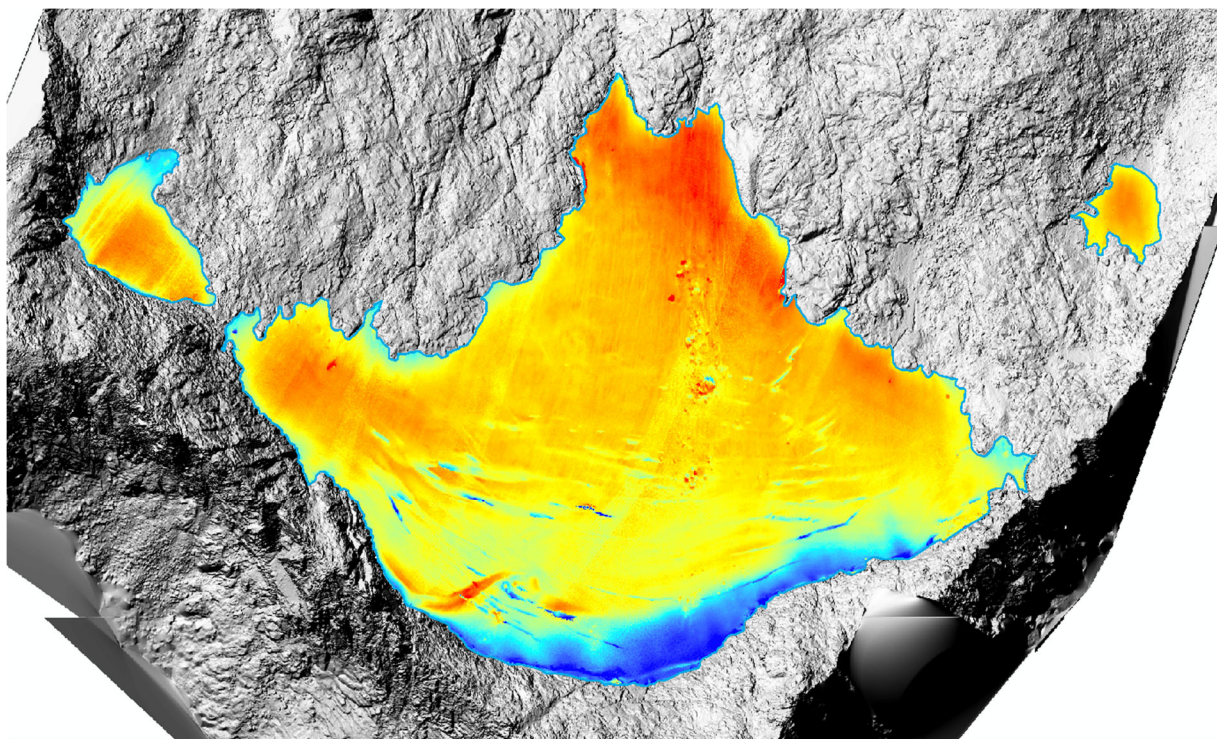
sobre el hielo glaciar lo que permitió que el personal se desplazara por el glaciar fácilmente y sin peligro de caídas, aunque no permitió observar bien los límites del glaciar.

Durante los últimos años el espesor ha crecido en cotas altas y ha disminuido de forma considerable en cotas bajas, por lo que la pendiente del glaciar ha aumentado considerablemente. Debido a ello se aconseja que en próximas campañas de ablación el equipo que vaya por el glaciar esté compuesto por parejas con cuerdas de seguridad ya que cada vez es más difícil andar por el glaciar, sobre todo en margen izquierda. Así mismo, la pareja que vaya por margen izquierda deberá llevar casco debido a la casi continua caída de piedras de la pared superior del glaciar. También es recomendable esperar a que caiga la primera nevada y así sea más fácil andar por el glaciar ya que hacerlo por el hielo fósil extremadamente duro es muy difícil a pesar del uso de crampones.

En la presente campaña de ablación y, pensando en el peligro que conlleva el tener personal andando por el glaciar, se ha realizado mediante dron con cámara lidaer la medida de la superficie glaciar, obteniendo datos precisos de toda su superficie. Se ha obtenido así un MDT de 0,25x0,25 m que permite una mejor comparación entre las cotas de cada una de las campañas. También ha permitido obtener con mayor precisión el límite actual del glaciar.



MDT obtenido a partir de un vuelo con dron y cámara láser



Diferencia MDT2024 con MDT2023 obtenidos a partir del vuelo láser. Tonos rojos: pérdida de espesor. Tonos azules: ganancia de espesor, aunque hay que tener en cuenta que en la zona de la rimaya había unos 80 cm de nieve recién caída.

ANÁLISIS DE DATOS

Año 2023-2024: en lo que se refiere a la acumulación calculada (**2.422 mm**), nos encontramos con el **décimo mejor valor** de la serie estudiada (33 años hidrológicos) y un 20,44% por encima de la media (2.011 mm). Este invierno se ha caracterizado por ser poco nivoso pero, sin embargo, la primavera sí lo ha sido, produciéndose las mayores acumulaciones en abril-mayo. Según el modelo hidrológico Aster, la máxima acumulación se produjo el 24 de mayo con 1.829 mm de agua equivalente.

La **ablação total (3.190 mm)** resulta la decimocuarta peor de la serie de estudio estando un 10,88% por encima de la media (2.877 mm). Este verano se ha caracterizado por temperaturas más altas de lo normal en julio y agosto (ver Anejo 4). Sin embargo, septiembre fue un mes frío comparándolo con el periodo 2010-2024. Cabe destacar que la primera nevada se produjo el 4 de septiembre, quedando desde entonces el glaciar tapado por la nieve, lo cual ha permitido que, junto con las bajas temperaturas, el proceso de ablación se detuviera en gran medida.

El **balance (-768 mm)** resulta el **decimocuarto mejor dato** de toda la serie (después de los nefastos años anteriores) y un 12% mejor que la media (-866 mm). El balance acumulado supera ya los -25.000 mm (-28.583 mm en concreto), lo que representa una pérdida media en todo el glaciar de 33 m de espesor en estos 33 años. En el presente año hidrológico 2023-2024 el espesor medio del glaciar de La Maladeta ha disminuido en 88 cm frente a los 306 cm del año 2023 (el segundo peor de toda la serie estudiada después de 2022 en el que perdió 347 cm). La pérdida o ganancia de espesor desde 2023 en las balizas ha sido de:

- B27 (3.138 m): -0,41 m
- B1 (3.115 m): -0,93 m
- B28 (3.114 m): -0,99 m
- B29 (3.057 m): -1,75 m
- B30 (3.023 m): -2,01 m

A lo largo de los años de estudio hemos podido constatar la mayor importancia de la ablação frente a la acumulación como factor determinante del balance de masa. Si nos

fijamos detenidamente en el gráfico del balance, observamos que en algunos casos (96-97 y 97-98) partiendo de acumulaciones muy similares llegamos a ablaciones (y por lo tanto balances) muy dispares. Estos hallazgos nos llevaron a analizar con detalle los datos meteorológicos (cuando existían), encontrando que la ablación no tenía una relación con la termometría tan clara como “a Priori” pudiera parecer, es decir, con temperaturas medias mensuales muy similares encontrábamos ablaciones muy diferentes. Ello nos llevó a pensar en el factor precipitación como determinante de la ablación. En efecto, este análisis demostró que, con independencia de las temperaturas, se daban mayores ablaciones cuando el verano resultaba seco y, más aún, a igualdad de cantidad de precipitación, se encontraban diferencias notables dependiendo del mayor o menor número de días exentos de precipitación.

Los episodios esporádicos de pequeñas nevadas resultan normales en las áreas glaciares a lo largo del periodo estival y, aunque su importancia desde el punto de vista de la ganancia de masa es mínima, la nieve nueva, por su elevada capacidad de reflexión y su baja conductividad térmica aísla el glaciar, retardando los procesos de ablación. Este fenómeno es aún más significativo cuando afecta directamente al hielo descubierto, dado su menor albedo.

No obstante, la brevedad de la serie estudiada, la baja disponibilidad de datos meteorológicos, así como la relativa aplicabilidad de los datos termométricos y pluviométricos -se utilizan estaciones situadas unos 1.000 metros por debajo de la cota del glaciar- recomiendan interpretar estas primeras conclusiones como provisionales. Así mismo, sería de gran ayuda contar con datos termométricos más directos (instalación de termómetros de registro), así como la realización de campañas de control suplementarias (sobre todo en el periodo de ablación). En la misma línea, disponer de datos de balance de energía del glaciar supondría un gran apoyo a la investigación.

De cualquier modo, los datos de balance de masa disponibles indican una pérdida acumulada a lo largo de los últimos 33 años de 28.583 mm de agua, es decir unas pérdidas medias de hielo sobre el glaciar del orden de 33 metros (9,6 metros en los últimos cuatro años), lo que indica una clara regresión de este aparato. Las pérdidas acumuladas en la parte terminal del glaciar superan los 50 metros de espesor de hielo.

Hasta el último año hidrológico completo estudiado (2023-2024), el cuerpo principal del glaciar presenta una superficie de 13,45 ha, frente a las 25,01 ha que presentaba en 2014, es

decir, una pérdida de más del 46% de su superficie en diez años. Así mismo supone una pérdida del 73% desde 1991, cuando el glaciar presentaba una superficie estimada en 50 ha.

		1994	2001	2002	2003	2004	2005	2006	2007	2008	2009	2010	2011	2013	2014	2015	2016	2018	2019	2020	2021	2022	2023	2024
COTA INFERIOR	COTA SUPERIOR	m ²																						
2878.5	2812.5	1709	328	0	0	0	0	0	0	0	0	0	0	0	0	0	0	0	0	0	0	0	0	0
2812.5	2837.5	4616	2673	1525	981	606	0	0	0	0	0	0	0	0	0	0	0	0	0	0	0	0	0	0
2837.5	2862.5	7459	3808	3119	2007	1624	907	1303	1454	1092	1106	1190	1613	1605	1610	569	850	409	0	0	0	0	0	0
2862.5	2887.5	10274	7830	7443	5766	5467	4264	4078	4594	5043	3447	3576	3290	2371	2380	2847	2436	1238	581	617	0	0	0	0
2887.5	2912.5	12786	10673	9879	8797	8625	8391	7854	7842	6835	8061	7874	6663	5851	3555	3105	3226	2382	1804	914	56	0	0	0
2912.5	2937.5	15549	12029	10160	10681	9897	9275	8931	8671	8754	7752	7487	6423	6667	5884	4326	5117	3191	3019	2438	1659	0	0	0
2937.5	2962.5	21489	15414	14274	12454	12561	11190	9228	8338	9580	8341	8447	7557	7122	6688	5559	5885	4875	4702	4091	3638	60	0	0
2962.5	2987.5	21427	18262	16150	15453	15608	15283	12697	11432	12154	11365	11511	10378	10914	10584	9435	8225	6324	5635	5513	4341	787	300	379
2987.5	3012.5	25849	22327	20742	16788	17764	17689	17500	14134	16438	14028	14220	12399	12408	12483	9026	9329	8513	8040	8236	5931	3606	3986	4011
3012.5	3037.5	40589	32883	37677	37134	31516	29473	31393	19578	20630	17611	17299	15373	13320	13788	13828	16016	15067	11874	11347	8774	7431	7846	7741
3037.5	3062.5	46499	45073	42724	42724	46480	40199	43055	30270	37082	33878	34084	29974	29846	29320	26343	25204	23296	19171	19110	17443	13913	10225	9182
3062.5	3087.5	48681	47070	44214	44214	41731	43793	44173	35226	36732	37487	36132	30037	30795	31911	30992	30897	28031	26781	27215	25770	19335	17953	17829
3087.5	3112.5																							
3112.5	3137.5																							
3137.5	3162.5																							
3162.5	3187.5																							
3187.5	3212.5																							
3212.5	3212.5	161478	159242	157924	157924	153320	147803	132823	134095	137366	133182	134989	131249	132296	131931	129762	125911	122634	119399	118730	114535	101563	95348	95346
TOTAL		418405	377612	365831	354923	345199	328267	313035	275634	291706	276255	276809	254950	253195	250134	235792	233096	215960	201006	198205	182147	146695	135658	134488
		42 ha	38 ha	37 ha	35 ha	35 ha	33 ha	31 ha	28 ha	29 ha	28 ha	28 ha	25 ha	25 ha	25 ha	24 ha	23 ha	22 ha	20 ha	20 ha	18 ha	15 ha	14 ha	13 ha

DIFERENCIA 1994-2001	DIFERENCIA 2001-2002	DIFERENCIA 2002-2003	DIFERENCIA 2003-2004	DIFERENCIA 2004-2005	DIFERENCIA 2005-2006	DIFERENCIA 2006-2007	DIFERENCIA 2007-2008	DIFERENCIA 2008-2009	DIFERENCIA 2009-2010	DIFERENCIA 2010-2011	DIFERENCIA 2011-2013
m ²											
-1381	-328	0	0	0	0	0	0	0	0	0	0
-1943	-1148	-544	-375	-606	0	0	0	0	0	0	0
-3651	-689	-1112	-383	-717	396	151	-362	14	84	423	-8
-2444	-387	-1677	-299	-1203	-186	516	449	-1596	129	-286	-919
-2113	-794	-1082	-172	-234	-537	-12	-1007	1226	-187	-1211	-812
-3520	-1869	521	-784	-622	-344	-260	83	-1002	-265	-1064	244
-6075	-1140	-1820	107	-1371	-1962	-890	1242	-1239	106	-890	-435
-3165	-2112	-697	155	-325	-2586	-1265	722	-789	146	-1133	536
-3522	-1585	-3954	976	-75	-189	-3366	2304	-2413	195	-1831	19
-7706	4794	-543	-5618	-2043	1920	-11815	1052	-3019	-312	-1922	-2057
-1426	-2349	0	3756	-6281	2856	-12785	6812	-3204	206	-4110	-128
-1611	-2856	0	-2483	2062	380	-8947	1506	755	-1355	-6095	758
								-1167	-425	-3680	1412
								-710	320	-341	-1640
								-1765	1387	1462	-4295
								-542	212	-1139	2978
								0	313	-42	2592
-2236	-1318	0	-4604	-5517	-14980	1272	3271	-4184	1807	-3740	1047
-40793	-11781	-10908	-9724	-16932	-15232	-37401	16072	-15451	554	-21859	-1755
-4 ha	-1 ha	-1 ha	-1 ha	-2 ha	-2 ha	-4 ha	2 ha	-2 ha	0 ha	-2 ha	0 ha

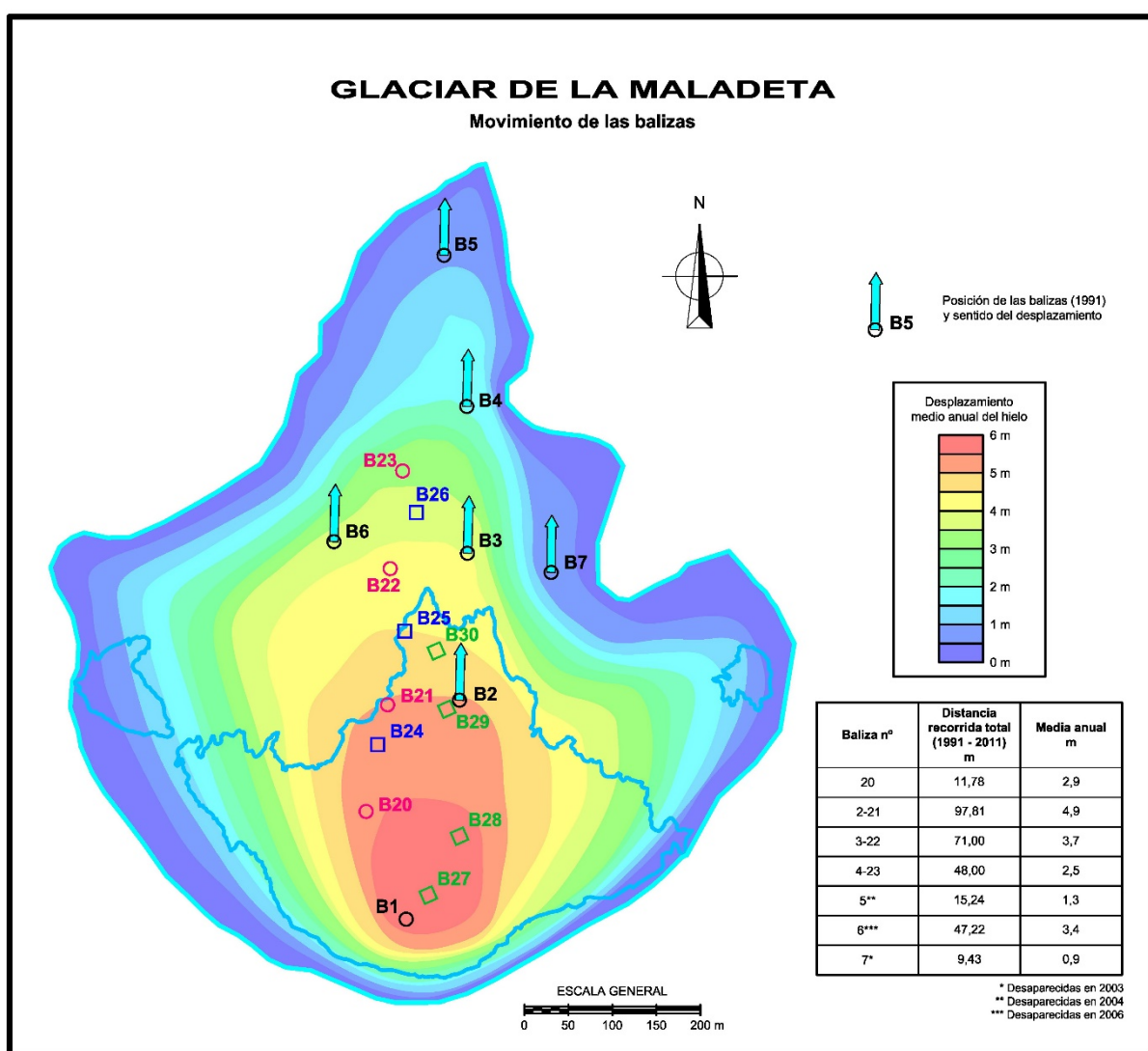
DIFERENCIA 2013-2014	DIFERENCIA 2014-2015	DIFERENCIA 2015-2016	DIFERENCIA 2016-2018	DIFERENCIA 2018-2019	DIFERENCIA 2019-2020	DIFERENCIA 2020-2021	DIFERENCIA 2021-2022	DIFERENCIA 2022-2023	DIFERENCIA 2023-2024	DIFERENCIA 1994-2024
m ²										
0	0	0	0	0	0	0	0	0	0	-1709
0	0	0	0	0	0	0	0	0	0	-4616
5	-1041	281	-441	-409	0	0	0	0	0	-7459
9	467	-411	-1198	-657	36	-617	0	0	0	-10274
-2296	-450	121	-844	-578	-890	-858	-56	0	0	-12786
-783	-1558	791	-1926	-172	-581	-779	-1659	0	0	-15549
-434	-1129	326	-1010	-173	-611	-453	-3578	-60	0	-21489
-330	-1149	-1210	-1901	-689	-122	-1172	-3554	-487	79	-21048
75	-3457	303	-816	-473	196	-2305	-2325	380	25	-21838
468	40	2188	-949	-3193	-533	-2567	-1343	415	-105	-32848
-526	-2977	-1139	-1908	-4125	-61	-1667	-3530	-3688	-1043	-37317
1116	-919	-95	-2866	-1250	434	-1445	-6435	-1382	-124	-30852
919	425	-731	-760	-44	35	-1527	-5090	-802	869	
-405	-534	-493	-975	-263	450	-1653	-2429	1681	-582	
-1675	-1557	-984	-1119	-2288	-1730	2057	-3120	1801	-1243	
793	-505	-1223	-603	-612	321	-2562	-1649	-4603	840	
3	2	-420	180	-28	255	-510	-684	-4292	114	
-365	-2169	-3851	-3277	-3235	-669	-4195	-12972	-6215	-2	-66132
-3061	-14342	-2696	-17136	-14954	-2801	-16058	-35452	-11037	-1170	-283917
0 ha	-1 ha	0 ha	-2 ha	-1 ha	0 ha	-2 ha	-4 ha	-1 ha	0 ha	-28 ha

DETERMINACIÓN DEL MOVIMIENTO DEL HIELO

El estudio topográfico de las balizas ha permitido determinar el movimiento superficial anual del hielo. Los trabajos coinciden con la campaña de ablación.

Según lo observado, los movimientos anuales registrados en las distintas balizas marcan las zonas con flujo extensivo (balizas 2, 3, 6 y 4) y compresivo (balizas 5 y 7), quedando así definidas las áreas de mayor o menor dinámica. Actualmente las balizas 5, 6 y 7 (y las que las sustituyeron) han desaparecido.

La zona más rápida del glaciar presentaba en los primeros años un movimiento medio anual de aproximadamente 5 m.



En los últimos años se venía observando la disminución del movimiento del glaciar y se comprobaba a simple vista al no haber tantas grietas como en los primeros años. Sin embargo, en los cuatro últimos años ha aparecido gran cantidad de grietas en la parte superior del glaciar, algunas de ellas de considerable anchura y profundidad y se comprueba a partir de los desplazamientos medidos en estas cuatro últimas campañas. Cabe destacar, como ya se indicó anteriormente, que en 2023 por fin apareció la Baliza 1 instalada en 1991 a 3.162 m en la rimaya. Su posición actual está a 3.114 m y a una distancia horizontal de 101 m, lo que nos da un desplazamiento anual medio de 3 m:

B1 (3.115 m): 1,94 m desde 2023, 100,96 m desde que se instaló en 1991, lo que da una media de 3,06 m anuales.

B27 (3.141 m): 1,81 m desde 2023, 13,39 m desde que se instaló en 2018, lo que da una media de 2,23 m anuales.

B28 (3.114 m): 2,84 m de 2020 a 2021, 9,18 m desde que se instaló en 2018, lo que da una media de 3,01 m anuales.

B29 (3.057 m): 2,85 m de 2020 a 2021, 8,22 m desde que se instaló en 2018, lo que da una media de 2,74 m anuales.

B30 (3.023 m): 2,19 m de 2020 a 2021, 7,37 m desde que se instaló en 2018, lo que da una media de 2,39 m anuales.

A partir de estos datos obtenemos un desplazamiento medio anual de 2,59 m desde que se instalaron en 2018.

RESUMEN Y CONCLUSIONES

De los trabajos de seguimiento de la evolución del glaciar de La Maladeta Oriental se puede concluir que:

La **acumulación** medida en el año hidrológico 2023-2024 es de **2.422 mm** de agua equivalente, lo que se corresponde con el **10º mejor año** de los 33 medidos. Ese dato se corresponde con espesores de nieve medidos sobre el hielo glaciar comprendidos entre 400 cm y 620 cm (campaña de medición realizada en junio de 2024).

En la campaña de **ablação** se ha obtenido una pérdida de **3.190 mm** de agua equivalente, que se corresponde con el **14º peor año** de los medidos.

El **balance** de masa, obtenido como diferencia entre los anteriores, supone una pérdida en el glaciar de **-768 mm** de agua equivalente, correspondiendo con el **14º mejor año** de todos los medidos.

Si se analizan los **espesores de hielo**, este año el hielo glaciar se ha reducido 88 cm de espesor medio, superando los 150 cm en el frente del glaciar. El espesor medio perdido desde el año 1992 es de 33 m. En el frente del glaciar, la pérdida de espesor alcanza los 57 m desde 1992.

La baliza instalada en el hielo glaciar B27 ha avanzado 1,81 m y ha perdido 0,41 m de espesor respecto a 2023. La baliza B1 ha avanzado 1,94 m y ha perdido 0,93 m de espesor respecto a 2023.

La **superficie** ha disminuido en 0,12 ha respecto a 2023, quedando una superficie glaciar de 13,45 ha frente a las 50 ha estimadas en 1991 (pérdida del 73 % de la superficie).

El frente del glaciar ha retrocedido 7 m respecto a 2023, lo que supone unos 540 m desde 1991.

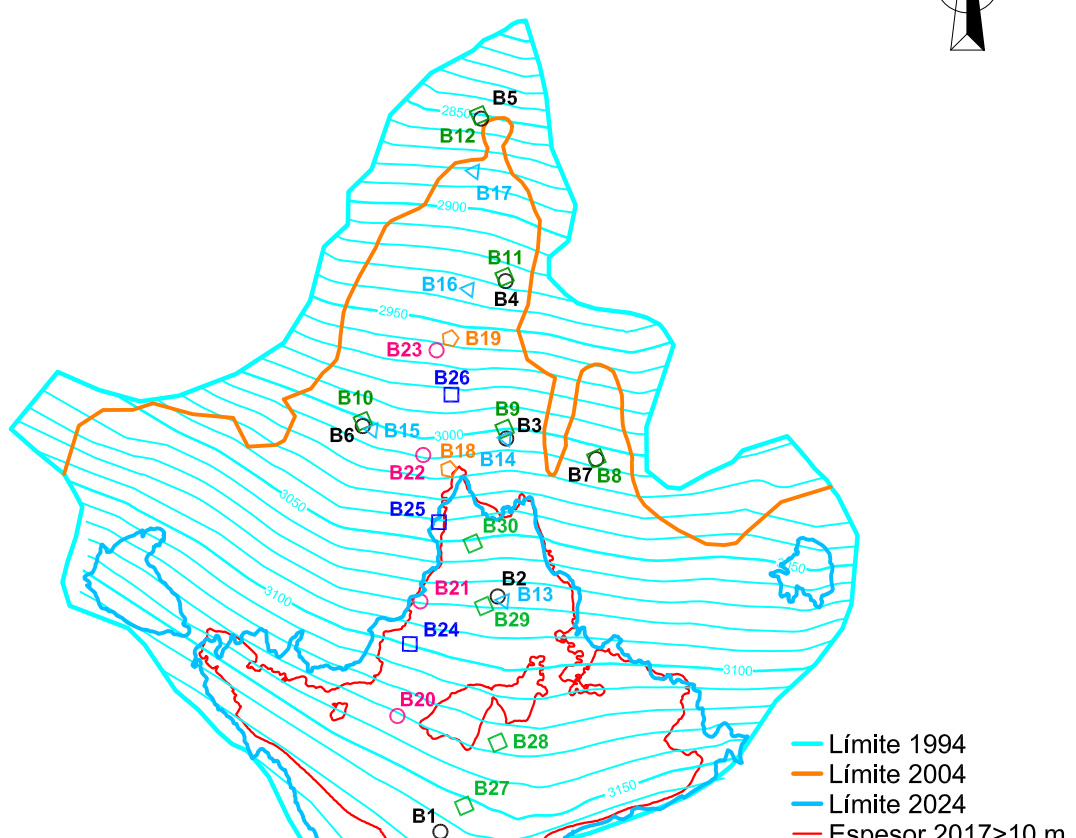
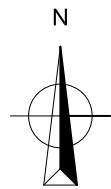
Y, por último, el **volumen de agua** perdido el presente año es de $-0,12 \text{ hm}^3$, lo que supone un total de $-10,42 \text{ hm}^3$ desde 1994. La media anual se sitúa en $-0,39 \text{ hm}^3$.

De todo lo anterior se infiere que el glaciar sigue su proceso de regresión pero la tendencia en este último año se ha reducido respecto a los años anteriores.

ANEJO 1. GRÁFICOS

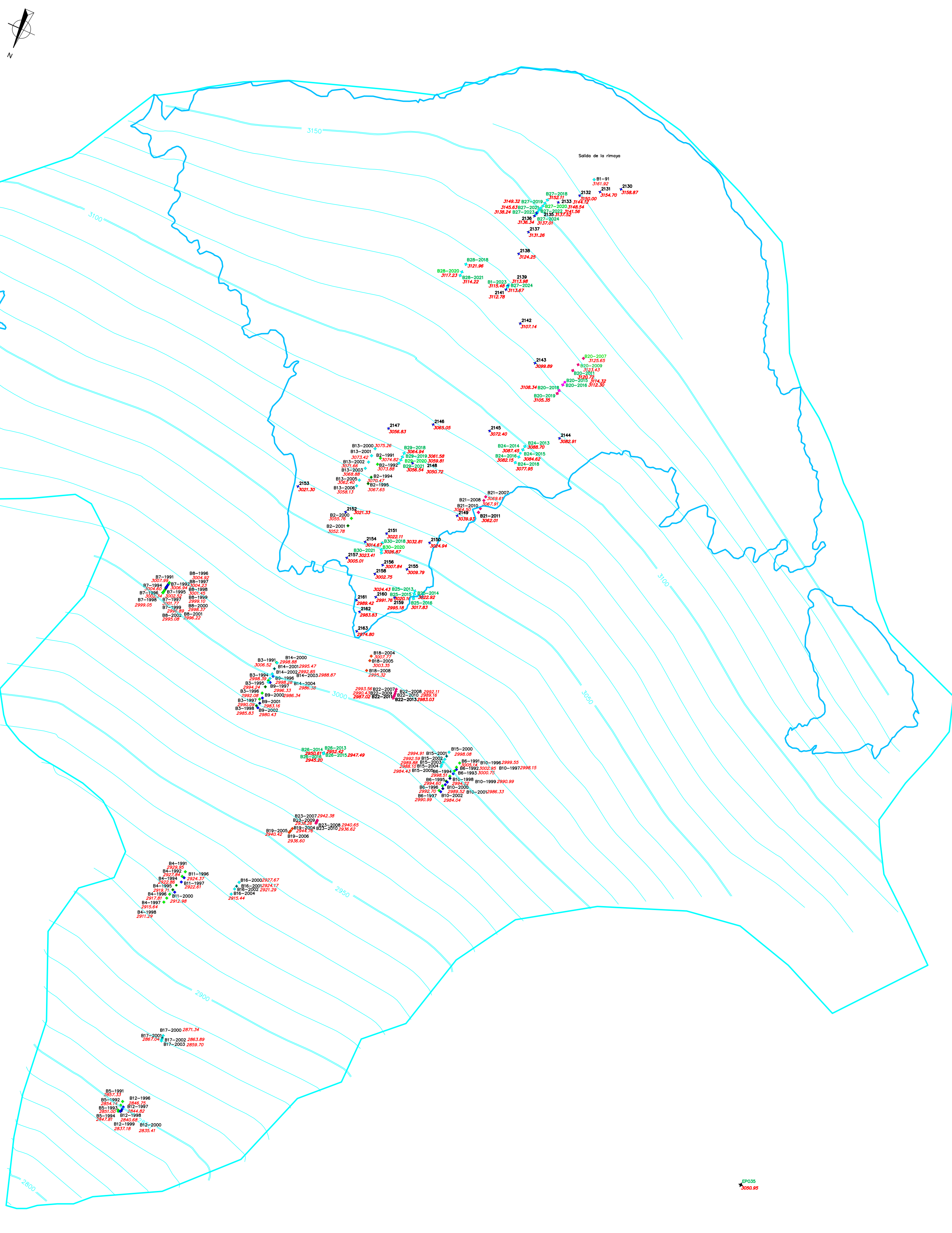
1.1.- GLACIAR DE LA MALADETA. RED DE BALIZAS DE OBSERVACIÓN

GLACIAR DE LA MALADETA
Situación de las nuevas balizas en
1991-1996-2000-2004-2007-2013-2018

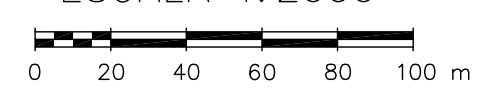


MALADETA

Situación de las balizas



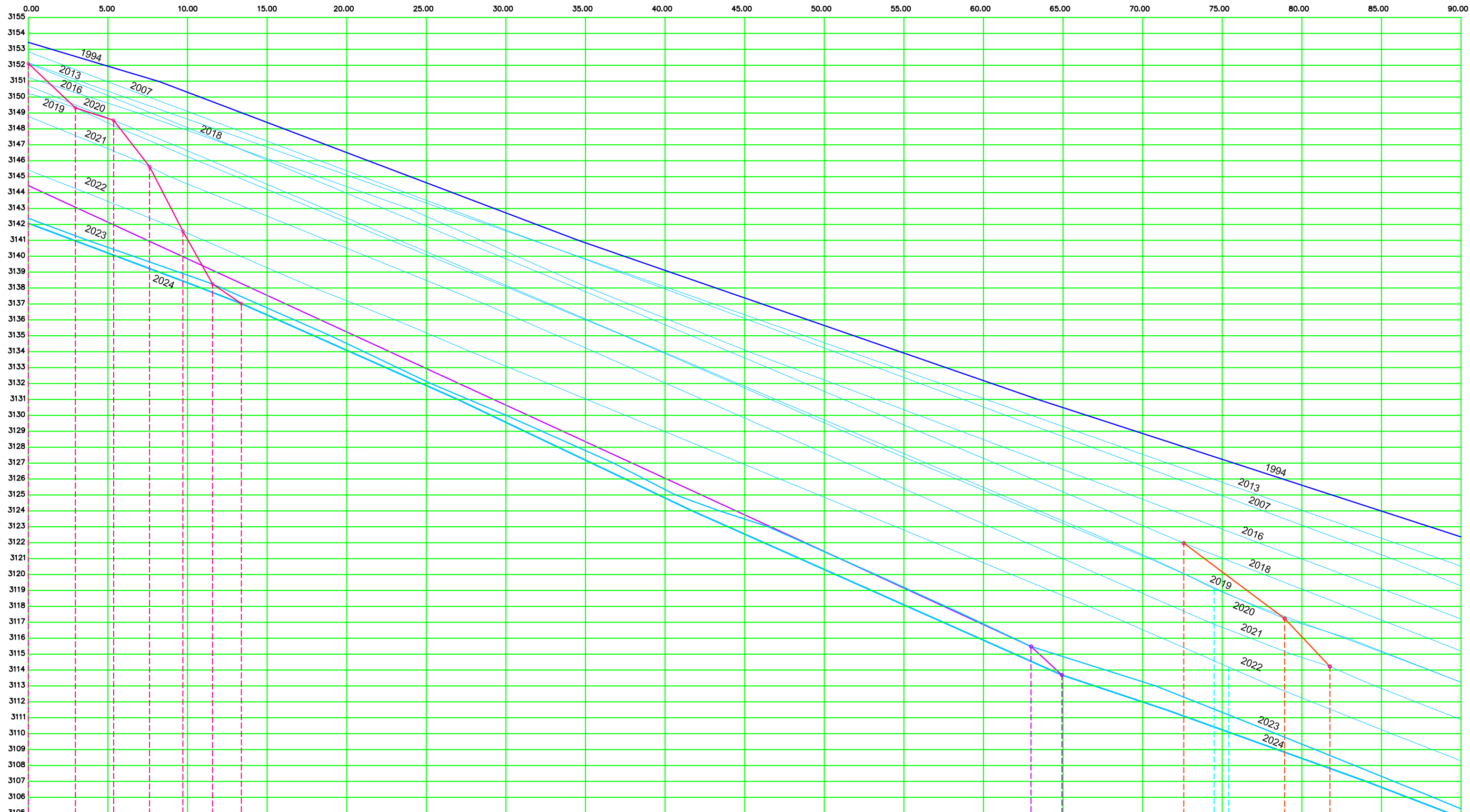
FSCAI A 1:2000



1.2.- GLACIAR DE LA MALADETA. MOVIMIENTOS INDIVIDUALES DE LAS BALIZAS

MALADETA - BALIZAS 1, 27 y 28

Esc. Horizontal = 1/250 Esc. Vertical = 1/250



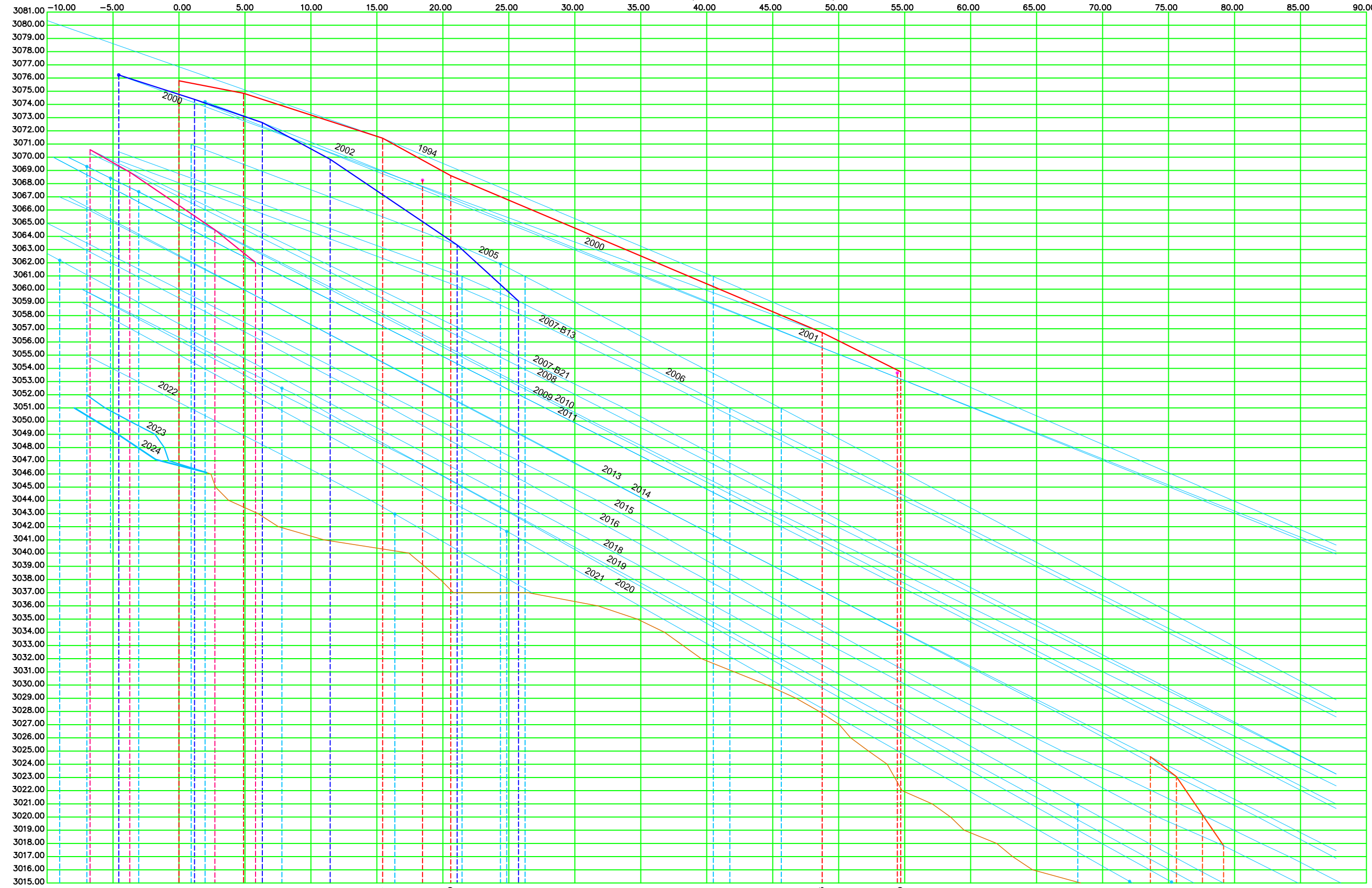
Distancia origen	0.00
Distancia parcial	0.00
Cota terreno	3152.11
Desnivel	0.00
Perfil	B27-2018
	B27-2019
	B27-2020
	B27-2021
	B27-2022
	B27-2023
	B27-2024
	B1-2023
	B1-2024
	B28-2018
	B1983-2019
	B2046-2022
	B28-2020
	B28-2021

- Perfil movimiento baliza 1
- Perfil movimiento baliza 27
- Perfil movimiento baliza 28
- Perfiles reales glacial

MALADETA - BALIZAS 2, 13, 21 y 25

Esc. Horizontal = 1/ 300 Esc. Vertical = 1/ 300

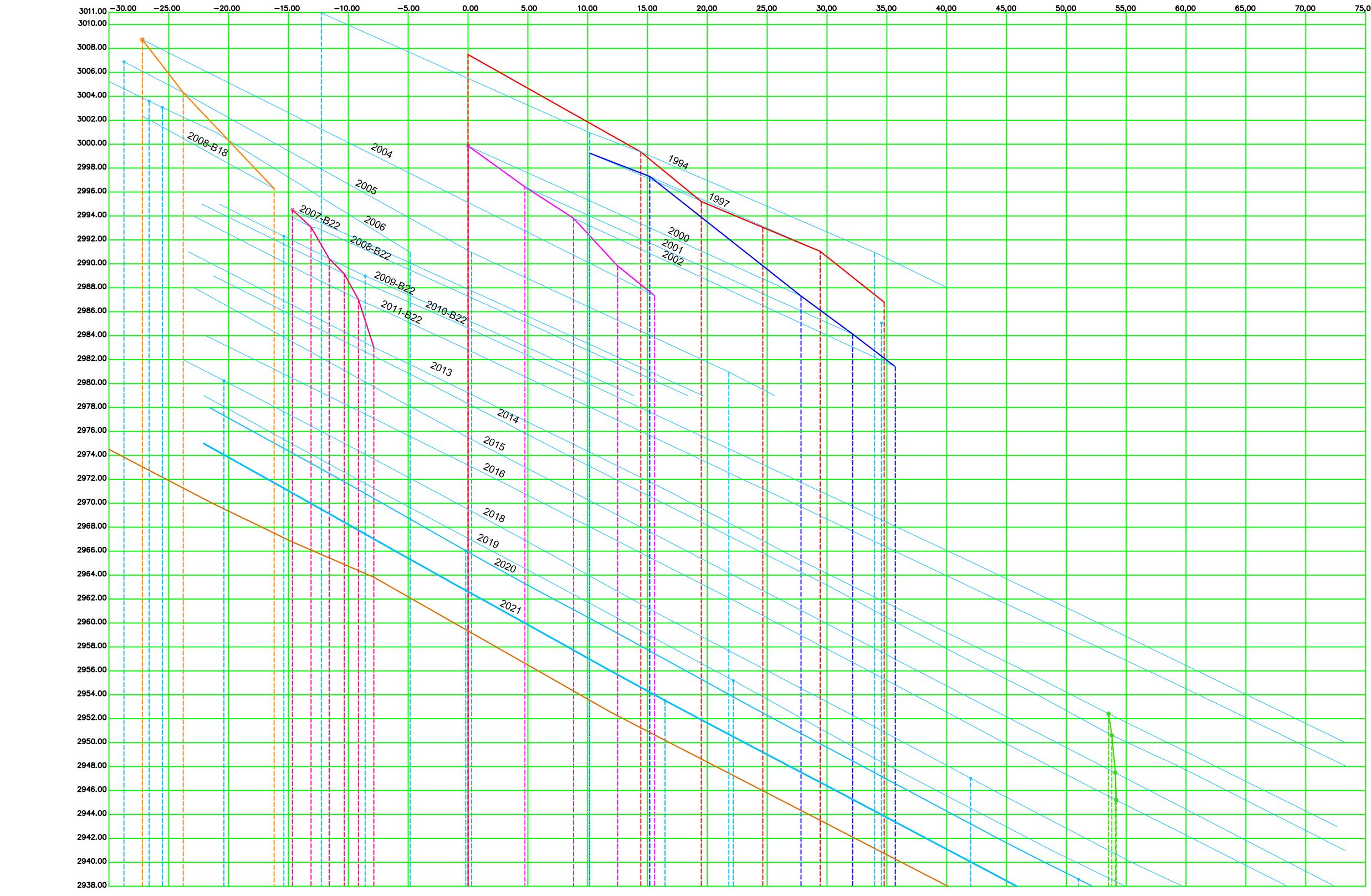
<u>East Horizontal</u>	<u>1,000</u>	<u>East Vertical</u>	<u>1,000</u>
.00	35.00	40.00	45.00



Distancia al origen			
Distancia parcial			
Cota terreno			
Perfil			
P1514-2018	3062.19		
P698-2009	3069.30		
B21-2007	0.00	3070.57	0.00
P700-2009	0.00	3068.41	0.00
B13-2000	0.00	3076.22	0.00
B21-2008	-1.70	3068.88	3.01
P699-2009		3067.39	
B2-1991	0.00	3075.79	0.00
B13-2001	-1.845	3074.38	5.74
P15-2002	-0.17	3074.21	9.46
B21-2010	-6.04	3064.50	6.45
P1615-2019		3052.50	
B2-1992	-9.3	3074.84	4.89
B13-2001	-2.49	3062.02	12.5
B13-2002	-1.76	3072.92	5.14
P2076-2022		3042.96	
B13-2003	-2.78	3069.85	5.14
B2-1994	-3.40	3071.44	10.54
P2-1999	-1.52	3068.26	
B2-1995	-2.84	3068.61	5.16
B13-2005	-6.49	3061.36	9.62
P481-2005		3061.93	
P1946-2021		3049.65	
B13-2006	-4.27	3059.09	4.65
B2-2000	-11.89	3056.72	28.15
P2-2002		3053.46	
B2-2001	-2.97	3053.74	5.95
P1536-2018		3020.94	
B25-2021	0.00	3015.12	
B25-2013	0.00	3024.43	0.00
B23-2014	-1.51	3010.88	1.98
B25-2015	-2.76	3020.17	3.95
B25-2016	-2.33	3017.83	1.60

MALADETA - BALIZAS 3, 9, 14, 18, 22 y 26

Esc. Horizontal = 1/ 350 Esc. Vertical = 1/ 350

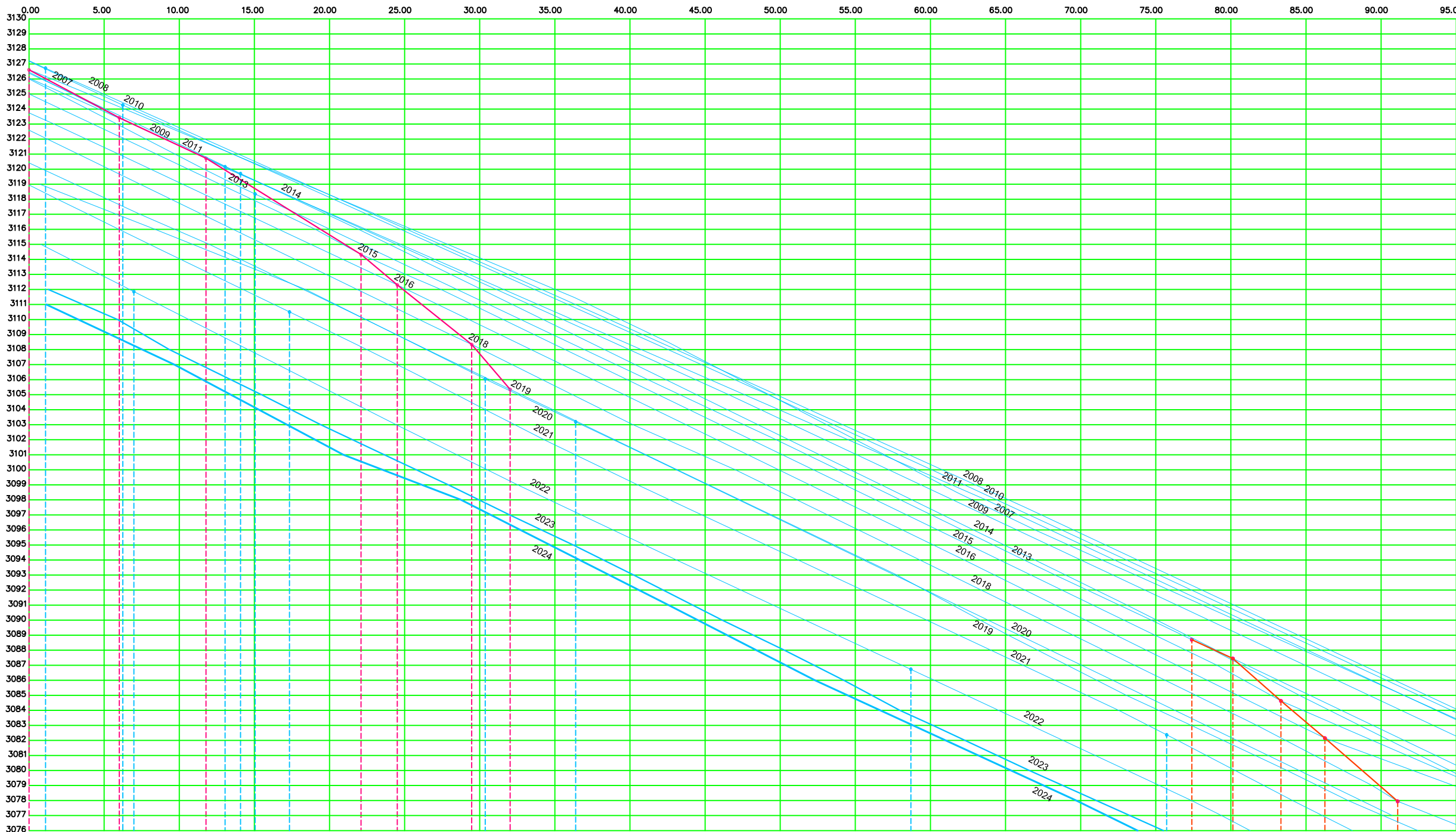


Distancia al origen			
Distancia parcial			
Cota terreno	3006.89 B18—2004	3008.73 P514—2006	0.00 3003.06
Desnivel	-4.42 B18—2005	3004.32 P1542—2018	3.42 2980.24
Perfil	P483—2005 B1708—2009	B2986.28 P2994.51	7.59 0.00
B18—2006	-8.03 B1708—2007	2983.08 B294.52	11.01 0.00
B18—2008	-1.45 B1722—2008	2983.08 2980.43	1.56 1.52
B18—2009	-2.65 B1722—2010	2980.43 2889.16	3.08 4.33
B18—2011	-2.14 B1722—2011	2887.02 2981.02	1.18 1.25
B18—2012	-3.99 B1709—2013	2985.93 2985.93	1.29 1.29
B17—2020	0.00 B1714—2020	2985.64 2985.64	0.00 0.00
B14—1991	-3.42 B14—2001	2986.43 2986.43	4.74 4.74
B14—2002	-2.62 B9—1995	2983.81 2983.25	4.06 0.00
B14—2003	-3.98 B3—1994	2988.83 2989.35	3.68 14.44
B14—2007	-1.95 B14—2004	2987.30 2987.34	5.02 15.51
B14—2014	-2.49 P17985—2021	2985.52 2985.52	3.10 15.51
B3—1995	-4.15 P17646—2019	2985.2 2955.19	5.05 19.14
B3—1996	-2.16 B9—2000	2983.05 2987.30	5.14 12.64
B3—1997	-2.00 B9—2001	2981.05 2984.13	4.79 4.31
B3—1998	-2.48 B9—2002	2986.49 2981.39	5.35 3.57
P17549—2018			2947.03
P17261—2020			2938.59

- Perfil movimiento baliza 3
 - Perfil movimiento baliza 9
 - Perfil movimiento baliza 14
 - Perfil movimiento baliza 18
 - Perfil movimiento baliza 22
 - Perfil movimiento baliza 26
 - Perfiles reales glacial
 - Terreno natural

MALADETA - BALIZAS 20 y 24

Esc. Horizontal = 1/300 Esc. Vertical = 1/300



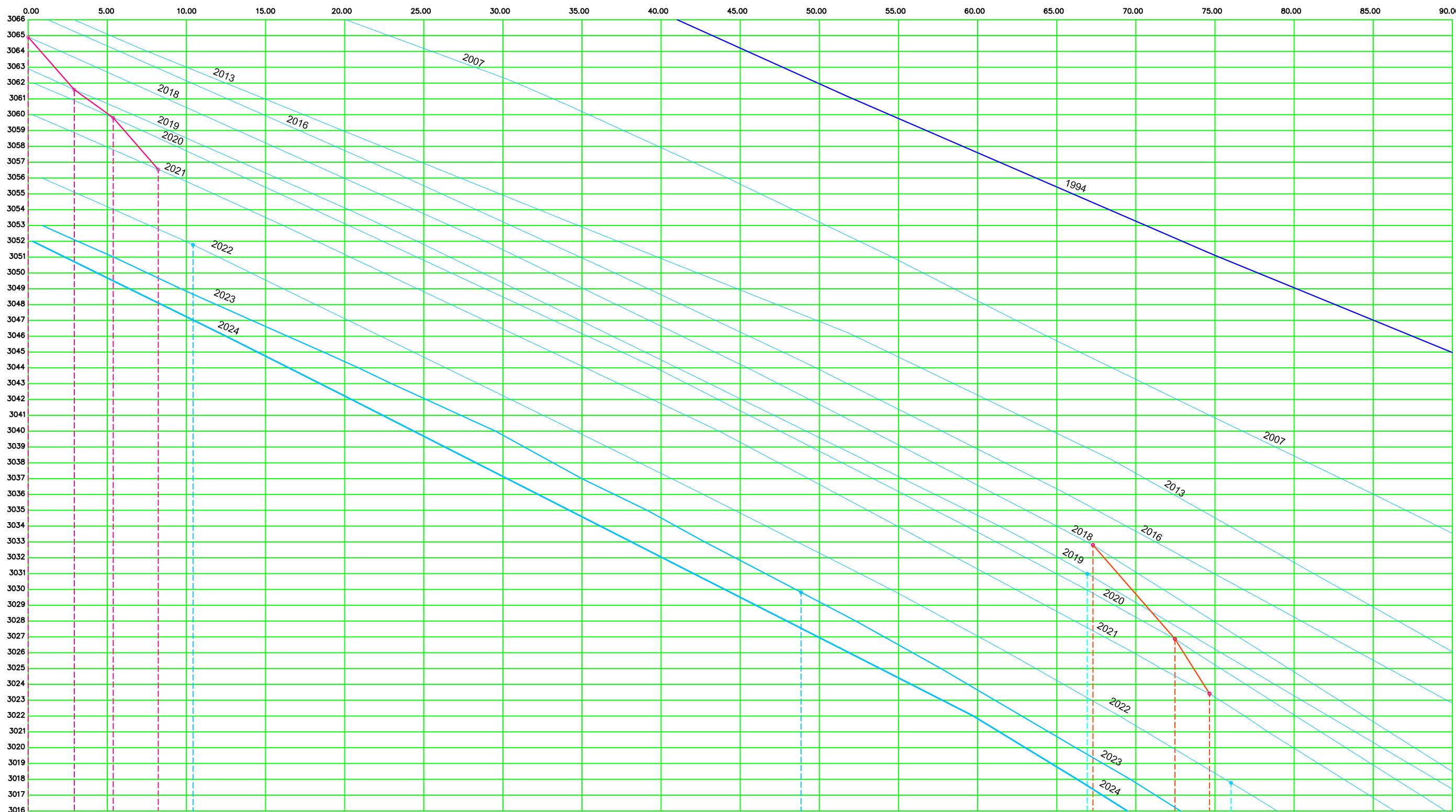
Distancia origen	0.00
Distancia parcial	0.00
Cota terreno	3126.62 3126.72 3124.43 3124.26 3111.86
Desnivel	0.00 -2.71 6.01 5.77 11.78 -6.51 3120.11 3118.50 3118.53 -8.09 3110.50
Perfil	B20–2007 P20–2008 B20–2009 P20–2009 B20–2010 P20–2010 B20–2011 P20–2011 B20–2012 P20–2012 B20–2013 P20–2013 B20–2014 P20–2014 B20–2015 P20–2015 B20–2016 P20–2016 B20–2017 P20–2017 B20–2018 P20–2018 B20–2019 P20–2019 B20–2020 P20–2020 B20–2021 P20–2021 B20–2022 P20–2022 B20–2023 P20–2023 B20–2024 P20–2024

P2007–2022	3086.73
P1904–2021	3082.37
B24–2013	0.00
B24–2014	-1.25
B24–2015	-3.20
B24–2016	-2.47
B24–2018	-4.20

- Perfil movimiento baliza 20
- Perfil movimiento baliza 24
- Perfiles reales glaciar

MALADETA - BALIZAS 29 y 30

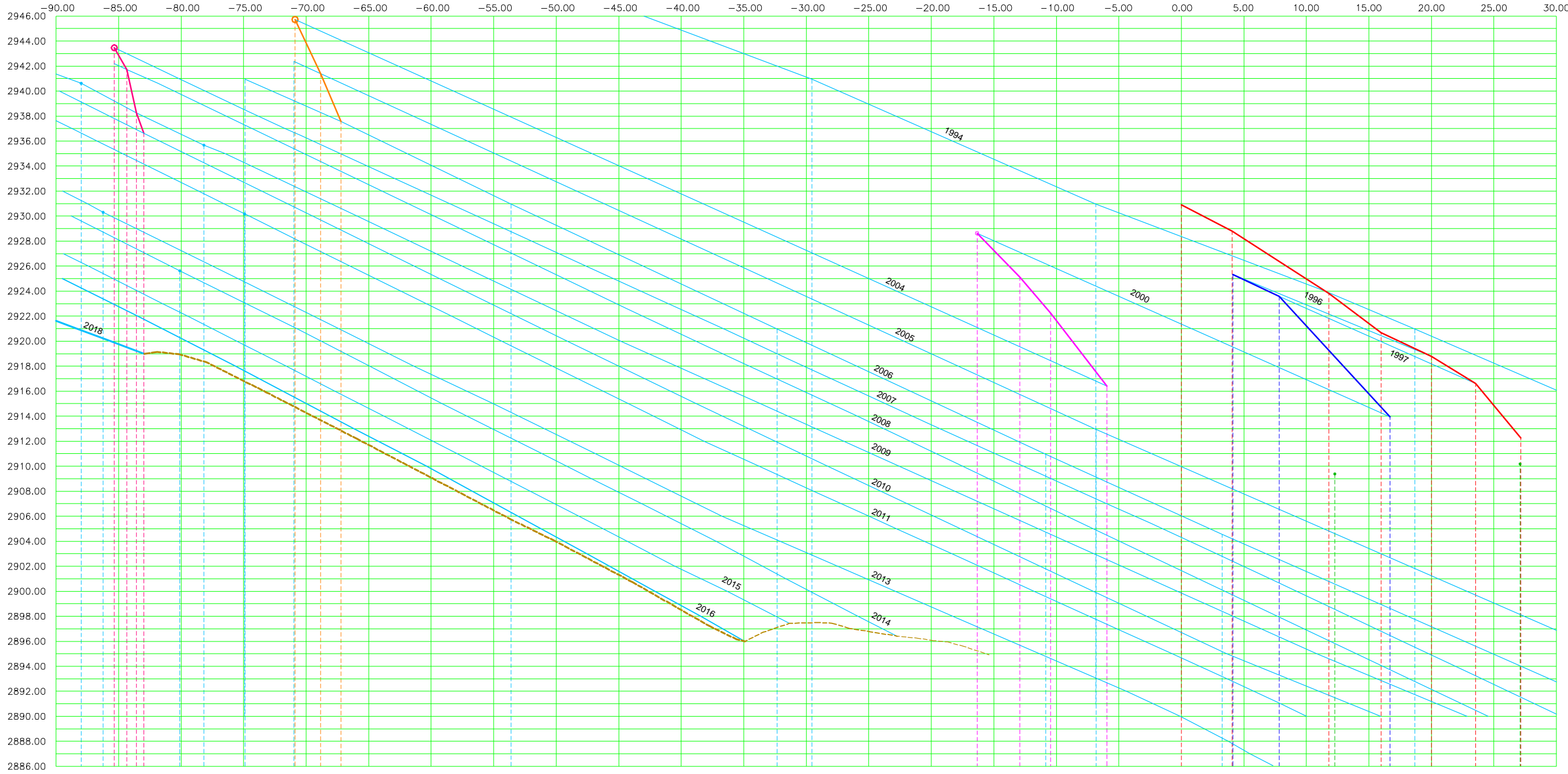
Esc. Horizontal = 1/ 250



- Perfil movimiento baliza 29
- Perfil movimiento baliza 30
- Perfiles reales glaciar

MALADETA - BALIZAS 4, 11, 16, 19 y 23

Esc. Horizontal = 1/ 350 Esc. Vertical = 1/ 350

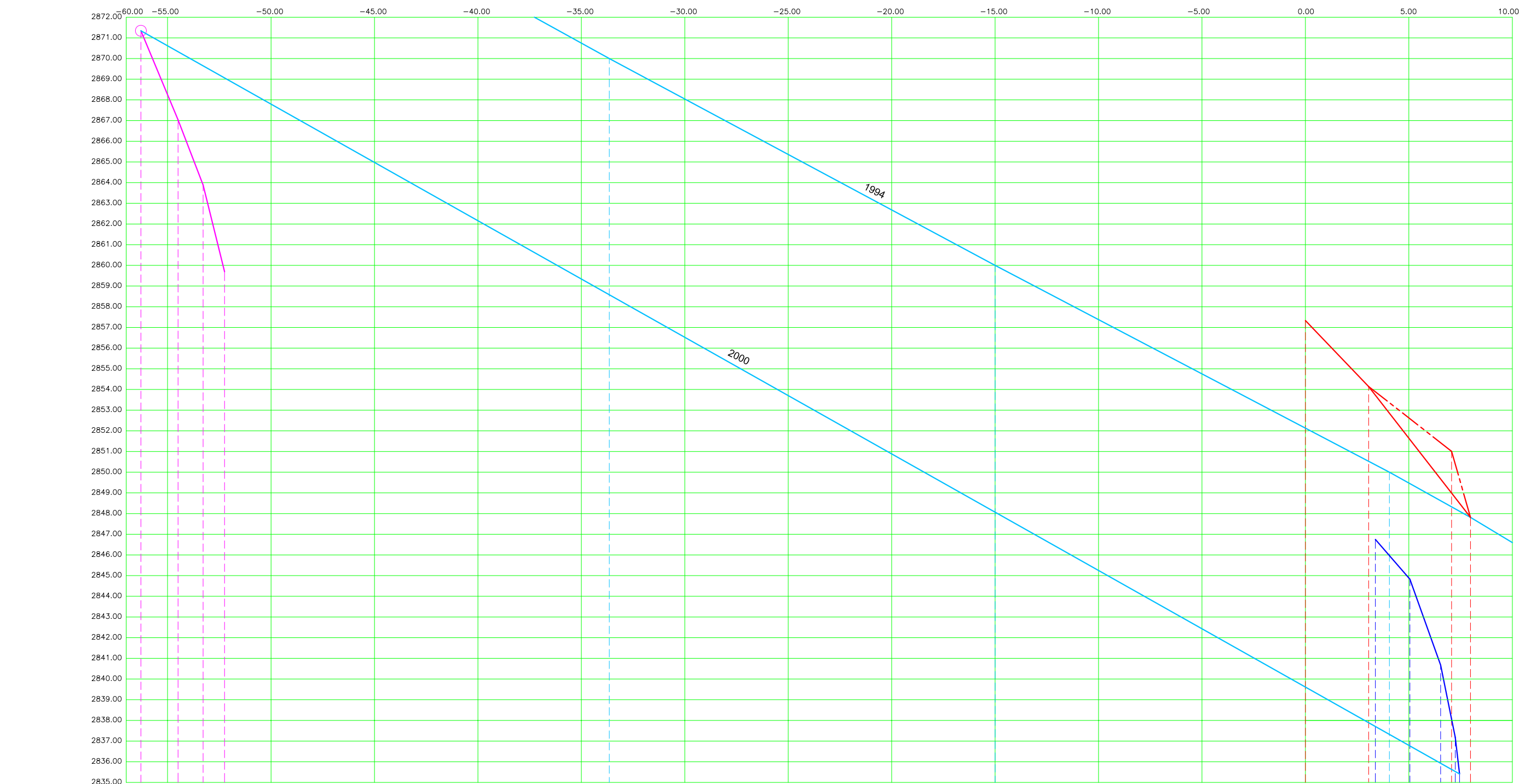


	Distancia al origen			
	Distancia parcial			
Cota terreno	2940.61	2930.30	2941.34	
Desnivel	0.00	0.99	0.99	
Perfil	P711-2009 P981-2013 B23-2007 B23-2008 B23-2009 B23-2010	-3.39 0.00 -1.73 -1.35 -1.35 -1.64	2942.38 0.00 2941.61 2941.26 2941.26 2936.62	0.00 0.00 1.77 0.78 0.78 0.60
P712-2009	2935.68			
P1091-2014	2925.62			
P897-2011	2930.18			
P491-2005	2942.38	-3.39	2942.38	
B19-2004	2945.72	0.00	2945.72	
B19-2005	2941.39	2.05	2941.39	
B19-2006	2937.57	1.62	2937.57	
B16-2000	0.00	2928.63	0.00	
B16-2001	-3.50	2925.13	3.41	
B16-2002	-2.68	2922.25	2.46	
P465-2005	2912.94	-5.85	2916.40	
B16-2004	0.36	4.49	10.36	
B4-1991	0.00	2930.91	0.00	
P547-2006	-4.98	2923.84	7.76	
B4-1992	-14.43	2939.39		
B11-1996	-2.11	2925.33	4.05	
B11-1997	-1.76	2923.57	3.71	
B4-2003	-4.98	2923.84	7.76	11.81
B4-1995	-3.15	2920.67	4.18	15.98
B11-2000	-9.63	2913.94	8.86	12.57
B4-1996	-1.90	2918.77	4.02	20.00
B4-1997	-2.17	2916.61	3.52	23.52
P4-1999	-2.15	2910.18	3.63	27.15
B4-1998	-4.35	2912.25		

- Perfil movimiento baliza 4
- Perfil movimiento baliza 11
- Perfil movimiento baliza 16
- Perfil movimiento baliza 19
- Perfil movimiento baliza 23
- Perfiles reales glaciar

MALADETA - BALIZAS 5, 12 y 17

Esc. Horizontal = 1/ 200

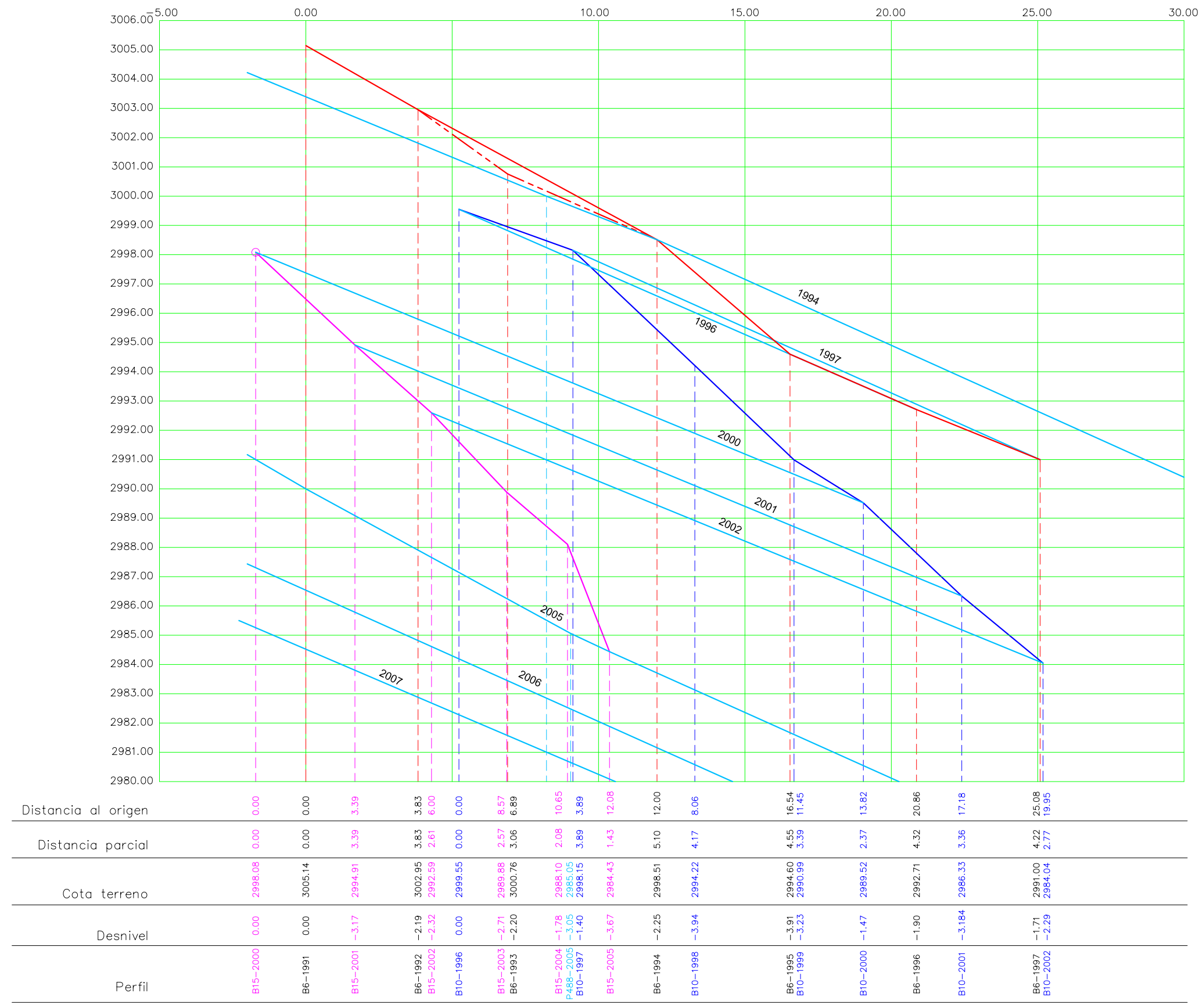


- Perfil movimiento baliza 5
- Perfil movimiento baliza 12
- Perfil movimiento baliza 17
- Perfiles reales glaciar

MALADETA - BALIZAS 6, 10 y 15

Esc. Horizontal = 1 / 150

Esc. Vertical = 1 / 150



- Perfil movimiento baliza 6
- Perfil movimiento baliza 10
- Perfil movimiento baliza 15
- Perfiles reales glaciar

MALADETA - BALIZAS 7 y 8

Esc. Horizontal = 1/ 100

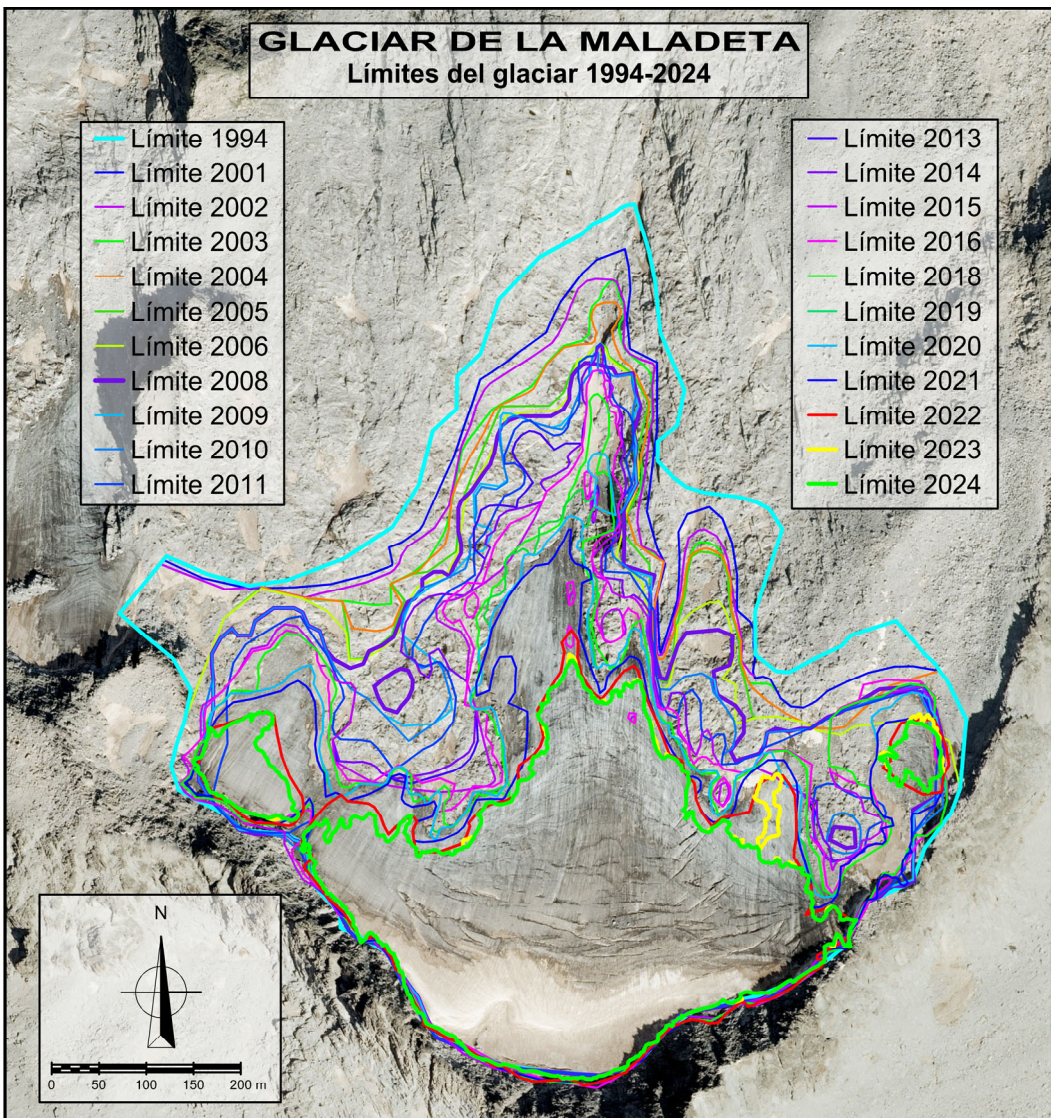
Esc. Vertical = 1/ 100



	Perfil	Desnivel	Cota terreno	Distancia parcial	Distancia al origen
B7-1991	0.00	3008.00	0.00	0.00	0.00
B8-1996	0.00	3004.93	0.00	0.00	0.00
B7-1992	-1.05	3006.95	1.32	1.32	
B8-1997	-0.70	3004.23	1.135	1.135	
B8-1998	-2.79	3001.45	1.43	2.56	
B7-1994	-2.35	3004.60	2.74	4.05	
B8-1999	-2.37	2999.10	0.64	3.20	
B8-2000	-0.73	2998.37	0.09	3.29	
B8-2001	-2.85	2996.23	0.26	3.55	
B8-2002	-1.14	2995.08	0.09	3.64	
B7-1995	-2.09	3002.52	1.25	5.30	
B7-1996	-0.18	3002.34	1.20	6.50	
B7-1997	-0.57	3001.77	1.13	7.63	
B7-1998	-2.73	2999.05	1.11	8.74	
B7-1999	-2.18	2996.89	0.25	8.99	

- Perfil movimiento baliza 7
- Perfil movimiento baliza 8
- Perfiles reales glaciar

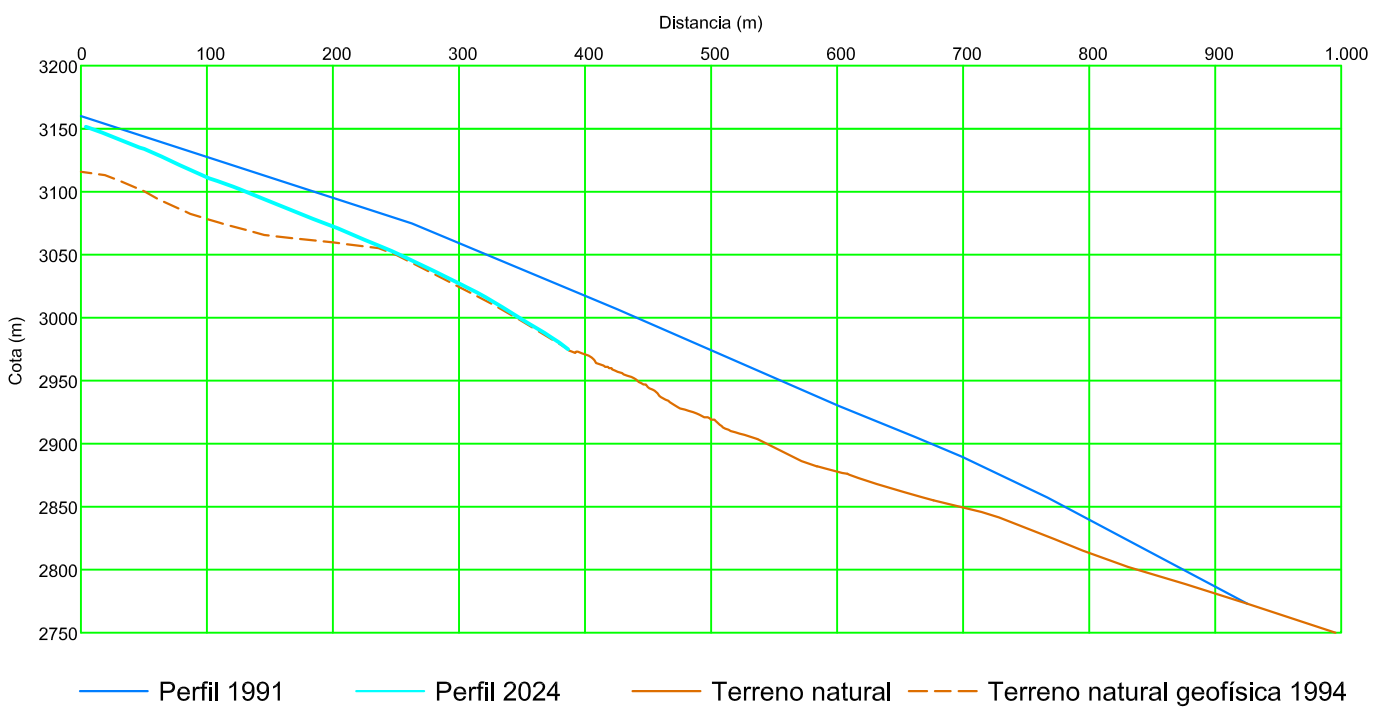
1.3.- GLACIAR DE LA MALADETA. LÍMITES DEL GLACIAR



1.4.- GLACIAR DE LA MALADETA. PERFIL LONGITUDINAL

GLACIAR DE LA MALADETA

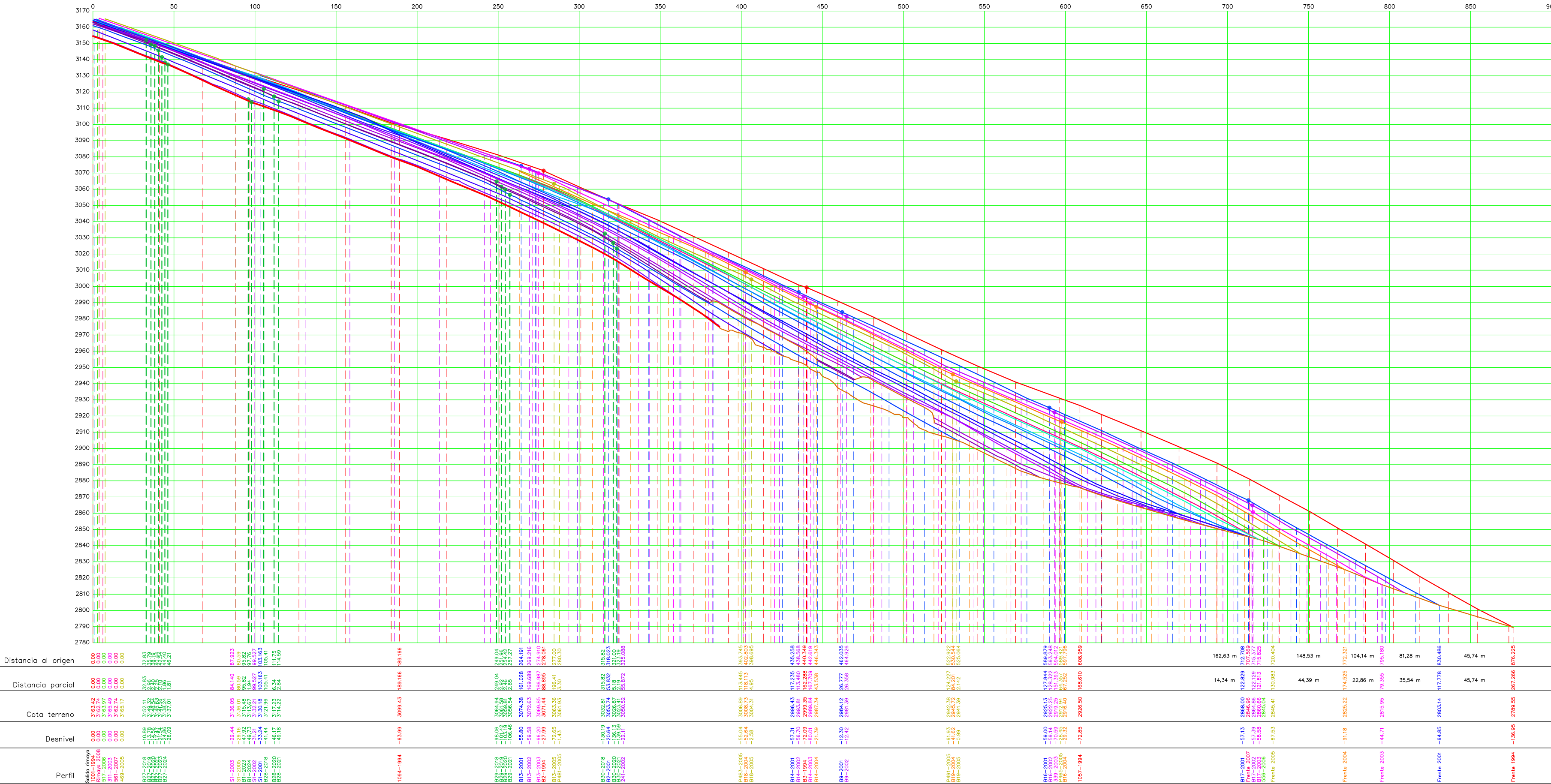
Perfiles longitudinales 1991-2024



MALADETA - PERFILES LONGITUDINALES 1994-2024

Esc. Horizontal = 1/ 2.00

Esc. Vertical = 1/ 2.000



ANEJO 2. RESULTADOS MODELO HIDROLÓGICO ASTER

INFORME MODELO ASTER 8.7.46

Modelo hidrológico pluviométrico-nival de simulación y previsión

(C) Junio 2005-2024, SPESA Ingeniería

Av. César Augusto 3, 10ºC

50004 Zaragoza (España)

(+34) 976410147, 976134787

aster@spesa.es

www.spesa.es

[C:\Users\\AppData\Local\Programs\Aster\Asterw.EXE 10/06/2024 10:56]

INVITADO Verdadero Verdadero Falso [Falso]

Aster Core: 7.2.1 2023 RTN DLY [36;29] , Versión 1 - Esquema clásico. Fusión variable con Presión/Cota

Coeficientes de transferencia no unitarios.

Fichero de usuario:

Versión fichero de proyecto (.APJ): 0

Configuración regional de fechas: ES

System Requirements (MB): 6

Fecha de creación de este informe: 11/06/2024 17:15

---- DATOS FÍSICOS DE LA CUENCA

Nombre Cuenca...:MALADETA

Superficie.....:0.3 km²

Altitud media...:3066.4 m

Altitud máxima..:3222.6 m

Altitud mínima..:2854.5 m

Número de Celdas: 460

Tamaño celdas(m): 25 x 25

Hemisferio: N

Latitud media...: 43.0 °

Versión .CUE ...: 2

Se calcula en la celda Nº: 459

(X;Y;Z;Celda) Cierre: 306605;4725263;2855

(Sin conexión entre cuencas)

Se aplica el gradiente termométrico estático.

Código de NoData: -99.0

---- DATOS METEOROLÓGICOS**-- PERIODO ORIGINAL**

Dato Inicial.: 01/10/2023 00:00 Dato final.: 06/06/2024 00:00

Periodicidad de los datos: Diarios

---- DATOS DE SIMULACIÓN**-- PERIODO SIMULADO**

Dato Inicial.: 01/10/2023 00:00 Dato final.: 06/06/2024 00:00

Número de datos: 250

Periodicidad de la ejecución: Diarios

---- DATOS DE PREVISIÓN**-- PERIODO DE PREVISIÓN**

No se realiza previsión meteorológica.

-- FICHEROS UTILIZADOS

Cuenca.... : C:\Trabajos\1511- Maladeta 2024\20240606 acumulación\Aster\MALADETA2017.CUE
Bitmap : C:\Trabajos\1511- Maladeta 2024\20240606 acumulación\Aster\MALADETA2017.BMP
Estaciones : C:\Trabajos\1511- Maladeta 2024\20240606 acumulación\Aster\Maladeta_2022_h31.EST
Parámetros : C:\Trabajos\1511- Maladeta 2024\20240606 acumulación\Aster\MALADETA2023_CALIBRACION.INI
Datos MTO. : C:\Trabajos\1511- Maladeta 2024\20240606 acumulación\Aster\Maladeta_2024.met
Pértigas : C:\Trabajos\1511- Maladeta 2024\20240606 acumulación\Aster\MALADETA2017.CPE

ND: Dato No Disponible

---- PARÁMETROS DE AJUSTE

Coeficiente de Correlación, R = -1.000
NTD = -1.000
Coeficiente de variabilidad, CoVb = -1.000
Relación residuos-caudal medio, S = -1.000

-- DATOS HIDRO-MORFOLÓGICOS DE LA CUENCA (PERIODO DE SIMULACIÓN)

Coeficiente de Evaporación: 0.048

Coef.Escorrentía Calculado: 0.019

Coef.Escorrentía Observado: 0.000

-- BALANCE HIDROLÓGICO (PERIODO DE SIMULACIÓN)

Estado previo

Volumen disponible(hm³) : 0.0000
Acumulado en depósitos (hm³) : 0.0055
Nieve acumulada (hm³) : 0.0

Balance

Precipitación Total (hm³) : 0.5507
Aport. Externas (.APE)(hm³) : 0.000
Deriv. Externas (.APE)(hm³) : 0.000
Aport. Externas reales(hm³) : 0.000
Deriv. Externas reales(hm³) : 0.000
Aportaciones Forzadas (hm³) : 0.000
Evaporación Total (hm³) : 0.007
Sublimación Total (hm³) : 0.020
Incremento Nieve Acumulada(hm³): 0.4634
Aportación Calculada (hm³) : 0.0103
Aportación Observada (hm³) : 0.0000

Balance de precipitaciones

Total precipitaciones (hm³) : 0.5507
Total precip.líquidas (hm³) : 0.0201
Total precip. estado sólido-nieve (hm³): 0.5307

Lluvia infiltrada (%) / (hm³) : 0.0 / 0.0000
Lluvia retenida-evap. (%)/(hm³): 0.0 / 0.0000

Esorrentía directa (%) / (hm³): 0.0 / 0.0000

Nieve fundida (infiltrada) (%) : 9.0

Nieve sublimada (%) : 3.7

Origen de la esorrentía natural

Esorrentía natural (hm³) : 0.0164

Esorrentía directa(%) / (hm³) : 0.0 / 0.0000

Esorrentía retrasada(%)/(hm³) : 35.0 / 0.0057

Esorrentía superf.(%)/(hm³) : 0.0 / 0.0000

Subterránea (lenta) (%)/(hm³) : 65.0 / 0.0106

Estado final

Volumen disponible(hm³) : 0.0061

Nieve acumulada (hm³) : 0.4634

Acumulado en depósitos (hm³) : 0.0501

En depósito superior(hm³) : 0.0335

En depósito inferior(hm³) : 0.0165

Incrementos

Incremento Depósitos(hm³) : 0.0445

Incremento Depósitos (%) : 807.5

Inc.Depósitos/Preci.Total (%) : 8.1

Ausencia Caudales Obs.(%) : 100.0

---- DATOS DE ESTACIONES METEOROLÓGICAS (SIMULACIÓN + PREVISIÓN)

-- PRECIPITACIONES

Estación: A258 ÉSERA (CAMPO) Cota(m): 675 Celda: -99

Máxima = 97.2000 mm Total =755.4000 mm Media = 3.1739 mm Disponibilidad de datos = 95.2%

Estación: A145 ERISTE Cota(m): 1050 Celda: -99

Máxima = 83.0000 mm Total =995.8000 mm Media = 4.2738 mm Disponibilidad de datos = 93.2%

Estación: P102 Cerler Cota(m): 1900 Celda: -99

Máxima = 94.6000 mm Total =1138.6000 mm Media = 4.5544 mm Disponibilidad de datos = 100.0%

Estación: P103 Llanos del Hospital Cota(m): 1752 Celda: -99

Máxima = 69.4000 mm Total =1248.0000 mm Media = 4.9920 mm Disponibilidad de datos = 100.0%

Estación: R064 La Coma Cota(m): 1770 Celda: -99

Máxima = 98.6000 mm Total =1194.0000 mm Media = 4.7760 mm Disponibilidad de datos = 100.0%

Estación: A171 Molino de Gistaín Cota(m): 1260 Celda: -99

Máxima = 70.9000 mm Total =1034.0000 mm Media = 4.1360 mm Disponibilidad de datos = 100.0%

-- TEMPERATURAS

Estación: N006 Ordiceto Cota(m): 2380 Celda: -99

Máxima = 15.70 °C Mínima = -12.48 °C Media = 1.67 °C Disponibilidad de datos = 100.0%

Estación: N007 Renclusa Cota(m): 2180 Celda: -99

Máxima = -99.00 °C Mínima = -99.00 °C Media = -99.00 °C Disponibilidad de datos = 0.0%

Estación: N008 Salenques Cota(m): 2600 Celda: -99

Máxima = 13.90 °C Mínima = -12.84 °C Media =0.89 °C Disponibilidad de datos = 100.0%
Estación: N009 Eriste Cota(m): 2350 Celda: -99
Máxima = 16.20 °C Mínima = -9.59 °C Media =3.26 °C Disponibilidad de datos = 100.0%
Estación: A258 ÉSERA (CAMPO) Cota(m): 675 Celda: -99
Máxima = 20.63 °C Mínima = -2.10 °C Media =7.82 °C Disponibilidad de datos = 100.0%
Estación: A145 ERISTE Cota(m): 1050 Celda: -99
Máxima = 17.07 °C Mínima = -3.79 °C Media =6.04 °C Disponibilidad de datos = 100.0%
Estación: P102 Cerler Cota(m): 1900 Celda: -99
Máxima = 15.52 °C Mínima = -6.61 °C Media =4.14 °C Disponibilidad de datos = 100.0%
Estación: R058 Pegueras Cota(m): 1990 Celda: -99
Máxima = -99.00 °C Mínima = -99.00 °C Media =-99.00 °C Disponibilidad de datos = 0.0%
Estación: N015 Besurta Cota(m): 1930 Celda: -99
Máxima = 16.50 °C Mínima = -9.11 °C Media =3.64 °C Disponibilidad de datos = 100.0%
Estación: Aneto Aneto Cota(m): 3044 Celda: -99
Máxima = 11.32 °C Mínima = -16.30 °C Media =-2.52 °C Disponibilidad de datos = 85.6%

-- ELEMENTOS DE CONTROL NIVAL

Elementos:B20 B20 Cota(m): 3125 Celda: 128
Elementos:B24 B24 Cota(m): 3075 Celda: 180
Elementos:B25 B25 Cota(m): 3000 Celda: 350
Elementos:B26 B26 Cota(m): 2940 Celda: 422
Elementos:B17 B17 Cota(m): 2870 Celda: 457

---- DATOS GENERALES PARA LA CUENCA COMPLETA (SÓLO PERÍODO DE SIMULACIÓN)

-- TEMPERATURAS

Máxima Fecha Mínima Fecha Media
9.22 °C 01/10/2023 00:00 -17.56°C 08/01/2024 00:00 -4.27°C

-- PRECIPITACIONES

Máxima Fecha Total
118.3443 mm 19/10/2023 00:00 1996.6330 mm

-- NIEVE PRECIPITADA/ACUMULADA

Máxima Fecha Máxima Fecha
95.1 mm 19/10/2023 00:00 0.5 hm³ 24/05/2024 00:00

-- CAUDALES CALCULADOS (SIMULACIÓN)

Máximo Fecha Mínimo Fecha Medio Total
0.0045 m³/s 06/06/2024 00:00 0.0000 m³/s 01/10/2023 00:00 0.0005 m³/s 0.0103 hm³

-- CAUDALES OBSERVADOS (SIMULACIÓN)

Máximo Fecha Mínimo Fecha Total
ND ND ND ND ND

-- SUPERFICIE INNIVADA Y VOLÚMENES ALMACENADOS POR COTAS

---INSTANTE FINAL DE LA SIMULACIÓN (Volúmenes en forma de agua superiores a 1,0 mm)

Fecha: 06/06/2024 00:00

Intervalo (m): 100

Cota Inicio Nieve (m): 2855

Superficie Total Innivada (km²): 0.28 (99.8 %)

Altura Agua Equiv. Media(mm): 1680.96

Volumen Agua en forma de Nieve(hm^3): 0.46

Intervalo Cotas(m)	Superficie Cuenca (km ²)	Superficie Innivada (km ²)	Volumen Almacenado hm ³)	Altura Agua
	Sup./sup. total innivada	Vol./vol. Total almacenado	Equivalente (mm)	
2855 - 2900	0.01	0.01 (2.3 %)	0.01 (1.8 %)	1368.94
2900 - 3000	0.04	0.04 (14.8 %)	0.06 (13.3 %)	1509.24
3000 - 3100	0.13	0.13 (46.5 %)	0.21 (46.2 %)	1671.87
3100 - 3200	0.10	0.10 (35.9 %)	0.18 (38.1 %)	1779.89
3200 - 3223	0.00	0.00 (0.6 %)	0.00 (0.6 %)	1873.55

--- DATOS EN LOS PUNTOS DE CONTROL NIVEL

VAFN(mm): VOLUMEN DE AGUA EN FORMA DE NIEVE

T(°C): TEMPERATURA

VAFH(mm): VOLUMEN DE AGUA EN FORMA DE HIELO

22/10/2023 00:00	120.0	-6.0	-99.0	110.8	-5.9	-99.0	87.6	-5.4	-99.0	70.5	-4.9	-99.0	52.7	-4.4	-99.0	0.0	0.0	0.0	0.0	0.0	0.0	0.0
23/10/2023 00:00	187.4	-2.6	-99.0	177.5	-2.4	-99.0	152.1	-1.9	-99.0	131.2	-1.4	-99.0	103.1	-0.8	-99.0	0.0	0.0	0.0	0.0	0.0	0.0	0.0
24/10/2023 00:00	219.0	-4.6	-99.0	208.8	-4.5	-99.0	182.6	-4.0	-99.0	160.9	-3.5	-99.0	131.9	-3.0	-99.0	0.0	0.0	0.0	0.0	0.0	0.0	0.0
25/10/2023 00:00	219.2	-2.6	-99.0	209.0	-2.4	-99.0	182.8	-2.0	-99.0	161.1	-1.5	-99.0	132.0	-1.1	-99.0	0.0	0.0	0.0	0.0	0.0	0.0	0.0
26/10/2023 00:00	260.2	-0.7	-99.0	247.6	-0.5	-99.0	215.0	-0.1	-99.0	186.7	0.4	-99.0	151.8	0.8	-99.0	0.0	0.0	0.0	0.0	0.0	0.0	0.0
27/10/2023 00:00	260.2	-6.0	-99.0	247.6	-5.8	-99.0	215.0	-5.4	-99.0	186.7	-4.9	-99.0	151.8	-4.4	-99.0	0.0	0.0	0.0	0.0	0.0	0.0	0.0
28/10/2023 00:00	260.8	-5.1	-99.0	248.2	-4.9	-99.0	215.5	-4.3	-99.0	187.2	-3.8	-99.0	152.3	-3.2	-99.0	0.0	0.0	0.0	0.0	0.0	0.0	0.0
29/10/2023 00:00	263.9	-2.9	-99.0	251.3	-2.7	-99.0	218.6	-2.1	-99.0	190.2	-1.5	-99.0	154.8	-1.0	-99.0	0.0	0.0	0.0	0.0	0.0	0.0	0.0
30/10/2023 00:00	295.1	-4.9	-99.0	282.2	-4.8	-99.0	248.8	-4.3	-99.0	219.7	-3.8	-99.0	183.6	-3.4	-99.0	0.0	0.0	0.0	0.0	0.0	0.0	0.0
31/10/2023 00:00	294.8	-6.3	-99.0	281.9	-6.1	-99.0	248.5	-5.6	-99.0	219.4	-5.1	-99.0	183.3	-4.6	-99.0	0.0	0.0	0.0	0.0	0.0	0.0	0.0
01/11/2023 00:00	302.6	-5.2	-99.0	289.7	-5.0	-99.0	256.1	-4.5	-99.0	226.8	-4.0	-99.0	190.5	-3.4	-99.0	0.0	0.0	0.0	0.0	0.0	0.0	0.0
02/11/2023 00:00	371.3	-5.7	-99.0	357.9	-5.5	-99.0	323.1	-5.0	-99.0	292.5	-4.5	-99.0	254.8	-4.1	-99.0	0.0	0.0	0.0	0.0	0.0	0.0	0.0
03/11/2023 00:00	372.4	-10.8	-99.0	359.0	-10.6	-99.0	324.1	-10.0	-99.0	293.5	-9.5	-99.0	255.8	-8.9	-99.0	0.0	0.0	0.0	0.0	0.0	0.0	0.0
04/11/2023 00:00	399.9	-5.8	-99.0	386.2	-5.6	-99.0	350.7	-5.2	-99.0	319.5	-4.7	-99.0	281.1	-4.3	-99.0	0.0	0.0	0.0	0.0	0.0	0.0	0.0
05/11/2023 00:00	400.0	-8.0	-99.0	386.4	-7.9	-99.0	350.9	-7.3	-99.0	319.6	-6.8	-99.0	281.3	-6.2	-99.0	0.0	0.0	0.0	0.0	0.0	0.0	0.0
06/11/2023 00:00	399.7	-8.7	-99.0	386.1	-8.6	-99.0	350.6	-8.0	-99.0	319.3	-7.4	-99.0	281.0	-6.9	-99.0	0.0	0.0	0.0	0.0	0.0	0.0	0.0
07/11/2023 00:00	399.4	-10.7	-99.0	385.8	-10.5	-99.0	350.3	-9.9	-99.0	319.0	-9.4	-99.0	280.7	-8.8	-99.0	0.0	0.0	0.0	0.0	0.0	0.0	0.0
08/11/2023 00:00	399.1	-7.4	-99.0	385.5	-7.3	-99.0	350.0	-7.0	-99.0	318.7	-6.7	-99.0	280.4	-6.5	-99.0	0.0	0.0	0.0	0.0	0.0	0.0	0.0
09/11/2023 00:00	410.6	-6.0	-99.0	396.8	-5.8	-99.0	361.1	-5.4	-99.0	329.6	-5.0	-99.0	291.0	-4.7	-99.0	0.0	0.0	0.0	0.0	0.0	0.0	0.0
10/11/2023 00:00	410.8	-7.0	-99.0	397.1	-6.9	-99.0	361.4	-6.3	-99.0	329.9	-5.8	-99.0	291.3	-5.2	-99.0	0.0	0.0	0.0	0.0	0.0	0.0	0.0
11/11/2023 00:00	412.1	-2.6	-99.0	398.3	-2.4	-99.0	362.6	-2.0	-99.0	331.1	-1.5	-99.0	292.3	-1.1	-99.0	0.0	0.0	0.0	0.0	0.0	0.0	0.0
12/11/2023 00:00	412.0	-1.7	-99.0	398.3	-1.5	-99.0	362.5	-1.0	-99.0	331.0	-0.4	-99.0	292.2	0.1	-99.0	0.0	0.0	0.0	0.0	0.0	0.0	0.0
13/11/2023 00:00	411.7	-0.2	-99.0	398.0	-0.1	-99.0	362.2	0.2	-99.0	330.7	0.5	-99.0	291.9	0.6	-99.0	0.0	0.0	0.0	0.0	0.0	0.0	0.0
14/11/2023 00:00	411.4	1.4	-99.0	397.7	1.6	-99.0	361.9	2.0	-99.0	330.4	2.4	-99.0	291.6	2.8	-99.0	0.0	0.0	0.0	0.0	0.0	0.0	0.0
15/11/2023 00:00	411.1	-0.1	-99.0	397.4	0.0	-99.0	361.6	0.5	-99.0	330.1	1.0	-99.0	291.3	1.5	-99.0	0.0	0.0	0.0	0.0	0.0	0.0	0.0
16/11/2023 00:00	411.1	-0.2	-99.0	397.4	-0.1	-99.0	361.5	0.3	-99.0	329.9	0.8	-99.0	291.1	1.2	-99.0	0.0	0.0	0.0	0.0	0.0	0.0	0.0
17/11/2023 00:00	411.0	0.1	-99.0	397.2	0.2	-99.0	361.4	0.6	-99.0	329.7	1.1	-99.0	290.9	1.4	-99.0	0.0	0.0	0.0	0.0	0.0	0.0	0.0
18/11/2023 00:00	410.7	1.8	-99.0	396.9	2.0	-99.0	361.1	2.4	-99.0	329.0	2.8	-99.0	286.7	3.2	-99.0	0.0	0.0	0.0	0.0	0.0	0.0	0.0
19/11/2023 00:00	410.4	1.5	-99.0	396.6	1.6	-99.0	360.5	2.0	-99.0	325.5	2.4	-99.0	280.3	2.7	-99.0	0.0	0.0	0.0	0.0	0.0	0.0	0.0
20/11/2023 00:00	412.2	-1.8	-99.0	398.4	-1.6	-99.0	362.2	-1.3	-99.0	327.0	-1.0	-99.0	280.2	-0.8	-99.0	0.0	0.0	0.0	0.0	0.0	0.0	0.0
21/11/2023 00:00	454.0	-8.9	-99.0	440.0	-8.7	-99.0	403.2	-8.2	-99.0	367.4	-7.7	-99.0	320.0	-7.1	-99.0	0.0	0.0	0.0	0.0	0.0	0.0	0.0
22/11/2023 00:00	500.3	-10.8	-99.0	486.1	-10.6	-99.0	448.5	-10.1	-99.0	411.8	-9.5	-99.0	363.6	-9.0	-99.0	0.0	0.0	0.0	0.0	0.0	0.0	0.0
23/11/2023 00:00	502.7	-8.3	-99.0	488.5	-8.1	-99.0	450.8	-7.5	-99.0	414.0	-6.8	-99.0	364.9	-6.2	-99.0	0.0	0.0	0.0	0.0	0.0	0.0	0.0
24/11/2023 00:00	504.1	-3.7	-99.0	489.8	-3.5	-99.0	450.0	-2.9	-99.0	413.3	-2.4	-99.0	364.1	-1.8	-99.0	0.0	0.0	0.0	0.0	0.0	0.0	0.0
25/11/2023 00:00	504.9	-6.3	-99.0	490.6	-6.1	-99.0	448.8	-5.6	-99.0	412.0	-5.1	-99.0	362.8	-4.6	-99.0	0.0	0.0	0.0	0.0	0.0	0.0	0.0
26/11/2023 00:00	504.6	-4.4	-99.0	490.3	-4.2	-99.0	446.4	-3.8	-99.0	409.6	-3.4	-99.0	360.4	-3.1	-99.0	0.0	0.0	0.0	0.0	0.0	0.0	0.0
27/11/2023 00:00	511.7	-4.3	-99.0	497.4	-4.2	-99.0	453.4	-3.7	-99.0	416.4	-3.3	-99.0	367.2	-2.9	-99.0	0.0	0.0	0.0	0.0	0.0	0.0	0.0

28/11/2023 00:00	512.2	-7.5	-99.0	497.8	-7.3	-99.0	453.7	-6.7	-99.0	416.7	-6.2	-99.0	367.3	-5.6	-99.0	0.0	0.0	0.0	0.0	0.0	0.0	0.0
29/11/2023 00:00	518.3	-5.1	-99.0	503.8	-4.9	-99.0	459.5	-4.5	-99.0	422.2	-4.1	-99.0	372.6	-3.7	-99.0	0.0	0.0	0.0	0.0	0.0	0.0	0.0
30/11/2023 00:00	592.9	-3.4	-99.0	577.7	-3.2	-99.0	531.4	-2.7	-99.0	492.2	-2.3	-99.0	440.5	-1.8	-99.0	0.0	0.0	0.0	0.0	0.0	0.0	0.0
01/12/2023 00:00	662.8	-6.0	-99.0	647.1	-5.9	-99.0	599.3	-5.4	-99.0	558.7	-5.0	-99.0	505.3	-4.6	-99.0	0.0	0.0	0.0	0.0	0.0	0.0	0.0
02/12/2023 00:00	666.0	-12.8	-99.0	650.3	-12.6	-99.0	602.5	-12.1	-99.0	561.8	-11.5	-99.0	508.3	-10.9	-99.0	0.0	0.0	0.0	0.0	0.0	0.0	0.0
03/12/2023 00:00	665.7	-10.8	-99.0	650.0	-10.6	-99.0	602.2	-10.2	-99.0	561.5	-9.7	-99.0	508.0	-9.3	-99.0	0.0	0.0	0.0	0.0	0.0	0.0	0.0
04/12/2023 00:00	668.1	-10.2	-99.0	652.4	-10.0	-99.0	604.5	-9.6	-99.0	563.8	-9.2	-99.0	510.3	-8.8	-99.0	0.0	0.0	0.0	0.0	0.0	0.0	0.0
05/12/2023 00:00	669.4	-11.0	-99.0	653.6	-10.8	-99.0	605.7	-10.3	-99.0	564.9	-9.8	-99.0	511.4	-9.4	-99.0	0.0	0.0	0.0	0.0	0.0	0.0	0.0
06/12/2023 00:00	669.1	-7.9	-99.0	653.3	-7.8	-99.0	605.4	-7.4	-99.0	564.6	-7.0	-99.0	511.1	-6.6	-99.0	0.0	0.0	0.0	0.0	0.0	0.0	0.0
07/12/2023 00:00	670.7	-4.9	-99.0	655.0	-4.8	-99.0	607.0	-4.5	-99.0	566.2	-4.1	-99.0	512.6	-3.9	-99.0	0.0	0.0	0.0	0.0	0.0	0.0	0.0
08/12/2023 00:00	681.3	-8.5	-99.0	665.5	-8.3	-99.0	617.4	-7.9	-99.0	576.4	-7.4	-99.0	522.7	-6.9	-99.0	0.0	0.0	0.0	0.0	0.0	0.0	0.0
09/12/2023 00:00	685.4	-4.2	-99.0	669.6	-4.0	-99.0	621.5	-3.6	-99.0	580.4	-3.1	-99.0	526.7	-2.6	-99.0	0.0	0.0	0.0	0.0	0.0	0.0	0.0
10/12/2023 00:00	685.1	-1.5	-99.0	669.3	-1.4	-99.0	621.2	-1.0	-99.0	580.1	-0.7	-99.0	526.4	-0.4	-99.0	0.0	0.0	0.0	0.0	0.0	0.0	0.0
11/12/2023 00:00	682.5	-0.9	-99.0	666.7	-0.8	-99.0	618.5	-0.5	-99.0	577.5	-0.2	-99.0	523.7	0.0	-99.0	0.0	0.0	0.0	0.0	0.0	0.0	0.0
12/12/2023 00:00	681.7	-2.7	-99.0	665.9	-2.6	-99.0	617.7	-2.2	-99.0	576.6	-1.7	-99.0	522.7	-1.3	-99.0	0.0	0.0	0.0	0.0	0.0	0.0	0.0
13/12/2023 00:00	700.2	-8.6	-99.0	684.3	-8.4	-99.0	635.7	-7.9	-99.0	594.2	-7.4	-99.0	539.9	-6.8	-99.0	0.0	0.0	0.0	0.0	0.0	0.0	0.0
14/12/2023 00:00	732.9	-13.0	-99.0	716.8	-12.8	-99.0	667.8	-12.2	-99.0	625.7	-11.6	-99.0	571.0	-11.1	-99.0	0.0	0.0	0.0	0.0	0.0	0.0	0.0
15/12/2023 00:00	735.4	-8.8	-99.0	719.3	-8.7	-99.0	670.2	-8.1	-99.0	628.1	-7.6	-99.0	573.3	-7.1	-99.0	0.0	0.0	0.0	0.0	0.0	0.0	0.0
16/12/2023 00:00	735.1	-5.9	-99.0	719.0	-5.7	-99.0	669.9	-5.3	-99.0	627.8	-4.8	-99.0	573.0	-4.3	-99.0	0.0	0.0	0.0	0.0	0.0	0.0	0.0
17/12/2023 00:00	734.8	-4.9	-99.0	718.7	-4.7	-99.0	669.6	-4.3	-99.0	627.5	-3.7	-99.0	572.7	-3.2	-99.0	0.0	0.0	0.0	0.0	0.0	0.0	0.0
18/12/2023 00:00	734.5	-6.1	-99.0	718.4	-6.0	-99.0	669.3	-5.5	-99.0	627.2	-5.0	-99.0	572.4	-4.5	-99.0	0.0	0.0	0.0	0.0	0.0	0.0	0.0
19/12/2023 00:00	734.2	-4.9	-99.0	718.1	-4.7	-99.0	669.0	-4.3	-99.0	626.9	-3.7	-99.0	572.1	-3.2	-99.0	0.0	0.0	0.0	0.0	0.0	0.0	0.0
20/12/2023 00:00	753.1	-9.7	-99.0	736.9	-9.5	-99.0	687.6	-9.0	-99.0	645.3	-8.4	-99.0	590.3	-7.9	-99.0	0.0	0.0	0.0	0.0	0.0	0.0	0.0
21/12/2023 00:00	759.9	-7.2	-99.0	743.7	-7.0	-99.0	694.4	-6.4	-99.0	652.0	-5.8	-99.0	596.9	-5.1	-99.0	0.0	0.0	0.0	0.0	0.0	0.0	0.0
22/12/2023 00:00	763.8	-6.4	-99.0	747.6	-6.2	-99.0	698.2	-5.7	-99.0	655.7	-5.1	-99.0	600.6	-4.5	-99.0	0.0	0.0	0.0	0.0	0.0	0.0	0.0
23/12/2023 00:00	763.5	-1.6	-99.0	747.3	-1.5	-99.0	697.9	-1.2	-99.0	655.4	-0.8	-99.0	600.3	-0.6	-99.0	0.0	0.0	0.0	0.0	0.0	0.0	0.0
24/12/2023 00:00	763.2	-0.7	-99.0	747.0	-0.6	-99.0	697.6	-0.3	-99.0	655.0	0.0	-99.0	599.2	0.1	-99.0	0.0	0.0	0.0	0.0	0.0	0.0	0.0
25/12/2023 00:00	761.2	-2.3	-99.0	744.9	-2.2	-99.0	695.1	-1.9	-99.0	652.3	-1.6	-99.0	596.5	-1.4	-99.0	0.0	0.0	0.0	0.0	0.0	0.0	0.0
26/12/2023 00:00	758.6	-2.6	-99.0	742.2	-2.6	-99.0	692.4	-2.3	-99.0	649.6	-2.0	-99.0	593.8	-1.9	-99.0	0.0	0.0	0.0	0.0	0.0	0.0	0.0
27/12/2023 00:00	756.0	-4.3	-99.0	739.7	-4.2	-99.0	690.0	-3.9	-99.0	647.3	-3.6	-99.0	591.7	-3.5	-99.0	0.0	0.0	0.0	0.0	0.0	0.0	0.0
28/12/2023 00:00	753.7	-4.6	-99.0	737.4	-4.4	-99.0	687.9	-4.0	-99.0	645.2	-3.6	-99.0	589.7	-3.2	-99.0	0.0	0.0	0.0	0.0	0.0	0.0	0.0
29/12/2023 00:00	752.2	-5.1	-99.0	735.9	-5.0	-99.0	686.3	-4.5	-99.0	643.7	-4.0	-99.0	588.1	-3.6	-99.0	0.0	0.0	0.0	0.0	0.0	0.0	0.0
30/12/2023 00:00	751.9	-6.9	-99.0	735.6	-6.8	-99.0	686.0	-6.4	-99.0	643.4	-5.9	-99.0	587.8	-5.5	-99.0	0.0	0.0	0.0	0.0	0.0	0.0	0.0
31/12/2023 00:00	752.5	-8.5	-99.0	736.2	-8.4	-99.0	686.6	-7.9	-99.0	643.9	-7.4	-99.0	588.4	-6.9	-99.0	0.0	0.0	0.0	0.0	0.0	0.0	0.0
01/01/2024 00:00	752.2	-9.2	-99.0	735.9	-9.1	-99.0	686.3	-8.7	-99.0	643.6	-8.3	-99.0	588.1	-8.0	-99.0	0.0	0.0	0.0	0.0	0.0	0.0	0.0
02/01/2024 00:00	751.9	-5.3	-99.0	735.6	-5.2	-99.0	686.0	-4.9	-99.0	643.3	-4.5	-99.0	587.8	-4.2	-99.0	0.0	0.0	0.0	0.0	0.0	0.0	0.0
03/01/2024 00:00	752.2	-4.6	-99.0	735.8	-4.5	-99.0	686.2	-4.1	-99.0	643.5	-3.6	-99.0	587.9	-3.2	-99.0	0.0	0.0	0.0	0.0	0.0	0.0	0.0

04/01/2024 00:00	751.9	-6.9	-99.0	735.5	-6.7	-99.0	685.9	-6.3	-99.0	643.2	-5.9	-99.0	587.6	-5.6	-99.0	0.0	0.0	0.0	0.0	0.0	0.0	0.0
05/01/2024 00:00	771.1	-10.1	-99.0	754.7	-9.9	-99.0	704.7	-9.4	-99.0	661.6	-8.9	-99.0	605.7	-8.4	-99.0	0.0	0.0	0.0	0.0	0.0	0.0	0.0
06/01/2024 00:00	806.4	-14.3	-99.0	789.8	-14.1	-99.0	739.4	-13.5	-99.0	695.9	-13.0	-99.0	639.5	-12.4	-99.0	0.0	0.0	0.0	0.0	0.0	0.0	0.0
07/01/2024 00:00	833.5	-16.8	-99.0	816.8	-16.6	-99.0	766.2	-16.1	-99.0	722.3	-15.5	-99.0	665.7	-14.9	-99.0	0.0	0.0	0.0	0.0	0.0	0.0	0.0
08/01/2024 00:00	834.8	-17.8	-99.0	818.1	-17.7	-99.0	767.4	-17.2	-99.0	723.5	-16.6	-99.0	666.8	-16.1	-99.0	0.0	0.0	0.0	0.0	0.0	0.0	0.0
09/01/2024 00:00	834.5	-12.1	-99.0	817.8	-12.0	-99.0	767.1	-11.7	-99.0	723.2	-11.4	-99.0	666.5	-11.2	-99.0	0.0	0.0	0.0	0.0	0.0	0.0	0.0
10/01/2024 00:00	836.0	-11.7	-99.0	819.3	-11.6	-99.0	768.6	-11.2	-99.0	724.6	-10.9	-99.0	668.0	-10.6	-99.0	0.0	0.0	0.0	0.0	0.0	0.0	0.0
11/01/2024 00:00	835.7	-12.8	-99.0	819.0	-12.6	-99.0	768.3	-12.1	-99.0	724.3	-11.5	-99.0	667.7	-11.0	-99.0	0.0	0.0	0.0	0.0	0.0	0.0	0.0
12/01/2024 00:00	835.5	-9.4	-99.0	818.8	-9.2	-99.0	768.1	-8.9	-99.0	724.1	-8.5	-99.0	667.5	-8.2	-99.0	0.0	0.0	0.0	0.0	0.0	0.0	0.0
13/01/2024 00:00	835.2	-4.4	-99.0	818.5	-4.2	-99.0	767.8	-3.9	-99.0	723.8	-3.5	-99.0	667.2	-3.3	-99.0	0.0	0.0	0.0	0.0	0.0	0.0	0.0
14/01/2024 00:00	840.4	-3.9	-99.0	823.7	-3.7	-99.0	773.0	-3.3	-99.0	728.9	-2.9	-99.0	672.2	-2.5	-99.0	0.0	0.0	0.0	0.0	0.0	0.0	0.0
15/01/2024 00:00	843.4	-5.5	-99.0	826.7	-5.3	-99.0	775.9	-4.8	-99.0	731.8	-4.3	-99.0	675.0	-3.8	-99.0	0.0	0.0	0.0	0.0	0.0	0.0	0.0
16/01/2024 00:00	849.4	-4.8	-99.0	832.6	-4.6	-99.0	781.7	-4.2	-99.0	737.5	-3.8	-99.0	680.6	-3.5	-99.0	0.0	0.0	0.0	0.0	0.0	0.0	0.0
17/01/2024 00:00	894.1	-5.1	-99.0	876.8	-4.9	-99.0	824.6	-4.5	-99.0	779.0	-4.0	-99.0	720.7	-3.5	-99.0	0.0	0.0	0.0	0.0	0.0	0.0	0.0
18/01/2024 00:00	896.1	-7.8	-99.0	878.8	-7.7	-99.0	826.5	-7.2	-99.0	780.9	-6.6	-99.0	722.5	-6.1	-99.0	0.0	0.0	0.0	0.0	0.0	0.0	0.0
19/01/2024 00:00	897.5	-9.3	-99.0	880.1	-9.1	-99.0	827.7	-8.6	-99.0	782.0	-8.1	-99.0	723.5	-7.6	-99.0	0.0	0.0	0.0	0.0	0.0	0.0	0.0
20/01/2024 00:00	897.2	-9.4	-99.0	879.9	-9.2	-99.0	827.4	-8.9	-99.0	781.8	-8.5	-99.0	723.3	-8.1	-99.0	0.0	0.0	0.0	0.0	0.0	0.0	0.0
21/01/2024 00:00	896.9	-5.1	-99.0	879.6	-5.0	-99.0	827.1	-4.7	-99.0	781.5	-4.4	-99.0	723.0	-4.3	-99.0	0.0	0.0	0.0	0.0	0.0	0.0	0.0
22/01/2024 00:00	896.6	-2.9	-99.0	879.3	-2.8	-99.0	826.8	-2.6	-99.0	781.2	-2.3	-99.0	722.7	-2.2	-99.0	0.0	0.0	0.0	0.0	0.0	0.0	0.0
23/01/2024 00:00	896.5	-1.7	-99.0	879.1	-1.5	-99.0	826.7	-1.0	-99.0	781.0	-0.5	-99.0	722.4	0.0	-99.0	0.0	0.0	0.0	0.0	0.0	0.0	0.0
24/01/2024 00:00	896.2	1.1	-99.0	878.8	1.2	-99.0	826.4	1.6	-99.0	780.7	2.0	-99.0	722.1	2.4	-99.0	0.0	0.0	0.0	0.0	0.0	0.0	0.0
25/01/2024 00:00	894.0	2.3	-99.0	876.2	2.4	-99.0	822.8	2.8	-99.0	776.0	3.1	-99.0	716.8	3.4	-99.0	0.0	0.0	0.0	0.0	0.0	0.0	0.0
26/01/2024 00:00	891.5	0.3	-99.0	873.6	0.4	-99.0	819.7	0.8	-99.0	772.1	1.2	-99.0	712.2	1.5	-99.0	0.0	0.0	0.0	0.0	0.0	0.0	0.0
27/01/2024 00:00	888.7	0.3	-99.0	870.8	0.4	-99.0	816.8	0.7	-99.0	768.4	1.1	-99.0	708.1	1.3	-99.0	0.0	0.0	0.0	0.0	0.0	0.0	0.0
28/01/2024 00:00	885.9	-0.4	-99.0	868.1	-0.3	-99.0	814.0	0.0	-99.0	765.7	0.3	-99.0	705.4	0.5	-99.0	0.0	0.0	0.0	0.0	0.0	0.0	0.0
29/01/2024 00:00	885.6	-4.1	-99.0	867.8	-4.0	-99.0	813.7	-3.8	-99.0	765.4	-3.5	-99.0	705.1	-3.3	-99.0	0.0	0.0	0.0	0.0	0.0	0.0	0.0
30/01/2024 00:00	885.3	-3.2	-99.0	867.5	-3.0	-99.0	813.4	-2.7	-99.0	765.1	-2.3	-99.0	704.8	-2.0	-99.0	0.0	0.0	0.0	0.0	0.0	0.0	0.0
31/01/2024 00:00	885.0	-3.3	-99.0	867.2	-3.1	-99.0	813.1	-2.7	-99.0	764.8	-2.2	-99.0	704.5	-1.9	-99.0	0.0	0.0	0.0	0.0	0.0	0.0	0.0
01/02/2024 00:00	884.7	-4.7	-99.0	866.9	-4.5	-99.0	812.8	-4.1	-99.0	764.5	-3.6	-99.0	704.2	-3.1	-99.0	0.0	0.0	0.0	0.0	0.0	0.0	0.0
02/02/2024 00:00	884.6	-3.4	-99.0	866.7	-3.2	-99.0	812.7	-2.7	-99.0	764.3	-2.2	-99.0	704.0	-1.7	-99.0	0.0	0.0	0.0	0.0	0.0	0.0	0.0
03/02/2024 00:00	884.3	-1.3	-99.0	866.4	-1.1	-99.0	812.4	-0.6	-99.0	764.0	-0.1	-99.0	703.7	0.4	-99.0	0.0	0.0	0.0	0.0	0.0	0.0	0.0
04/02/2024 00:00	884.0	-0.5	-99.0	866.1	-0.3	-99.0	812.1	0.1	-99.0	763.7	0.5	-99.0	702.7	0.9	-99.0	0.0	0.0	0.0	0.0	0.0	0.0	0.0
05/02/2024 00:00	883.7	-2.0	-99.0	865.8	-1.9	-99.0	811.8	-1.7	-99.0	763.4	-1.4	-99.0	702.4	-1.3	-99.0	0.0	0.0	0.0	0.0	0.0	0.0	0.0
06/02/2024 00:00	883.4	-3.9	-99.0	865.5	-3.7	-99.0	811.5	-3.3	-99.0	763.1	-2.9	-99.0	702.1	-2.5	-99.0	0.0	0.0	0.0	0.0	0.0	0.0	0.0
07/02/2024 00:00	883.1	-5.8	-99.0	865.2	-5.6	-99.0	811.2	-5.0	-99.0	762.8	-4.5	-99.0	701.8	-4.0	-99.0	0.0	0.0	0.0	0.0	0.0	0.0	0.0
08/02/2024 00:00	887.3	-6.0	-99.0	869.4	-5.9	-99.0	815.2	-5.4	-99.0	766.7	-4.9	-99.0	705.6	-4.5	-99.0	0.0	0.0	0.0	0.0	0.0	0.0	0.0
09/02/2024 00:00	894.9	-7.7	-99.0	876.9	-7.5	-99.0	822.5	-7.1	-99.0	773.8	-6.6	-99.0	712.3	-6.2	-99.0	0.0	0.0	0.0	0.0	0.0	0.0	0.0

10/02/2024 00:00	919.4	-10.1	-99.0	901.3	-10.0	-99.0	846.4	-9.5	-99.0	797.3	-8.9	-99.0	735.4	-8.4	-99.0	0.0	0.0	0.0	0.0	0.0	0.0	0.0
11/02/2024 00:00	919.7	-11.8	-99.0	901.5	-11.6	-99.0	846.7	-11.1	-99.0	797.5	-10.5	-99.0	735.7	-9.9	-99.0	0.0	0.0	0.0	0.0	0.0	0.0	0.0
12/02/2024 00:00	921.3	-9.8	-99.0	903.2	-9.7	-99.0	848.3	-9.4	-99.0	799.1	-9.0	-99.0	737.2	-8.8	-99.0	0.0	0.0	0.0	0.0	0.0	0.0	0.0
13/02/2024 00:00	921.0	-4.8	-99.0	902.9	-4.7	-99.0	848.0	-4.2	-99.0	798.8	-3.8	-99.0	736.9	-3.4	-99.0	0.0	0.0	0.0	0.0	0.0	0.0	0.0
14/02/2024 00:00	920.7	-0.7	-99.0	902.6	-0.6	-99.0	847.7	-0.3	-99.0	798.5	0.1	-99.0	736.6	0.3	-99.0	0.0	0.0	0.0	0.0	0.0	0.0	0.0
15/02/2024 00:00	920.4	-0.7	-99.0	902.3	-0.5	-99.0	847.4	-0.1	-99.0	798.2	0.4	-99.0	736.3	0.8	-99.0	0.0	0.0	0.0	0.0	0.0	0.0	0.0
16/02/2024 00:00	959.4	-6.7	-99.0	941.0	-6.5	-99.0	885.5	-6.1	-99.0	835.6	-5.6	-99.0	773.0	-5.2	-99.0	0.0	0.0	0.0	0.0	0.0	0.0	0.0
17/02/2024 00:00	959.1	-5.7	-99.0	940.7	-5.5	-99.0	885.2	-5.0	-99.0	835.3	-4.5	-99.0	772.7	-4.0	-99.0	0.0	0.0	0.0	0.0	0.0	0.0	0.0
18/02/2024 00:00	958.9	-2.6	-99.0	940.5	-2.4	-99.0	885.0	-2.0	-99.0	835.1	-1.5	-99.0	772.5	-1.1	-99.0	0.0	0.0	0.0	0.0	0.0	0.0	0.0
19/02/2024 00:00	962.7	-5.4	-99.0	944.3	-5.2	-99.0	888.7	-4.7	-99.0	838.7	-4.2	-99.0	776.1	-3.6	-99.0	0.0	0.0	0.0	0.0	0.0	0.0	0.0
20/02/2024 00:00	962.7	-5.4	-99.0	944.3	-5.2	-99.0	888.7	-4.6	-99.0	838.7	-4.0	-99.0	776.1	-3.4	-99.0	0.0	0.0	0.0	0.0	0.0	0.0	0.0
21/02/2024 00:00	962.4	-4.0	-99.0	944.0	-3.8	-99.0	888.4	-3.3	-99.0	838.4	-2.8	-99.0	775.8	-2.2	-99.0	0.0	0.0	0.0	0.0	0.0	0.0	0.0
22/02/2024 00:00	967.7	-5.5	-99.0	949.3	-5.3	-99.0	893.6	-4.8	-99.0	843.4	-4.2	-99.0	780.7	-3.7	-99.0	0.0	0.0	0.0	0.0	0.0	0.0	0.0
23/02/2024 00:00	970.8	-13.2	-99.0	952.3	-13.0	-99.0	896.5	-12.4	-99.0	846.3	-11.9	-99.0	783.5	-11.3	-99.0	0.0	0.0	0.0	0.0	0.0	0.0	0.0
24/02/2024 00:00	973.2	-13.7	-99.0	954.7	-13.5	-99.0	898.9	-12.9	-99.0	848.7	-12.4	-99.0	785.7	-11.8	-99.0	0.0	0.0	0.0	0.0	0.0	0.0	0.0
25/02/2024 00:00	983.9	-11.2	-99.0	965.3	-11.0	-99.0	909.2	-10.5	-99.0	858.7	-9.9	-99.0	795.5	-9.4	-99.0	0.0	0.0	0.0	0.0	0.0	0.0	0.0
26/02/2024 00:00	997.4	-10.6	-99.0	978.8	-10.4	-99.0	922.5	-9.9	-99.0	871.8	-9.3	-99.0	808.4	-8.7	-99.0	0.0	0.0	0.0	0.0	0.0	0.0	0.0
27/02/2024 00:00	1038.3	-12.1	-99.0	1019.5	-11.9	-99.0	962.8	-11.4	-99.0	911.5	-10.9	-99.0	847.7	-10.3	-99.0	0.0	0.0	0.0	0.0	0.0	0.0	0.0
28/02/2024 00:00	1044.9	-12.4	-99.0	1026.0	-12.2	-99.0	969.3	-11.6	-99.0	917.9	-11.0	-99.0	854.0	-10.4	-99.0	0.0	0.0	0.0	0.0	0.0	0.0	0.0
29/02/2024 00:00	1052.9	-8.3	-99.0	1034.1	-8.1	-99.0	977.2	-7.5	-99.0	925.7	-6.9	-99.0	861.7	-6.3	-99.0	0.0	0.0	0.0	0.0	0.0	0.0	0.0
01/03/2024 00:00	1057.6	-10.9	-99.0	1038.8	-10.7	-99.0	981.9	-10.1	-99.0	930.3	-9.6	-99.0	866.3	-9.0	-99.0	0.0	0.0	0.0	0.0	0.0	0.0	0.0
02/03/2024 00:00	1106.1	-10.3	-99.0	1086.9	-10.2	-99.0	1029.1	-9.7	-99.0	976.5	-9.2	-99.0	911.5	-8.7	-99.0	0.0	0.0	0.0	0.0	0.0	0.0	0.0
03/03/2024 00:00	1132.3	-14.6	-99.0	1112.9	-14.4	-99.0	1054.7	-13.8	-99.0	1001.7	-13.3	-99.0	936.3	-12.6	-99.0	0.0	0.0	0.0	0.0	0.0	0.0	0.0
04/03/2024 00:00	1132.5	-12.9	-99.0	1113.2	-12.8	-99.0	1054.9	-12.5	-99.0	1002.0	-12.1	-99.0	936.5	-11.9	-99.0	0.0	0.0	0.0	0.0	0.0	0.0	0.0
05/03/2024 00:00	1132.7	-11.6	-99.0	1113.3	-11.4	-99.0	1055.0	-10.8	-99.0	1002.1	-10.2	-99.0	936.6	-9.6	-99.0	0.0	0.0	0.0	0.0	0.0	0.0	0.0
06/03/2024 00:00	1132.5	-9.9	-99.0	1113.1	-9.8	-99.0	1054.9	-9.2	-99.0	1001.9	-8.7	-99.0	936.4	-8.2	-99.0	0.0	0.0	0.0	0.0	0.0	0.0	0.0
07/03/2024 00:00	1133.2	-8.9	-99.0	1113.8	-8.7	-99.0	1055.5	-8.2	-99.0	1002.6	-7.6	-99.0	937.1	-7.1	-99.0	0.0	0.0	0.0	0.0	0.0	0.0	0.0
08/03/2024 00:00	1165.9	-10.8	-99.0	1146.3	-10.7	-99.0	1087.1	-10.2	-99.0	1033.3	-9.7	-99.0	966.9	-9.2	-99.0	0.0	0.0	0.0	0.0	0.0	0.0	0.0
09/03/2024 00:00	1216.8	-11.3	-99.0	1196.6	-11.1	-99.0	1136.1	-10.6	-99.0	1080.9	-10.1	-99.0	1013.0	-9.6	-99.0	0.0	0.0	0.0	0.0	0.0	0.0	0.0
10/03/2024 00:00	1218.7	-12.3	-99.0	1198.5	-12.1	-99.0	1137.9	-11.6	-99.0	1082.7	-11.0	-99.0	1014.8	-10.5	-99.0	0.0	0.0	0.0	0.0	0.0	0.0	0.0
11/03/2024 00:00	1225.7	-11.2	-99.0	1205.5	-11.0	-99.0	1144.8	-10.4	-99.0	1089.5	-9.9	-99.0	1021.5	-9.3	-99.0	0.0	0.0	0.0	0.0	0.0	0.0	0.0
12/03/2024 00:00	1225.4	-7.3	-99.0	1205.2	-7.2	-99.0	1144.5	-6.7	-99.0	1089.2	-6.2	-99.0	1021.2	-5.7	-99.0	0.0	0.0	0.0	0.0	0.0	0.0	0.0
13/03/2024 00:00	1225.5	-1.9	-99.0	1205.3	-1.8	-99.0	1144.6	-1.5	-99.0	1089.3	-1.2	-99.0	1021.2	-1.0	-99.0	0.0	0.0	0.0	0.0	0.0	0.0	0.0
14/03/2024 00:00	1225.3	-2.7	-99.0	1205.1	-2.5	-99.0	1144.5	-2.1	-99.0	1089.1	-1.6	-99.0	1021.1	-1.2	-99.0	0.0	0.0	0.0	0.0	0.0	0.0	0.0
15/03/2024 00:00	1225.0	-3.8	-99.0	1204.8	-3.6	-99.0	1144.2	-3.0	-99.0	1088.8	-2.4	-99.0	1018.7	-1.8	-99.0	0.0	0.0	0.0	0.0	0.0	0.0	0.0
16/03/2024 00:00	1222.8	-3.0	-99.0	1202.4	-2.8	-99.0	1141.8	-2.3	-99.0	1086.4	-1.7	-99.0	1016.3	-1.2	-99.0	0.0	0.0	0.0	0.0	0.0	0.0	0.0
17/03/2024 00:00	1220.4	-0.6	-99.0	1200.1	-0.5	-99.0	1139.4	-0.1	-99.0	1084.1	0.4	-99.0	1013.4	0.8	-99.0	0.0	0.0	0.0	0.0	0.0	0.0	0.0

18/03/2024 00:00	1218.1	-2.0	-99.0	1197.7	-1.9	-99.0	1137.0	-1.5	-99.0	1081.7	-1.1	-99.0	1011.0	-0.8	-99.0	0.0	0.0	0.0	0.0	0.0	0.0
0.0	-99.0																				
19/03/2024 00:00	1215.7	-0.9	-99.0	1195.3	-0.7	-99.0	1134.7	-0.2	-99.0	1079.3	0.4	-99.0	1007.8	0.9	-99.0	0.0	0.0	0.0	0.0	0.0	0.0
0.0	-99.0																				
20/03/2024 00:00	1213.3	-0.8	-99.0	1192.9	-0.6	-99.0	1132.3	-0.1	-99.0	1076.9	0.5	-99.0	1004.1	1.0	-99.0	0.0	0.0	0.0	0.0	0.0	0.0
0.0	-99.0																				
21/03/2024 00:00	1210.9	0.2	-99.0	1190.6	0.4	-99.0	1129.2	0.8	-99.0	1072.0	1.4	-99.0	997.5	1.8	-99.0	0.0	0.0	0.0	0.0	0.0	0.0
-99.0																					
22/03/2024 00:00	1206.0	1.4	-99.0	1184.9	1.6	-99.0	1121.6	2.1	-99.0	1062.4	2.7	-99.0	985.9	3.2	-99.0	0.0	0.0	0.0	0.0	0.0	0.0
-99.0																					
23/03/2024 00:00	1203.9	-0.5	-99.0	1182.9	-0.3	-99.0	1119.5	0.2	-99.0	1060.0	0.7	-99.0	981.5	1.2	-99.0	0.0	0.0	0.0	0.0	0.0	0.0
-99.0																					
24/03/2024 00:00	1203.8	-2.6	-99.0	1182.7	-2.4	-99.0	1119.3	-2.0	-99.0	1059.9	-1.5	-99.0	981.3	-1.1	-99.0	0.0	0.0	0.0	0.0	0.0	0.0
0.0	-99.0																				
25/03/2024 00:00	1221.5	-5.3	-99.0	1200.3	-5.2	-99.0	1136.5	-4.8	-99.0	1076.7	-4.4	-99.0	997.7	-4.1	-99.0	0.0	0.0	0.0	0.0	0.0	0.0
0.0	-99.0																				
26/03/2024 00:00	1251.5	-9.2	-99.0	1230.0	-9.0	-99.0	1165.5	-8.6	-99.0	1104.9	-8.2	-99.0	1025.1	-7.8	-99.0	0.0	0.0	0.0	0.0	0.0	0.0
0.0	-99.0																				
27/03/2024 00:00	1263.8	-12.1	-99.0	1242.2	-12.0	-99.0	1177.4	-11.5	-99.0	1116.6	-10.9	-99.0	1036.5	-10.4	-99.0	0.0	0.0	0.0	0.0	0.0	0.0
0.0	-99.0																				
28/03/2024 00:00	1284.8	-7.7	-99.0	1263.0	-7.5	-99.0	1197.5	-6.9	-99.0	1136.1	-6.3	-99.0	1055.3	-5.7	-99.0	0.0	0.0	0.0	0.0	0.0	0.0
0.0	-99.0																				
29/03/2024 00:00	1357.1	-5.3	-99.0	1334.5	-5.1	-99.0	1267.0	-4.6	-99.0	1203.5	-4.1	-99.0	1120.4	-3.7	-99.0	0.0	0.0	0.0	0.0	0.0	0.0
0.0	-99.0																				
30/03/2024 00:00	1364.2	-9.0	-99.0	1341.5	-8.8	-99.0	1273.8	-8.3	-99.0	1210.1	-7.8	-99.0	1126.9	-7.2	-99.0	0.0	0.0	0.0	0.0	0.0	0.0
0.0	-99.0																				
31/03/2024 00:00	1392.3	-9.1	-99.0	1369.4	-8.9	-99.0	1301.0	-8.5	-99.0	1236.6	-8.0	-99.0	1152.7	-7.6	-99.0	0.0	0.0	0.0	0.0	0.0	0.0
0.0	-99.0																				
01/04/2024 00:00	1394.6	-10.8	-99.0	1371.7	-10.6	-99.0	1303.1	-10.2	-99.0	1238.7	-9.8	-99.0	1154.6	-9.4	-99.0	0.0	0.0	0.0	0.0	0.0	0.0
0.0	-99.0																				
02/04/2024 00:00	1398.5	-8.5	-99.0	1375.6	-8.3	-99.0	1307.0	-7.8	-99.0	1242.5	-7.3	-99.0	1158.4	-6.8	-99.0	0.0	0.0	0.0	0.0	0.0	0.0
0.0	-99.0																				
03/04/2024 00:00	1398.5	-5.3	-99.0	1375.6	-5.1	-99.0	1307.0	-4.6	-99.0	1242.5	-4.1	-99.0	1158.3	-3.5	-99.0	0.0	0.0	0.0	0.0	0.0	0.0
0.0	-99.0																				
04/04/2024 00:00	1398.2	-2.4	-99.0	1375.3	-2.2	-99.0	1306.7	-1.7	-99.0	1242.2	-1.2	-99.0	1158.0	-0.6	-99.0	0.0	0.0	0.0	0.0	0.0	0.0
0.0	-99.0																				
05/04/2024 00:00	1398.0	-0.5	-99.0	1375.1	-0.3	-99.0	1306.4	0.2	-99.0	1241.9	0.8	-99.0	1157.7	1.4	-99.0	0.0	0.0	0.0	0.0	0.0	0.0
0.0	-99.0																				
06/04/2024 00:00	1400.1	1.6	-99.0	1376.5	1.9	-99.0	1306.2	2.5	-99.0	1241.6	3.1	-99.0	1157.4	3.8	-99.0	0.0	0.0	0.0	0.0	0.0	0.0
0.0	-99.0																				
07/04/2024 00:00	1399.9	1.1	-99.0	1376.3	1.3	-99.0	1306.0	1.9	-99.0	1241.3	2.6	-99.0	1157.1	3.3	-99.0	0.0	0.0	0.0	0.0	0.0	0.0
0.0	-99.0																				
08/04/2024 00:00	1403.5	-1.3	-99.0	1379.7	-1.1	-99.0	1308.7	-0.5	-99.0	1243.4	0.1	-99.0	1158.6	0.7	-99.0	0.0	0.0	0.0	0.0	0.0	0.0
0.0	-99.0																				
09/04/2024 00:00	1412.7	-10.7	-99.0	1388.8	-10.5	-99.0	1317.8	-10.0	-99.0	1252.3	-9.4	-99.0	1167.4	-8.8	-99.0	0.0	0.0	0.0	0.0	0.0	0.0
0.0	-99.0																				
10/04/2024 00:00	1415.1	-8.8	-99.0	1391.3	-8.6	-99.0	1320.2	-8.0	-99.0	1254.8	-7.4	-99.0	1169.8	-6.7	-99.0	0.0	0.0	0.0	0.0	0.0	0.0
0.0	-99.0																				
11/04/2024 00:00	1416.1	-3.2	-99.0	1392.2	-3.0	-99.0	1321.2	-2.4	-99.0	1255.7	-1.8	-99.0	1170.6	-1.1	-99.0	0.0	0.0	0.0	0.0	0.0	0.0
0.0	-99.0																				
12/04/2024 00:00	1415.8	2.1	-99.0	1392.0	2.2	-99.0	1320.9	2.8	-99.0	1255.4	3.3	-99.0	1170.3	3.9	-99.0	0.0	0.0	0.0	0.0	0.0	0.0
0.0	-99.0																				
13/04/2024 00:00	1415.5	4.7	-99.0	1391.7	4.9	-99.0	1320.6	5.4	-99.0	1254.4	5.9	-99.0	1167.1	6.4	-99.0	0.0	0.0	0.0	0.0	0.0	0.0
0.0	-99.0																				
14/04/2024 00:00	1406.4	4.7	-99.0	1381.4	4.9	-99.0	1306.2	5.3	-99.0	1235.0	5.8	-99.0	1144.2	6.3	-99.0	0.0	0.0	0.0	0.0	0.0	0.0
0.0	-99.0																				
15/04/2024 00:00	1406.7	1.2	-99.0	1381.6	1.4	-99.0	1301.0	1.8	-99.0	1225.9	2.3	-99.0	1133.3	2.7	-99.0	0.0	0.0	0.0	0.0	0.0	0.0
0.0	-99.0																				
16/04/2024 00:00	1411.4	-3.6	-99.0	1386.3	-3.4	-99.0	1305.7	-2.8	-99.0	1230.5	-2.3	-99.0	1137.8	-1.8	-99.0	0.0	0.0	0.0	0.0	0.0	0.0
0.0	-99.0																				
17/04/2024 00:00	1412.8	-6.5	-99.0	1387.6	-6.3	-99.0	1307.0	-5.7	-99.0	1231.8	-5.2	-99.0	1139.1	-4.5	-99.0	0.0	0.0	0.0	0.0	0.0	0.0
0.0	-99.0																				
18/04/2024 00:00	1422.8	-10.9	-99.0	1397.6	-10.7	-99.0	1316.9	-10.1	-99.0	1241.6	-9.5	-99.0	1148.7	-9.0	-99.0	0.0	0.0	0.0	0.0	0.0	0.0
0.0	-99.0																				
19/04/2024 00:00	1422.5	-4.7	-99.0	1397.3	-4.5	-99.0	1316.6	-4.0	-99.0	1241.3	-3.4	-99.0	1148.4	-2.9	-99.0	0.0	0.0	0.0	0.0	0.0	0.0
0.0	-99.0																				
20/04/2024 00:00	1422.2	-4.3	-99.0	1397.0	-4.1	-99.0	1316.3	-3.6	-99.0	1241.0	-3.0	-99.0	1148.1	-2.4	-99.0	0.0	0.0	0.0	0.0	0.0	0.0
0.0	-99.0																				
21/04/2024 00:00	1422.0	-5.6	-99.0	1396.8	-5.4	-															

24/04/2024 00:00	1439.7	-11.4	-99.0	1414.4	-11.2	-99.0	1333.5	-10.6	-99.0	1257.9	-10.0	-99.0	1164.9	-9.3	-99.0	0.0	0.0	0.0	0.0	0.0	0.0
0.0	-99.0																				
25/04/2024 00:00	1448.1	-7.5	-99.0	1422.8	-7.3	-99.0	1341.7	-6.8	-99.0	1265.9	-6.3	-99.0	1172.7	-5.8	-99.0	0.0	0.0	0.0	0.0	0.0	0.0
0.0	-99.0																				
26/04/2024 00:00	1457.9	-7.6	-99.0	1432.5	-7.4	-99.0	1351.2	-6.9	-99.0	1275.1	-6.4	-99.0	1181.7	-5.8	-99.0	0.0	0.0	0.0	0.0	0.0	0.0
0.0	-99.0																				
27/04/2024 00:00	1544.2	-6.7	-99.0	1517.8	-6.6	-99.0	1433.9	-6.1	-99.0	1355.3	-5.6	-99.0	1259.0	-5.1	-99.0	0.0	0.0	0.0	0.0	0.0	0.0
0.0	-99.0																				
28/04/2024 00:00	1546.7	-6.7	-99.0	1520.3	-6.5	-99.0	1436.3	-6.1	-99.0	1357.7	-5.6	-99.0	1261.3	-5.1	-99.0	0.0	0.0	0.0	0.0	0.0	0.0
0.0	-99.0																				
29/04/2024 00:00	1566.9	-5.4	-99.0	1540.3	-5.2	-99.0	1455.6	-4.8	-99.0	1376.4	-4.4	-99.0	1279.3	-4.0	-99.0	0.0	0.0	0.0	0.0	0.0	0.0
0.0	-99.0																				
30/04/2024 00:00	1585.1	-3.9	-99.0	1558.3	-3.8	-99.0	1473.2	-3.4	-99.0	1393.5	-3.0	-99.0	1295.9	-2.6	-99.0	0.0	0.0	0.0	0.0	0.0	0.0
0.0	-99.0																				
01/05/2024 00:00	1615.0	-5.2	-99.0	1588.0	-5.1	-99.0	1502.4	-4.8	-99.0	1422.3	-4.4	-99.0	1324.2	-4.2	-99.0	0.0	0.0	0.0	0.0	0.0	0.0
0.0	-99.0																				
02/05/2024 00:00	1615.2	-7.1	-99.0	1588.3	-7.0	-99.0	1502.7	-6.6	-99.0	1422.5	-6.1	-99.0	1324.4	-5.7	-99.0	0.0	0.0	0.0	0.0	0.0	0.0
0.0	-99.0																				
03/05/2024 00:00	1614.9	-6.3	-99.0	1588.0	-6.1	-99.0	1502.4	-5.6	-99.0	1422.2	-5.1	-99.0	1324.1	-4.5	-99.0	0.0	0.0	0.0	0.0	0.0	0.0
0.0	-99.0																				
04/05/2024 00:00	1615.4	-2.5	-99.0	1588.4	-2.3	-99.0	1502.8	-1.8	-99.0	1422.6	-1.2	-99.0	1324.4	-0.6	-99.0	0.0	0.0	0.0	0.0	0.0	0.0
0.0	-99.0																				
05/05/2024 00:00	1631.2	-2.0	-99.0	1604.1	-1.8	-99.0	1517.2	-1.3	-99.0	1434.5	-0.7	-99.0	1334.0	-0.2	-99.0	0.0	0.0	0.0	0.0	0.0	0.0
0.0	-99.0																				
06/05/2024 00:00	1633.8	-4.9	-99.0	1606.6	-4.7	-99.0	1519.7	-4.2	-99.0	1436.9	-3.6	-99.0	1336.3	-3.1	-99.0	0.0	0.0	0.0	0.0	0.0	0.0
0.0	-99.0																				
07/05/2024 00:00	1664.8	-7.1	-99.0	1637.5	-7.0	-99.0	1550.2	-6.4	-99.0	1467.0	-5.9	-99.0	1365.9	-5.3	-99.0	0.0	0.0	0.0	0.0	0.0	0.0
0.0	-99.0																				
08/05/2024 00:00	1672.9	-4.2	-99.0	1645.6	-4.0	-99.0	1558.2	-3.5	-99.0	1474.8	-2.9	-99.0	1373.7	-2.3	-99.0	0.0	0.0	0.0	0.0	0.0	0.0
0.0	-99.0																				
09/05/2024 00:00	1672.6	0.7	-99.0	1645.3	0.9	-99.0	1557.9	1.4	-99.0	1474.5	1.9	-99.0	1373.4	2.5	-99.0	0.0	0.0	0.0	0.0	0.0	0.0
0.0	-99.0																				
10/05/2024 00:00	1672.3	1.5	-99.0	1645.0	1.7	-99.0	1557.6	2.2	-99.0	1474.2	2.7	-99.0	1373.1	3.3	-99.0	0.0	0.0	0.0	0.0	0.0	0.0
0.0	-99.0																				
11/05/2024 00:00	1672.0	3.0	-99.0	1644.7	3.2	-99.0	1557.3	3.7	-99.0	1473.9	4.3	-99.0	1372.8	4.8	-99.0	0.0	0.0	0.0	0.0	0.0	0.0
0.0	-99.0																				
12/05/2024 00:00	1671.7	1.1	-99.0	1644.4	1.3	-99.0	1557.0	1.8	-99.0	1473.6	2.3	-99.0	1372.2	2.9	-99.0	0.0	0.0	0.0	0.0	0.0	0.0
0.0	-99.0																				
13/05/2024 00:00	1672.7	-0.4	-99.0	1645.3	-0.2	-99.0	1557.6	0.3	-99.0	1474.0	0.8	-99.0	1372.3	1.3	-99.0	0.0	0.0	0.0	0.0	0.0	0.0
0.0	-99.0																				
14/05/2024 00:00	1751.1	-3.3	-99.0	1723.1	-3.2	-99.0	1633.6	-2.8	-99.0	1548.2	-2.3	-99.0	1444.6	-2.0	-99.0	0.0	0.0	0.0	0.0	0.0	0.0
0.0	-99.0																				
15/05/2024 00:00	1755.0	-6.5	-99.0	1726.9	-6.3	-99.0	1637.3	-5.7	-99.0	1551.8	-5.1	-99.0	1448.1	-4.6	-99.0	0.0	0.0	0.0	0.0	0.0	0.0
0.0	-99.0																				
16/05/2024 00:00	1765.7	-7.8	-99.0	1737.6	-7.6	-99.0	1647.9	-7.1	-99.0	1562.2	-6.5	-99.0	1458.3	-6.0	-99.0	0.0	0.0	0.0	0.0	0.0	0.0
0.0	-99.0																				
17/05/2024 00:00	1777.4	-6.2	-99.0	1749.2	-6.0	-99.0	1659.2	-5.5	-99.0	1573.3	-4.9	-99.0	1469.1	-4.3	-99.0	0.0	0.0	0.0	0.0	0.0	0.0
0.0	-99.0																				
18/05/2024 00:00	1780.9	-3.7	-99.0	1752.7	-3.6	-99.0	1662.5	-3.0	-99.0	1576.4	-2.4	-99.0	1472.1	-1.9	-99.0	0.0	0.0	0.0	0.0	0.0	0.0
0.0	-99.0																				
19/05/2024 00:00	1819.1	-5.2	-99.0	1790.4	-5.0	-99.0	1699.3	-4.5	-99.0	1612.3	-3.9	-99.0	1506.9	-3.3	-99.0	0.0	0.0	0.0	0.0	0.0	0.0
0.0	-99.0																				
20/05/2024 00:00	1820.8	-7.2	-99.0	1792.2	-7.0	-99.0	1701.0	-6.5	-99.0	1614.0	-5.9	-99.0	1508.6	-5.3	-99.0	0.0	0.0	0.0	0.0	0.0	0.0
0.0	-99.0																				
21/05/2024 00:00	1820.5	-4.3	-99.0	1791.9	-4.1	-99.0	1700.7	-3.6	-99.0	1613.7	-3.1	-99.0	1508.3	-2.5	-99.0	0.0	0.0	0.0	0.0	0.0	0.0
0.0	-99.0																				
22/05/2024 00:00	1821.3	-4.0	-99.0	1792.7	-3.8	-99.0	1701.5	-3.2	-99.0	1614.4	-2.7	-99.0	1509.0	-2.1	-99.0	0.0	0.0	0.0	0.0	0.0	0.0
0.0	-99.0																				
23/05/2024 00:00	1822.1	-3.6	-99.0	1793.5	-3.4	-99.0	1702.3	-2.9	-99.0	1615.2	-2.3	-99.0	1509.8	-1.7	-99.0	0.0	0.0	0.0	0.0	0.0	0.0
0.0	-99.0																				
24/05/2024 00:00	1826.8	-3.2	-99.0	1798.1	-3.0	-99.0	1706.8	-2.5	-99.0	1619.6	-1.9	-99.0	1514.0	-1.4	-99.0	0.0	0.0	0.0	0.0	0.0	0.0
0.0	-99.0																				
25/05/2024 00:00	1826.5	-0.3	-99.0	1797.8	-0.1	-99.0	1706.5	0.4	-99.0	1619.3	1.0	-99.0	1511.9	1.5	-99.0	0.0	0.0	0.0	0.0	0.0	0.0
0.0	-99.0																				
26/05/2024 00:00	1826.2	-0.2	-99.0	1797.5	0.0	-99.0	1706.2	0.5	-99.0	1619.0	1.1	-99.0	1505.3	1.6	-99.0	0.0	0.0	0.0	0.0	0.0	0.0
0.0	-99.0																				
27/05/2024 00:00	1826.1	0.8	-99.0	1797.4	1.0	-99.0	1700.1	1.5	-99.0	1610.0	2.1	-99.0	1493.3	2.6	-99.0	0.0	0.0	0.0	0.0	0.0	0.0
0.0	-99.0																				
28/05/2024 00:00	1813.4	2.8	-99.0	1783.7</td																	

31/05/2024 00:00	1787.8	-2.7	-99.0	1756.1	-2.5	-99.0	1650.7	-2.0	-99.0	1552.1	-1.5	-99.0	1426.7	-1.1	-99.0	0.0	0.0	0.0	0.0	0.0	0.0
0.0	-99.0																				
01/06/2024 00:00	1790.0	-4.3	-99.0	1758.3	-4.1	-99.0	1652.9	-3.6	-99.0	1554.2	-3.0	-99.0	1428.9	-2.3	-99.0	0.0	0.0	0.0	0.0	0.0	0.0
0.0	-99.0																				
02/06/2024 00:00	1791.3	-3.2	-99.0	1759.7	-2.9	-99.0	1654.2	-2.3	-99.0	1555.6	-1.7	-99.0	1430.0	-1.1	-99.0	0.0	0.0	0.0	0.0	0.0	0.0
0.0	-99.0																				
03/06/2024 00:00	1793.9	-0.1	-99.0	1762.1	0.0	-99.0	1656.1	0.4	-99.0	1556.9	0.9	-99.0	1430.9	1.3	-99.0	0.0	0.0	0.0	0.0	0.0	0.0
0.0	-99.0																				
04/06/2024 00:00	1793.6	1.7	-99.0	1761.8	1.9	-99.0	1653.7	2.5	-99.0	1545.3	3.2	-99.0	1412.6	3.8	-99.0	0.0	0.0	0.0	0.0	0.0	0.0
0.0	-99.0																				
05/06/2024 00:00	1774.3	4.0	-99.0	1741.4	4.2	-99.0	1630.4	4.8	-99.0	1519.0	5.3	-99.0	1383.2	5.9	-99.0	0.0	0.0	0.0	0.0	0.0	0.0
0.0	-99.0																				
06/06/2024 00:00	1744.0	6.1	-99.0	1710.0	6.3	-99.0	1595.7	6.9	-99.0	1481.0	7.5	-99.0	1341.6	8.2	-99.0	0.0	0.0	0.0	0.0	0.0	0.0
0.0	-99.0																				

---- DATOS MENSUALES

	Temp	Prec.	NievePre	NieveAc	Evap.	ApCalc	ApObs
	(°C)	(mm)	(mm)	(mm)	(hm ³)	(hm ³)	
oct23	1.0	343.3	285.6	81.9	12.0	0.0010	0.0000
nov23	-4.4	310.5	310.1	415.4	0.7	0.0008	0.0000
dic23	-6.0	181.4	181.4	692.9	0.0	0.0006	0.0000
ene24	-6.2	149.4	149.3	821.9	0.6	0.0005	0.0000
feb24	-6.3	175.0	175.0	909.8	0.0	0.0005	0.0000
mar24	-6.4	362.8	362.7	1178.4	0.3	0.0005	0.0000
abr24	-4.7	217.7	206.6	1392.1	3.6	0.0023	0.0000
may24	-2.4	248.1	246.4	1686.5	3.9	0.0026	0.0000
jun24	1.0	8.4	6.7	1721.3	3.6	0.0015	0.0000
TOTAL:	-3.8	1996.6	1923.9		24.7	0.0103	ND

[Datos Numéricos]

Fecha	Temp	Precipitación	NievePrecipitada	NieveAc	Evap	Fusión	Qcalc	Qobs	ApCInst	ApObInst	ApMixInst	ApCcAc	ApObAc	ApObMixAc	ApExt	IncDepSup	IncDepInf	DepSup	DepInf	Transf	Esc.Directa	Ret.Vegetal	LluviaInfil	Esc.Superfic	Esc.Retrasada	VacLento				
dd/mm/aaaa	hh:nn	°C	mm	hm ³	mm	hm ³	mm	hm ³	m ³ /s	m ³ /s	hm ³																			
01/10/2023	00:00	9.2	0.000	0.000	0.000	0.000	0.000	0.000	2.53	0.000	0.0000	ND	0.0000	ND	0.0000	0.0000	0.0000	0.00	0.00	0.00	0.00	0.00	0.00	0.00	0.00	0.00	0.00	0.00		
0.00	0.00	0.00	0.00	0.00	0.00	0.00	0.00	0.00																						
02/10/2023	00:00	8.0	0.000	0.000	0.000	0.000	0.000	0.000	2.07	0.000	0.0000	ND	0.0000	ND	0.0000	0.0000	0.0000	0.00	0.00	0.00	0.00	0.00	0.00	0.00	0.00	0.00	0.00	0.00	0.00	
0.00	0.00	0.00	0.00	0.00	0.00	0.00	0.00	0.00																						
03/10/2023	00:00	6.6	0.000	0.000	0.000	0.000	0.000	0.000	1.58	0.000	0.0001	ND	0.0000	ND	0.0000	0.0000	0.0000	0.00	0.00	0.00	0.00	0.00	0.00	0.00	0.00	0.00	0.00	0.00	0.00	
0.00	0.00	0.00	0.00	0.00	0.00	0.00	0.00	0.00																						
04/10/2023	00:00	4.9	0.000	0.000	0.000	0.000	0.000	0.000	1.02	0.000	0.0001	ND	0.0000	ND	0.0000	0.0000	0.0000	0.00	0.00	0.00	0.00	0.00	0.00	0.00	0.00	0.00	0.00	0.00	0.00	
0.00	0.00	0.00	0.00	0.00	0.00	0.00	0.00	0.00																						
05/10/2023	00:00	5.8	0.000	0.000	0.000	0.000	0.000	0.000	1.30	0.000	0.0002	ND	0.0000	ND	0.0000	0.0000	0.0000	0.00	0.00	0.00	0.00	0.00	0.00	0.00	0.00	0.00	0.00	0.00	0.00	
0.00	0.00	0.00	0.00	0.00	0.00	0.00	0.00	0.00																						
06/10/2023	00:00	6.2	0.000	0.000	0.000	0.000	0.000	0.000	1.32	0.000	0.0002	ND	0.0000	ND	0.0000	0.0001	0.0000	0.00	0.00	0.00	0.00	0.00	0.00	0.00	0.00	0.00	0.00	0.00	0.00	
0.00	0.00	0.00	0.00	0.00	0.00	0.00	0.00	0.00																						
07/10/2023	00:00	6.9	0.000	0.000	0.000	0.000	0.000	0.000	0.97	0.000	0.0002	ND	0.0000	ND	0.0000	0.0001	0.0000	0.00010	0.00	0.00	0.00	0.00	0.00	0.00	0.00	0.00	0.00	0.00	0.00	
0.00	0.00	0.00	0.00	0.00	0.00	0.00	0.00	0.00																						
08/10/2023	00:00	6.5	0.000	0.000	0.000	0.000	0.000	0.000	0.25	0.000	0.0003	ND	0.0000	ND	0.0000	0.0001	0.0000	0.00010	0.00	0.00	0.00	0.00	0.00	0.00	0.00	0.00	0.00	0.00	0.00	
0.00	0.00	0.00	0.00	0.00	0.00	0.00	0.00	0.00																						
09/10/2023	00:00	5.9	0.000	0.000	0.000	0.000	0.000	0.000	0.11	0.000	0.0003	ND	0.0000	ND	0.0000	0.0001	0.0000	0.00010	0.00	0.00	0.00	0.00	0.00	0.00	0.00	0.00	0.00	0.00	0.00	
0.00	0.00	0.00	0.00	0.00	0.00	0.00	0.00	0.00																						
10/10/2023	00:00	5.0	0.000	0.000	0.000	0.000	0.000	0.000	0.08	0.000	0.0003	ND	0.0000	ND	0.0000	0.0002	0.0000	0.00010	0.00	0.00	0.00	0.00	0.00	0.00	0.00	0.00	0.00	0.00	0.00	
0.00	0.00	0.00	0.00	0.00	0.00	0.00	0.00	0.00																						
11/10/2023	00:00	3.9	0.000	0.000	0.000	0.000	0.000	0.000	0.06	0.000	0.0004	ND	0.0000	ND	0.0000	0.0002	0.0000	0.00020	0.00	0.00	0.00	0.00	0.00	0.00	0.00	0.00	0.00	0.00	0.00	
0.00	0.00	0.00	0.00	0.00	0.00	0.00	0.00	0.00																						
12/10/2023	00:00	3.6	0.000	0.000	0.000	0.000	0.000	0.000	0.05	0.000	0.0004	ND	0.0000	ND	0.0000	0.0002	0.0000	0.00020	0.00	0.00	0.00	0.00	0.00	0.00	0.00	0.00	0.00	0.00	0.00	
0.00	0.00	0.00	0.00	0.00	0.00	0.00	0.00	0.00																						
13/10/2023	00:00	3.6	0.000	0.000	0.000	0.000	0.000	0.000	0.05	0.000	0.0004	ND	0.0000	ND	0.0000	0.0003	0.0000	0.00020	0.00	0.00	0.00	0.00	0.00	0.00	0.00	0.00	0.00	0.00	0.00	
0.00	0.00	0.00	0																											

18/10/2023 00:00	1.2	27.175	0.007	9.292	0.003	0.00	0.14	0.001	0.0005	ND	0.0000	ND	0.0000	0.0005	ND	0.00050.00	0.01	0.00	0.01	0.00	0.00	0.00	
0.00	0.00	0.00	0.00	0.00	0.00																		
19/10/2023 00:00	-0.7	118.344	0.033	95.126	0.026	0.03	0.00	0.000	0.0005	ND	0.0000	ND	0.0000	0.0005	ND	0.00050.00	0.01	0.00	0.01	0.00	0.00	0.00	
0.00	0.00	0.00	0.00	0.00	0.00																		
20/10/2023 00:00	-3.9	7.546	0.002	7.546	0.002	0.03	0.00	0.000	0.0005	ND	0.0000	ND	0.0000	0.0006	ND	0.00050.00	0.00	0.00	0.01	0.00	0.00	0.00	
0.00	0.00	0.00	0.00	0.00	0.00																		
21/10/2023 00:00	-6.0	0.000	0.000	0.000	0.000	0.03	0.00	0.000	0.0005	ND	0.0000	ND	0.0000	0.0006	ND	0.00060.00	0.00	0.00	0.01	0.00	0.00	0.00	
0.00	0.00	0.00	0.00	0.00	0.00																		
22/10/2023 00:00	-5.8	0.094	0.000	0.094	0.000	0.03	0.00	0.000	0.0005	ND	0.0000	ND	0.0000	0.0006	ND	0.00060.00	0.00	0.00	0.01	0.00	0.00	0.00	
0.00	0.00	0.00	0.00	0.00	0.00																		
23/10/2023 00:00	-2.3	66.523	0.018	66.121	0.018	0.05	0.00	0.000	0.0005	ND	0.0000	ND	0.0000	0.0007	ND	0.00070.00	0.00	0.00	0.01	0.00	0.00	0.00	
0.00	0.00	0.00	0.00	0.00	0.00																		
24/10/2023 00:00	-4.4	31.404	0.009	31.404	0.009	0.06	0.00	0.000	0.0005	ND	0.0000	ND	0.0000	0.0007	ND	0.00070.00	0.00	0.00	0.01	0.00	0.00	0.00	
0.00	0.00	0.00	0.00	0.00	0.00																		
25/10/2023 00:00	-2.3	0.509	0.000	0.508	0.000	0.06	0.00	0.000	0.0005	ND	0.0000	ND	0.0000	0.0008	ND	0.00080.00	0.00	0.00	0.01	0.00	0.00	0.00	
0.00	0.00	0.00	0.00	0.00	0.00																		
26/10/2023 00:00	-0.5	50.642	0.014	37.773	0.010	0.07	0.00	0.000	0.0005	ND	0.0000	ND	0.0000	0.0008	ND	0.00080.00	0.00	0.00	0.02	0.00	0.00	0.00	
0.00	0.00	0.00	0.00	0.00	0.00																		
27/10/2023 00:00	-5.8	0.326	0.000	0.326	0.000	0.07	0.00	0.000	0.0005	ND	0.0000	ND	0.0000	0.0009	ND	0.00080.00	0.00	0.00	0.02	0.00	0.00	0.00	
0.00	0.00	0.00	0.00	0.00	0.00																		
28/10/2023 00:00	-4.8	0.880	0.000	0.880	0.000	0.07	0.00	0.000	0.0005	ND	0.0000	ND	0.0000	0.0009	ND	0.00090.00	0.00	0.00	0.02	0.00	0.00	0.00	
0.00	0.00	0.00	0.00	0.00	0.00																		
29/10/2023 00:00	-2.6	3.378	0.001	3.366	0.001	0.07	0.00	0.000	0.0005	ND	0.0000	ND	0.0000	0.0009	ND	0.00090.00	0.00	0.00	0.02	0.00	0.00	0.00	
0.00	0.00	0.00	0.00	0.00	0.00																		
30/10/2023 00:00	-4.7	31.063	0.009	31.063	0.009	0.08	0.00	0.000	0.0005	ND	0.0000	ND	0.0000	0.0010	ND	0.00100.00	0.00	0.00	0.02	0.00	0.00	0.00	
0.00	0.00	0.00	0.00	0.00	0.00																		
31/10/2023 00:00	-6.0	0.000	0.000	0.000	0.000	0.08	0.00	0.000	0.0005	ND	0.0000	ND	0.0000	0.0010	ND	0.00100.00	0.00	0.00	0.02	0.00	0.00	0.00	
0.00	0.00	0.00	0.00	0.00	0.00																		
01/11/2023 00:00	-4.9	8.058	0.002	8.058	0.002	0.08	0.00	0.000	0.0004	ND	0.0000	ND	0.0000	0.0010	ND	0.00100.00	0.00	0.00	0.02	0.00	0.00	0.00	
0.00	0.00	0.00	0.00	0.00	0.00																		
02/11/2023 00:00	-5.4	68.295	0.019	68.295	0.019	0.10	0.00	0.000	0.0004	ND	0.0000	ND	0.0000	0.0011	ND	0.00110.00	0.00	0.00	0.02	0.00	0.00	0.00	
0.00	0.00	0.00	0.00	0.00	0.00																		
03/11/2023 00:00	-10.5	1.341	0.000	1.341	0.000	0.10	0.00	0.000	0.0004	ND	0.0000	ND	0.0000	0.0011	ND	0.00110.00	0.00	0.00	0.02	0.00	0.00	0.00	
0.00	0.00	0.00	0.00	0.00	0.00																		
04/11/2023 00:00	-5.5	27.411	0.008	27.411	0.008	0.10	0.00	0.000	0.0004	ND	0.0000	ND	0.0000	0.0012	ND	0.00110.00	0.00	0.00	0.02	0.00	0.00	0.00	
0.00	0.00	0.00	0.00	0.00	0.00																		
05/11/2023 00:00	-7.7	0.463	0.000	0.463	0.000	0.10	0.00	0.000	0.0004	ND	0.0000	ND	0.0000	0.0012	ND	0.00120.00	0.00	0.00	0.02	0.00	0.00	0.00	
0.00	0.00	0.00	0.00	0.00	0.00																		
06/11/2023 00:00	-8.4	0.000	0.000	0.000	0.000	0.10	0.00	0.000	0.0004	ND	0.0000	ND	0.0000	0.0012	ND	0.00120.00	0.00	0.00	0.02	0.00	0.00	0.00	
0.00	0.00	0.00	0.00	0.00	0.00																		
07/11/2023 00:00	-10.4	0.000	0.000	0.000	0.000	0.10	0.00	0.000	0.0004	ND	0.0000	ND	0.0000	0.0013	ND	0.00130.00	0.00	0.00	0.02	0.00	0.00	0.00	
0.00	0.00	0.00	0.00	0.00	0.00																		
08/11/2023 00:00	-7.3	0.000	0.000	0.000	0.000	0.10	0.00	0.000	0.0004	ND	0.0000	ND	0.0000	0.0013	ND	0.00130.00	0.00	0.00	0.02	0.00	0.00	0.00	
0.00	0.00	0.00	0.00	0.00	0.00																		
09/11/2023 00:00	-5.8	11.615	0.003	11.615	0.003	0.11	0.00	0.000	0.0004	ND	0.0000	ND	0.0000	0.0013	ND	0.00130.00	0.00	0.00	0.02	0.00	0.00	0.00	
0.00	0.00	0.00	0.00	0.00	0.00																		
10/11/2023 00:00	-6.7	0.555	0.000	0.555	0.000	0.11	0.00	0.000	0.0004	ND	0.0000	ND	0.0000	0.0014	ND	0.00130.00	0.00	0.00	0.02	0.00	0.00	0.00	
0.00	0.00	0.00	0.00	0.00	0.00																		
11/11/2023 00:00	-2.4	1.525	0.000	1.522	0.000	0.11	0.00	0.000	0.0003	ND	0.0000	ND	0.0000	0.0014	ND	0.00140.00	0.00	0.00	0.02	0.00	0.00	0.00	
0.00	0.00	0.00	0.00	0.00	0.00																		
12/11/2023 00:00	-1.4	0.277	0.000	0.260	0.000	0.11	0.00	0.000	0.0003	ND	0.0000	ND	0.0000	0.0014	ND	0.00140.00	0.00	0.00	0.02	0.00	0.00	0.00	
0.00	0.00	0.00	0.00	0.00	0.00																		
13/11/2023 00:00	0.0	0.000	0.000	0.000	0.000	0.11	0.01	0.000	0.0003	ND	0.0000	ND	0.0000	0.0014	ND	0.00140.00	0.00	0.00	0.02	0.00	0.00	0.00	
0.00	0.00	0.00	0.00	0.00	0.00																		
14/11/2023 00:00	1.7	0.000	0.000	0.000	0.000	0.11	0.19	0.000	0.0003	ND	0.0000	ND	0.0000	0.0015	ND	0.00150.00	0.00	0.00	0.02	0.00	0.00	0.00	
0.00	0.00	0.00	0.00	0.00	0.00																		
15/11/2023 00:00	0.1	0.000	0.000	0.000	0.000	0.11	0.02	0.000	0.0003	ND	0.0000	ND	0.0000	0.0015	ND	0.00150.00	0.00	0.00	0.02	0.00	0.00	0.00	
0.00	0.00	0.00	0.00	0.00	0.00																		
16/11/2023 00:00	0.0	0.416	0.000	0.264	0.000	0.11	0.01	0.000	0.0003	ND	0.0000	ND	0.0000	0.0015	ND	0.00150.00	0.00	0.00	0.02	0.00	0.00	0.00	
0.00	0.00	0.00	0.00	0.00	0.00																		
17/11/2023 00:00	0.3	0.277	0.000	0.153	0.000	0.11	0.03	0.000	0.0003	ND	0.0000	ND	0.0000	0.0015	ND	0.00150.00	0.00	0.00	0.02	0.00	0.00	0.00	
0.00	0.00	0.00	0.00	0																			

06/02/2024 00:00	-3.7	0.000	0.000	0.000	0.000	0.24	0.00	0.000	0.0002	ND	0.0000	ND	0.0000	0.0030	ND	0.002900	0.00	0.00	0.02	0.00	0.00	0.00
07/02/2024 00:00	-5.5	0.000	0.000	0.000	0.000	0.24	0.00	0.000	0.0002	ND	0.0000	ND	0.0000	0.0030	ND	0.003000	0.00	0.00	0.02	0.00	0.00	0.00
08/02/2024 00:00	-5.8	4.447	0.001	4.447	0.001	0.24	0.00	0.000	0.0002	ND	0.0000	ND	0.0000	0.0030	ND	0.003000	0.00	0.00	0.02	0.00	0.00	0.00
09/02/2024 00:00	-7.4	7.792	0.002	7.792	0.002	0.24	0.00	0.000	0.0002	ND	0.0000	ND	0.0000	0.0030	ND	0.003000	0.00	0.00	0.02	0.00	0.00	0.00
10/02/2024 00:00	-9.9	24.563	0.007	24.563	0.007	0.25	0.00	0.000	0.0002	ND	0.0000	ND	0.0000	0.0030	ND	0.003000	0.00	0.00	0.02	0.00	0.00	0.00
11/02/2024 00:00	-11.5	0.555	0.000	0.555	0.000	0.25	0.00	0.000	0.0002	ND	0.0000	ND	0.0000	0.0031	ND	0.003100	0.00	0.00	0.02	0.00	0.00	0.00
12/02/2024 00:00	-9.6	1.941	0.001	1.941	0.001	0.25	0.00	0.000	0.0002	ND	0.0000	ND	0.0000	0.0031	ND	0.003100	0.00	0.00	0.02	0.00	0.00	0.00
13/02/2024 00:00	-4.6	0.000	0.000	0.000	0.000	0.25	0.00	0.000	0.0002	ND	0.0000	ND	0.0000	0.0031	ND	0.003100	0.00	0.00	0.02	0.00	0.00	0.00
14/02/2024 00:00	-0.5	0.000	0.000	0.000	0.000	0.25	0.00	0.000	0.0002	ND	0.0000	ND	0.0000	0.0031	ND	0.003100	0.00	0.00	0.02	0.00	0.00	0.00
15/02/2024 00:00	-0.4	0.000	0.000	0.000	0.000	0.25	0.00	0.000	0.0002	ND	0.0000	ND	0.0000	0.0031	ND	0.003100	0.00	0.00	0.02	0.00	0.00	0.00
16/02/2024 00:00	-6.4	38.906	0.011	38.906	0.011	0.26	0.00	0.000	0.0002	ND	0.0000	ND	0.0000	0.0032	ND	0.003200	0.00	0.00	0.02	0.00	0.00	0.00
17/02/2024 00:00	-5.4	0.000	0.000	0.000	0.000	0.26	0.00	0.000	0.0002	ND	0.0000	ND	0.0000	0.0032	ND	0.003200	0.00	0.00	0.02	0.00	0.00	0.00
18/02/2024 00:00	-2.3	0.139	0.000	0.138	0.000	0.26	0.00	0.000	0.0002	ND	0.0000	ND	0.0000	0.0032	ND	0.003200	0.00	0.00	0.02	0.00	0.00	0.00
19/02/2024 00:00	-5.1	4.021	0.001	4.021	0.001	0.26	0.00	0.000	0.0002	ND	0.0000	ND	0.0000	0.0032	ND	0.003200	0.00	0.00	0.02	0.00	0.00	0.00
20/02/2024 00:00	-5.0	0.277	0.000	0.277	0.000	0.26	0.00	0.000	0.0002	ND	0.0000	ND	0.0000	0.0032	ND	0.003200	0.00	0.00	0.02	0.00	0.00	0.00
21/02/2024 00:00	-3.7	0.000	0.000	0.000	0.000	0.26	0.00	0.000	0.0002	ND	0.0000	ND	0.0000	0.0033	ND	0.003200	0.00	0.00	0.02	0.00	0.00	0.00
22/02/2024 00:00	-5.2	5.606	0.002	5.606	0.002	0.26	0.00	0.000	0.0002	ND	0.0000	ND	0.0000	0.0033	ND	0.003300	0.00	0.00	0.02	0.00	0.00	0.00
23/02/2024 00:00	-12.9	3.334	0.001	3.334	0.001	0.26	0.00	0.000	0.0002	ND	0.0000	ND	0.0000	0.0033	ND	0.003300	0.00	0.00	0.02	0.00	0.00	0.00
24/02/2024 00:00	-13.4	2.681	0.001	2.681	0.001	0.26	0.00	0.000	0.0002	ND	0.0000	ND	0.0000	0.0033	ND	0.003300	0.00	0.00	0.02	0.00	0.00	0.00
25/02/2024 00:00	-10.9	10.788	0.003	10.788	0.003	0.26	0.00	0.000	0.0002	ND	0.0000	ND	0.0000	0.0033	ND	0.003300	0.00	0.00	0.02	0.00	0.00	0.00
26/02/2024 00:00	-10.3	13.782	0.004	13.782	0.004	0.27	0.00	0.000	0.0002	ND	0.0000	ND	0.0000	0.0033	ND	0.003300	0.00	0.00	0.02	0.00	0.00	0.00
27/02/2024 00:00	-11.8	40.952	0.011	40.952	0.011	0.28	0.00	0.000	0.0002	ND	0.0000	ND	0.0000	0.0034	ND	0.003300	0.00	0.00	0.02	0.00	0.00	0.00
28/02/2024 00:00	-12.1	6.794	0.002	6.794	0.002	0.28	0.00	0.000	0.0002	ND	0.0000	ND	0.0000	0.0034	ND	0.003400	0.00	0.00	0.02	0.00	0.00	0.00
29/02/2024 00:00	-7.9	8.319	0.002	8.319	0.002	0.28	0.00	0.000	0.0002	ND	0.0000	ND	0.0000	0.0034	ND	0.003400	0.00	0.00	0.02	0.00	0.00	0.00
01/03/2024 00:00	-10.6	4.992	0.001	4.992	0.001	0.28	0.00	0.000	0.0002	ND	0.0000	ND	0.0000	0.0034	ND	0.003400	0.00	0.00	0.02	0.00	0.00	0.00
02/03/2024 00:00	-10.1	48.269	0.013	48.269	0.013	0.30	0.00	0.000	0.0002	ND	0.0000	ND	0.0000	0.0034	ND	0.003400	0.00	0.00	0.02	0.00	0.00	0.00
03/03/2024 00:00	-14.3	26.222	0.007	26.222	0.007	0.30	0.00	0.000	0.0001	ND	0.0000	ND	0.0000	0.0034	ND	0.003400	0.00	0.00	0.02	0.00	0.00	0.00
04/03/2024 00:00	-12.7	0.555	0.000	0.555	0.000	0.30	0.00	0.000	0.0001	ND	0.0000	ND	0.0000	0.0034	ND	0.003400	0.00	0.00	0.02	0.00	0.00	0.00
05/03/2024 00:00	-11.3	0.416	0.000	0.416	0.000	0.30	0.00	0.000	0.0001	ND	0.0000	ND	0.0000	0.0034	ND	0.003400	0.00	0.00	0.02	0.00	0.00	0.00
06/03/2024 00:00	-9.7	0.139	0.000	0.139	0.000	0.30	0.00	0.000	0.0001	ND	0.0000	ND	0.0000	0.0035	ND	0.003400	0.00	0.00	0.02	0.00	0.00	0.00
07/03/2024 00:00	-8.6	0.971	0.000	0.971	0.000	0.30	0.00	0.000	0.0001	ND	0.0000	ND	0.0000	0.0035	ND	0.003500	0.00	0.00	0.02	0.00	0.00	0.00
08/03/2024 00:00	-10.6	32.567	0.009	32.567	0.009	0.31	0.00	0.000	0.0001	ND	0.0000	ND	0.0000	0.0035	ND	0.003500	0.00	0.00	0.02	0.00	0.00	0.00
09/03/2024 00:00	-11.0	50.362	0.014	50.362	0.014	0.33	0.00	0.000	0.0001	ND	0.0000	ND	0.0000	0.0035	ND	0.003500	0.00	0.00	0.02	0.00	0.00	0.00
10/03/2024 00:00	-12.0	2.173	0.001	2.173	0.001	0.33	0.00	0.000	0.0001	ND	0.0000	ND	0.0000	0.0035	ND	0.003500	0.00	0.00	0.02	0.00	0.00	0.00
11/03/2024 00:00	-10.9	7.257	0.002	7.257	0.002	0.33	0.00	0.000	0.0001	ND	0.0000	ND	0.0000	0.0035	ND	0.003500	0.00	0.00	0.02	0.00	0.00	0.00
12/03/2024 00:00	-7.1	0.000	0.000	0.000	0.000	0.33	0.00	0.000	0.0001	ND	0.0000	ND	0.0000	0.0035	ND	0.003500	0.00	0.00	0.02	0.00	0.00	0.00
13/03/2024 00:00	-1.8	0.416	0.000	0.412	0.000	0.33	0.00	0.000	0.0001	ND	0.0000	ND	0.0000	0.0035	ND	0.003500	0.00	0.00	0.02	0.00	0.00	0.00

14/03/2024 00:00	-2.4	0.139	0.000	0.138	0.000	0.33	0.00	0.000	0.0001	ND	0.0000	ND	0.0000	0.0035	ND	0.00350.00	0.00	0.00	0.02	0.00	0.00	0.00
15/03/2024 00:00	-3.5	0.000	0.000	0.000	0.000	0.33	0.00	0.000	0.0001	ND	0.0000	ND	0.0000	0.0035	ND	0.00350.00	0.00	0.00	0.02	0.00	0.00	0.00
16/03/2024 00:00	-2.7	0.000	0.000	0.000	0.000	0.33	0.00	0.000	0.0001	ND	0.0000	ND	0.0000	0.0036	ND	0.00350.00	0.00	0.00	0.03	0.00	0.00	0.00
17/03/2024 00:00	-0.4	0.000	0.000	0.000	0.000	0.33	0.00	0.001	0.0001	ND	0.0000	ND	0.0000	0.0036	ND	0.00360.00	0.00	0.00	0.03	0.00	0.00	0.00
18/03/2024 00:00	-1.8	0.000	0.000	0.000	0.000	0.33	0.00	0.001	0.0001	ND	0.0000	ND	0.0000	0.0036	ND	0.00360.00	0.00	0.00	0.03	0.00	0.00	0.00
19/03/2024 00:00	-0.6	0.000	0.000	0.000	0.000	0.33	0.00	0.001	0.0001	ND	0.0000	ND	0.0000	0.0036	ND	0.00360.00	0.00	0.00	0.03	0.00	0.00	0.00
20/03/2024 00:00	-0.5	0.000	0.000	0.000	0.000	0.33	0.01	0.001	0.0001	ND	0.0000	ND	0.0000	0.0036	ND	0.00360.00	0.00	0.00	0.03	0.00	0.00	0.00
21/03/2024 00:00	0.5	0.000	0.000	0.000	0.000	0.32	0.05	0.001	0.0001	ND	0.0000	ND	0.0000	0.0036	ND	0.00360.00	0.00	0.00	0.03	0.00	0.00	0.00
22/03/2024 00:00	1.7	0.000	0.000	0.000	0.000	0.32	0.25	0.002	0.0002	ND	0.0000	ND	0.0000	0.0036	ND	0.00360.00	0.00	0.00	0.03	0.00	0.00	0.00
23/03/2024 00:00	-0.2	0.416	0.000	0.287	0.000	0.32	0.01	0.001	0.0002	ND	0.0000	ND	0.0000	0.0036	ND	0.00360.00	0.00	0.00	0.03	0.00	0.00	0.00
24/03/2024 00:00	-2.3	0.139	0.000	0.138	0.000	0.32	0.00	0.000	0.0002	ND	0.0000	ND	0.0000	0.0037	ND	0.00360.00	0.00	0.00	0.03	0.00	0.00	0.00
25/03/2024 00:00	-5.1	17.821	0.005	17.821	0.005	0.33	0.00	0.000	0.0003	ND	0.0000	ND	0.0000	0.0037	ND	0.00370.00	0.00	0.00	0.03	0.00	0.00	0.00
26/03/2024 00:00	-9.0	29.876	0.008	29.876	0.008	0.34	0.00	0.000	0.0003	ND	0.0000	ND	0.0000	0.0037	ND	0.00370.00	0.00	0.00	0.03	0.00	0.00	0.00
27/03/2024 00:00	-11.9	12.453	0.003	12.453	0.003	0.34	0.00	0.000	0.0003	ND	0.0000	ND	0.0000	0.0037	ND	0.00370.00	0.00	0.00	0.03	0.00	0.00	0.00
28/03/2024 00:00	-7.4	20.902	0.006	20.902	0.006	0.34	0.00	0.000	0.0004	ND	0.0000	ND	0.0000	0.0038	ND	0.00380.00	0.00	0.00	0.03	0.00	0.00	0.00
29/03/2024 00:00	-5.0	71.418	0.020	71.418	0.020	0.36	0.00	0.000	0.0004	ND	0.0000	ND	0.0000	0.0038	ND	0.00380.00	0.00	0.00	0.03	0.00	0.00	0.00
30/03/2024 00:00	-8.7	7.271	0.002	7.271	0.002	0.37	0.00	0.000	0.0005	ND	0.0000	ND	0.0000	0.0038	ND	0.00380.00	0.00	0.00	0.03	0.00	0.00	0.00
31/03/2024 00:00	-8.8	28.017	0.008	28.017	0.008	0.37	0.00	0.000	0.0005	ND	0.0000	ND	0.0000	0.0039	ND	0.00390.00	0.00	0.00	0.03	0.00	0.00	0.00
01/04/2024 00:00	-10.6	2.552	0.001	2.552	0.001	0.37	0.00	0.000	0.0005	ND	0.0000	ND	0.0000	0.0039	ND	0.00390.00	0.00	0.00	0.03	0.00	0.00	0.00
02/04/2024 00:00	-8.2	4.208	0.001	4.208	0.001	0.38	0.00	0.000	0.0005	ND	0.0000	ND	0.0000	0.0040	ND	0.00400.00	0.00	0.00	0.03	0.00	0.00	0.00
03/04/2024 00:00	-5.0	0.279	0.000	0.279	0.000	0.38	0.00	0.000	0.0006	ND	0.0000	ND	0.0000	0.0040	ND	0.00400.00	0.00	0.00	0.03	0.00	0.00	0.00
04/04/2024 00:00	-2.1	0.000	0.000	0.000	0.000	0.37	0.00	0.000	0.0006	ND	0.0000	ND	0.0000	0.0041	ND	0.00410.00	0.00	0.00	0.03	0.00	0.00	0.00
05/04/2024 00:00	-0.2	0.139	0.000	0.095	0.000	0.37	0.02	0.000	0.0006	ND	0.0000	ND	0.0000	0.0041	ND	0.00410.00	0.00	0.00	0.03	0.00	0.00	0.00
06/04/2024 00:00	2.0	10.399	0.003	1.648	0.000	0.38	0.34	0.000	0.0006	ND	0.0000	ND	0.0000	0.0042	ND	0.00420.00	0.00	0.00	0.03	0.00	0.00	0.00
07/04/2024 00:00	1.4	0.416	0.000	0.117	0.000	0.38	0.22	0.000	0.0006	ND	0.0001	ND	0.0001	0.0042	ND	0.00420.00	0.00	0.00	0.03	0.00	0.00	0.00
08/04/2024 00:00	-1.0	4.023	0.001	3.483	0.001	0.38	0.00	0.000	0.0006	ND	0.0001	ND	0.0001	0.0043	ND	0.00430.00	0.00	0.00	0.03	0.00	0.00	0.00
09/04/2024 00:00	-10.4	9.429	0.003	9.429	0.003	0.38	0.00	0.000	0.0006	ND	0.0001	ND	0.0001	0.0043	ND	0.00430.00	0.00	0.00	0.03	0.00	0.00	0.00
10/04/2024 00:00	-8.5	2.773	0.001	2.773	0.001	0.38	0.00	0.000	0.0006	ND	0.0001	ND	0.0001	0.0044	ND	0.00440.00	0.00	0.00	0.03	0.00	0.00	0.00
11/04/2024 00:00	-2.9	1.248	0.000	1.245	0.000	0.38	0.00	0.000	0.0006	ND	0.0001	ND	0.0001	0.0044	ND	0.00440.00	0.00	0.00	0.03	0.00	0.00	0.00
12/04/2024 00:00	2.4	0.277	0.000	0.022	0.000	0.38	0.42	0.000	0.0007	ND	0.0001	ND	0.0001	0.0045	ND	0.00450.00	0.00	0.00	0.03	0.00	0.00	0.00
13/04/2024 00:00	5.0	0.000	0.000	0.000	0.000	0.38	1.19	0.000	0.0007	ND	0.0001	ND	0.0001	0.0046	ND	0.00450.00	0.00	0.00	0.03	0.00	0.00	0.00
14/04/2024 00:00	4.9	0.000	0.000	0.000	0.000	0.38	1.18	0.003	0.0008	ND	0.0001	ND	0.0001	0.0046	ND	0.00460.00	0.00	0.00	0.03	0.00	0.00	0.00
15/04/2024 00:00	1.5	1.664	0.000	0.437	0.000	0.38	0.23	0.001	0.0009	ND	0.0001	ND	0.0001	0.0047	ND	0.00470.00	0.00	0.00	0.03	0.00	0.00	0.00
16/04/2024 00:00	-3.3	4.992	0.001	4.992	0.001	0.38	0.00	0.000	0.0009	ND	0.0001	ND	0.0001	0.0048	ND	0.00480.00	0.00	0.00	0.03	0.00	0.00	0.00
17/04/2024 00:00	-6.2	1.664	0.000	1.664	0.000	0.38	0.00	0.000	0.0010	ND	0.0001	ND	0.0001	0.0049	ND	0.00480.00	0.00	0.00	0.03	0.00	0.00	0.00
18/04/2024 00:00	-10.6	10.261	0.003	10.261	0.003	0.38	0.00	0.000	0.0010	ND	0.0001	ND	0.0001	0.0049	ND	0.00490.00	0.00	0.00	0.03	0.00	0.00	0.00
19/04/2024 00:00	-4.4	0.000	0.000	0.000	0.000	0.38	0.00	0.000	0.0010	ND	0.0001	ND	0.0001	0.0050	ND	0.00500.00	0.00	0.00	0.03	0.00	0.00	0.00

20/04/2024 00:00	-4.0	0.000	0.000	0.000	0.000	0.000	0.38	0.00	0.000	0.0011	ND	0.0001	ND	0.0001	0.0051	ND	0.00510.00	0.00	0.00	0.03	0.00	0.00	0.00
21/04/2024 00:00	-5.3	0.139	0.000	0.139	0.000	0.000	0.38	0.00	0.000	0.0011	ND	0.0001	ND	0.0001	0.0052	ND	0.00520.00	0.00	0.00	0.03	0.00	0.00	0.00
22/04/2024 00:00	-12.5	4.437	0.001	4.437	0.001	0.000	0.38	0.00	0.000	0.0011	ND	0.0001	ND	0.0001	0.0053	ND	0.00530.00	0.00	0.00	0.03	0.00	0.00	0.00
23/04/2024 00:00	-14.5	8.874	0.002	8.874	0.002	0.000	0.38	0.00	0.000	0.0012	ND	0.0001	ND	0.0001	0.0054	ND	0.00540.00	0.00	0.00	0.03	0.00	0.00	0.00
24/04/2024 00:00	-11.1	5.130	0.001	5.130	0.001	0.000	0.38	0.00	0.000	0.0012	ND	0.0001	ND	0.0001	0.0055	ND	0.00550.00	0.00	0.00	0.03	0.00	0.00	0.00
25/04/2024 00:00	-7.2	8.608	0.002	8.608	0.002	0.000	0.39	0.00	0.000	0.0012	ND	0.0001	ND	0.0001	0.0056	ND	0.00560.00	0.00	0.00	0.03	0.00	0.00	0.00
26/04/2024 00:00	-7.3	9.958	0.003	9.958	0.003	0.000	0.39	0.00	0.000	0.0012	ND	0.0001	ND	0.0001	0.0057	ND	0.00570.00	0.00	0.00	0.03	0.00	0.00	0.00
27/04/2024 00:00	-6.5	85.105	0.023	85.105	0.023	0.000	0.41	0.00	0.000	0.0012	ND	0.0001	ND	0.0001	0.0058	ND	0.00580.00	0.00	0.00	0.03	0.00	0.00	0.00
28/04/2024 00:00	-6.4	2.778	0.001	2.778	0.001	0.000	0.41	0.00	0.000	0.0012	ND	0.0001	ND	0.0001	0.0059	ND	0.00590.00	0.00	0.00	0.03	0.00	0.00	0.00
29/04/2024 00:00	-5.1	20.125	0.006	20.125	0.006	0.000	0.42	0.00	0.000	0.0012	ND	0.0001	ND	0.0001	0.0060	ND	0.00600.00	0.00	0.00	0.03	0.00	0.00	0.00
30/04/2024 00:00	-3.7	18.246	0.005	18.246	0.005	0.000	0.42	0.00	0.000	0.0012	ND	0.0001	ND	0.0001	0.0061	ND	0.00610.00	0.00	0.00	0.03	0.00	0.00	0.00
01/05/2024 00:00	-5.1	29.924	0.008	29.924	0.008	0.000	0.43	0.00	0.000	0.0012	ND	0.0001	ND	0.0001	0.0062	ND	0.00620.00	0.00	0.00	0.03	0.00	0.00	0.00
02/05/2024 00:00	-6.9	0.555	0.000	0.555	0.000	0.000	0.43	0.00	0.000	0.0012	ND	0.0001	ND	0.0001	0.0063	ND	0.00630.00	0.00	0.00	0.03	0.00	0.00	0.00
03/05/2024 00:00	-6.0	0.000	0.000	0.000	0.000	0.000	0.43	0.00	0.000	0.0011	ND	0.0001	ND	0.0001	0.0064	ND	0.00640.00	0.00	0.00	0.03	0.00	0.00	0.00
04/05/2024 00:00	-2.2	0.742	0.000	0.734	0.000	0.000	0.43	0.00	0.000	0.0011	ND	0.0001	ND	0.0001	0.0065	ND	0.00650.00	0.00	0.00	0.03	0.00	0.00	0.00
05/05/2024 00:00	-1.7	15.888	0.004	15.364	0.004	0.000	0.44	0.00	0.000	0.0011	ND	0.0001	ND	0.0001	0.0066	ND	0.00660.00	0.00	0.00	0.03	0.00	0.00	0.00
06/05/2024 00:00	-4.6	2.825	0.001	2.825	0.001	0.000	0.44	0.00	0.000	0.0011	ND	0.0001	ND	0.0001	0.0067	ND	0.00670.00	0.00	0.00	0.03	0.00	0.00	0.00
07/05/2024 00:00	-6.8	31.114	0.009	31.114	0.009	0.000	0.45	0.00	0.000	0.0011	ND	0.0001	ND	0.0001	0.0068	ND	0.00680.00	0.00	0.00	0.03	0.00	0.00	0.00
08/05/2024 00:00	-3.9	8.319	0.002	8.319	0.002	0.000	0.45	0.00	0.000	0.0010	ND	0.0001	ND	0.0001	0.0069	ND	0.00690.00	0.00	0.00	0.03	0.00	0.00	0.00
09/05/2024 00:00	1.0	0.000	0.000	0.000	0.000	0.000	0.45	0.15	0.000	0.0010	ND	0.0001	ND	0.0001	0.0070	ND	0.00700.00	0.00	0.00	0.03	0.00	0.00	0.00
10/05/2024 00:00	1.8	0.000	0.000	0.000	0.000	0.000	0.45	0.32	0.000	0.0010	ND	0.0001	ND	0.0001	0.0071	ND	0.00710.00	0.00	0.00	0.03	0.00	0.00	0.00
11/05/2024 00:00	3.3	0.000	0.000	0.000	0.000	0.000	0.45	0.74	0.000	0.0010	ND	0.0001	ND	0.0001	0.0072	ND	0.00720.00	0.00	0.00	0.03	0.00	0.00	0.00
12/05/2024 00:00	1.4	0.139	0.000	0.040	0.000	0.000	0.45	0.23	0.000	0.0010	ND	0.0001	ND	0.0001	0.0072	ND	0.00720.00	0.00	0.00	0.03	0.00	0.00	0.00
13/05/2024 00:00	-0.1	1.672	0.000	1.105	0.000	0.000	0.45	0.02	0.000	0.0009	ND	0.0001	ND	0.0001	0.0073	ND	0.00730.00	0.00	0.00	0.03	0.00	0.00	0.00
14/05/2024 00:00	-3.1	77.743	0.021	77.743	0.021	0.000	0.47	0.00	0.000	0.0009	ND	0.0001	ND	0.0001	0.0074	ND	0.00740.00	0.00	0.00	0.03	0.00	0.00	0.00
15/05/2024 00:00	-6.2	4.074	0.001	4.074	0.001	0.000	0.47	0.00	0.000	0.0009	ND	0.0001	ND	0.0001	0.0075	ND	0.00750.00	0.00	0.00	0.03	0.00	0.00	0.00
16/05/2024 00:00	-7.5	11.006	0.003	11.006	0.003	0.000	0.47	0.00	0.000	0.0009	ND	0.0001	ND	0.0001	0.0076	ND	0.00750.00	0.00	0.00	0.03	0.00	0.00	0.00
17/05/2024 00:00	-5.9	11.852	0.003	11.852	0.003	0.000	0.48	0.00	0.000	0.0008	ND	0.0001	ND	0.0001	0.0076	ND	0.00760.00	0.00	0.00	0.03	0.00	0.00	0.00
18/05/2024 00:00	-3.4	3.713	0.001	3.713	0.001	0.000	0.48	0.00	0.000	0.0008	ND	0.0001	ND	0.0001	0.0077	ND	0.00770.00	0.00	0.00	0.03	0.00	0.00	0.00
19/05/2024 00:00	-4.9	37.887	0.010	37.887	0.010	0.000	0.49	0.00	0.000	0.0008	ND	0.0001	ND	0.0001	0.0078	ND	0.00780.00	0.00	0.00	0.03	0.00	0.00	0.00
20/05/2024 00:00	-6.9	2.036	0.001	2.036	0.001	0.000	0.49	0.00	0.000	0.0008	ND	0.0001	ND	0.0001	0.0078	ND	0.00780.00	0.00	0.00	0.03	0.00	0.00	0.00
21/05/2024 00:00	-4.0	0.000	0.000	0.000	0.000	0.000	0.49	0.00	0.000	0.0008	ND	0.0001	ND	0.0001	0.0079	ND	0.00790.00	0.00	0.00	0.03	0.00	0.00	0.00
22/05/2024 00:00	-3.7	1.064	0.000	1.064	0.000	0.000	0.49	0.00	0.000	0.0007	ND	0.0001	ND	0.0001	0.0080	ND	0.00800.00	0.00	0.00	0.03	0.00	0.00	0.00
23/05/2024 00:00	-3.3	1.109	0.000	1.109	0.000	0.000	0.49	0.00	0.000	0.0007	ND	0.0001	ND	0.0001	0.0080	ND	0.00800.00	0.00	0.00	0.03	0.00	0.00	0.00
24/05/2024 00:00	-2.9	4.905	0.001	4.903	0.001	0.000	0.49	0.00	0.000	0.0007	ND	0.0001	ND	0.0001	0.0081	ND	0.00810.00	0.00	0.00	0.03	0.00	0.00	0.00
25/05/2024 00:00	0.0	0.000	0.000	0.000	0.000	0.000	0.49	0.03	0.000	0.0007	ND	0.0001	ND	0.0001	0.0081	ND	0.00810.00	0.00	0.00	0.03	0.00	0.00	0.00
26/05/2024 00:00	0.1	0.000	0.000	0.000	0.000	0.000	0.49	0.03	0.000	0.0007	ND	0.0001	ND	0.0001	0.0082	ND	0.00820.00	0.00	0.00	0.03	0.00	0.00	0.00

27/05/2024 00:00	1.1	0.555	0.000	0.195	0.000	0.49	0.18	0.001	0.0007	ND	0.0001	ND	0.0001	0.0083	ND	0.00820.00	0.00	0.00	0.03	0.00	0.00
28/05/2024 00:00	3.1	0.000	0.000	0.000	0.000	0.49	0.69	0.004	0.0008	ND	0.0001	ND	0.0001	0.0083	ND	0.00830.00	0.00	0.00	0.03	0.00	0.00
29/05/2024 00:00	4.4	0.000	0.000	0.000	0.000	0.48	1.18	0.006	0.0013	ND	0.0001	ND	0.0001	0.0084	ND	0.00840.00	0.00	0.00	0.03	0.01	0.00
30/05/2024 00:00	1.8	0.139	0.000	0.027	0.000	0.48	0.34	0.002	0.0017	ND	0.0001	ND	0.0001	0.0086	ND	0.00860.00	0.00	0.00	0.03	0.01	0.00
31/05/2024 00:00	-2.4	0.832	0.000	0.830	0.000	0.48	0.00	0.000	0.0020	ND	0.0002	ND	0.0002	0.0088	ND	0.00870.00	0.00	0.00	0.03	0.01	0.00
01/06/2024 00:00	-4.0	2.496	0.001	2.496	0.001	0.48	0.00	0.000	0.0022	ND	0.0002	ND	0.0002	0.0089	ND	0.00890.00	0.00	0.00	0.03	0.01	0.00
02/06/2024 00:00	-2.8	1.664	0.000	1.661	0.000	0.48	0.00	0.000	0.0024	ND	0.0002	ND	0.0002	0.0092	ND	0.00910.00	0.00	0.00	0.03	0.01	0.00
03/06/2024 00:00	0.1	4.255	0.001	2.584	0.001	0.48	0.03	0.000	0.0025	ND	0.0002	ND	0.0002	0.0094	ND	0.00940.00	0.00	0.00	0.03	0.01	0.00
04/06/2024 00:00	2.1	0.000	0.000	0.000	0.000	0.48	0.42	0.001	0.0027	ND	0.0002	ND	0.0002	0.0096	ND	0.00960.00	0.00	0.00	0.03	0.01	0.00
05/06/2024 00:00	4.3	0.000	0.000	0.000	0.000	0.47	1.16	0.006	0.0032	ND	0.0003	ND	0.0003	0.0099	ND	0.00990.00	0.00	0.00	0.03	0.01	0.00
06/06/2024 00:00	6.4	0.000	0.000	0.000	0.000	0.46	2.02	0.009	0.0045	ND	0.0004	ND	0.0004	0.0103	ND	0.01030.00	0.00	0.00	0.03	0.02	0.01

ANEJO 3. FOTOGRAFÍAS

GLACIAR DE LA MALADETA

Medida de la acumulación (06/06/2024)



Vista general del glaciar de La Maladeta, 31/05/2024



Vista general del glaciar desde margen derecha



Zona de la rimaya. 620 cm de espesor medio



Parte superior del glaciar. 590 cm de espesor medio a 3.150 m.



Parte intermedia del glaciar. 480 cm de espesor medio a 3.050 m.



Parte inferior del glaciar. 450 cm de espesor medio a 2.975 m.

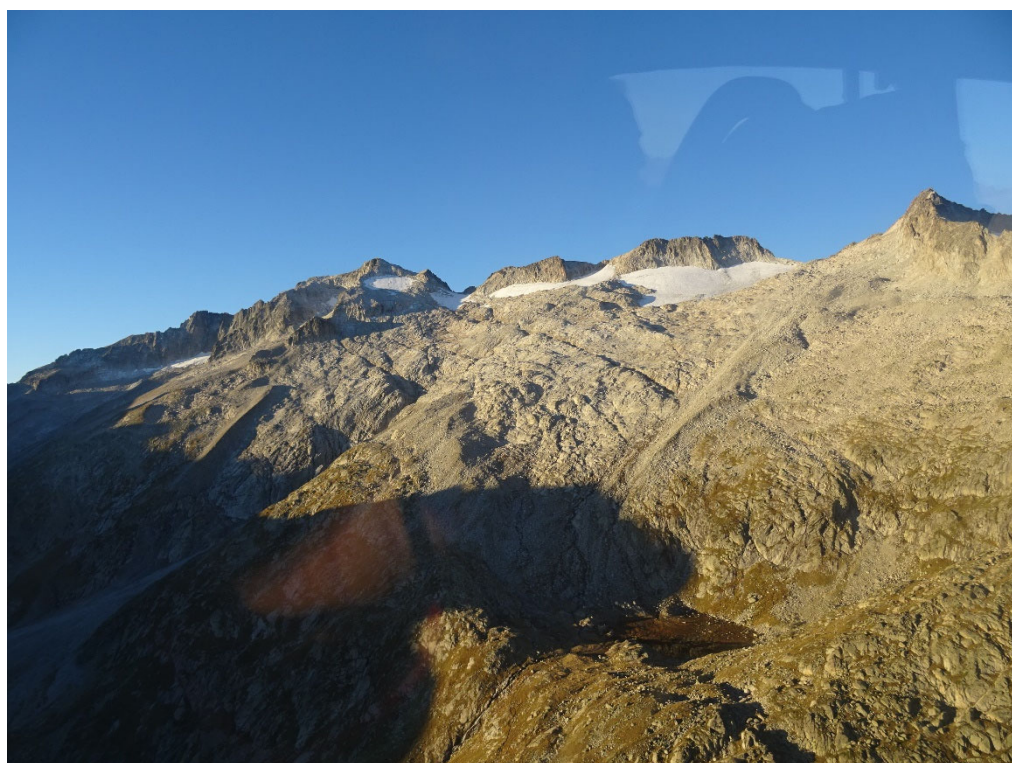


Toma de datos por debajo del frente actual. Límite en 2014. 440 cm de espesor a unos 2.850 m.

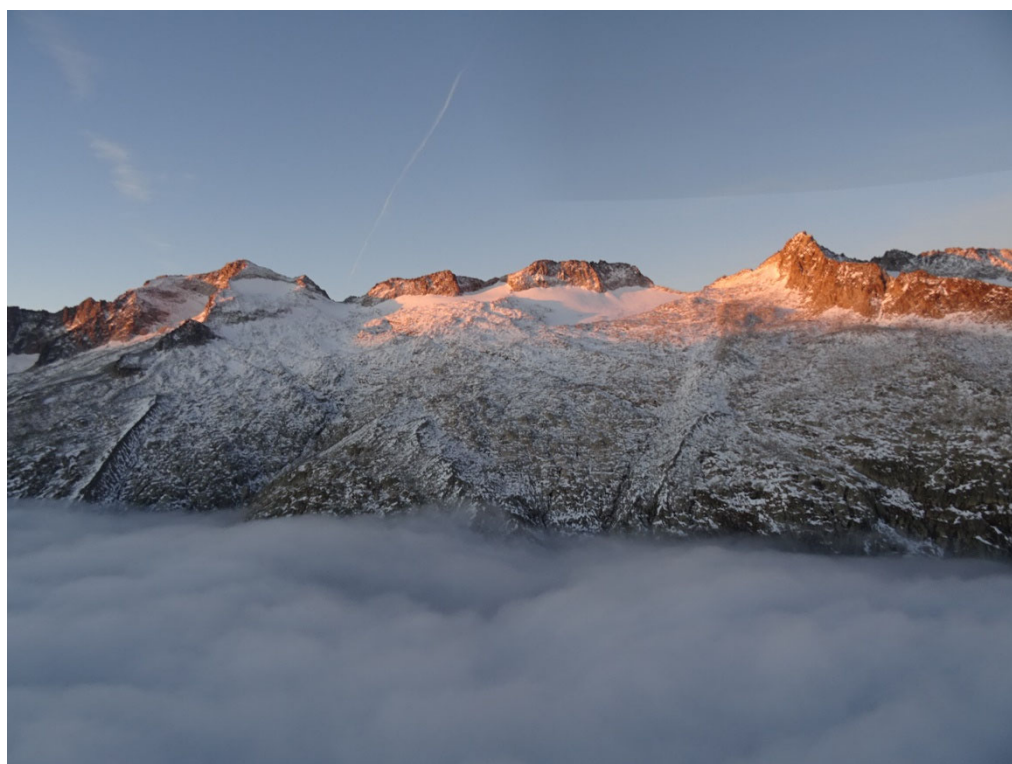


Vista general desde aguas abajo del glaciar. 420 cm de espesor a unos 2.780 m.

Medida del balance (21/10/2024)



Glaciar del Aneto desde el helicóptero en 2023



Glaciar del Aneto desde el helicóptero en 2024



Glaciar de La Maladeta desde el dron



Glaciar de La Maladeta visto desde la base topográfica en 2023



Glaciar de La Maladeta visto desde la base topográfica en 2024



Base RTK del dron



Dron Matrice 300 RTK con cámara láidar y fotogramética



Parte baja del glaciar vista desde la base topográfica en 2023



Parte baja del glaciar vista desde la base topográfica en 2024



Parte intermedia del glaciar vista desde la base topográfica en 2023



Parte intermedia del glaciar vista desde la base topográfica en 2024



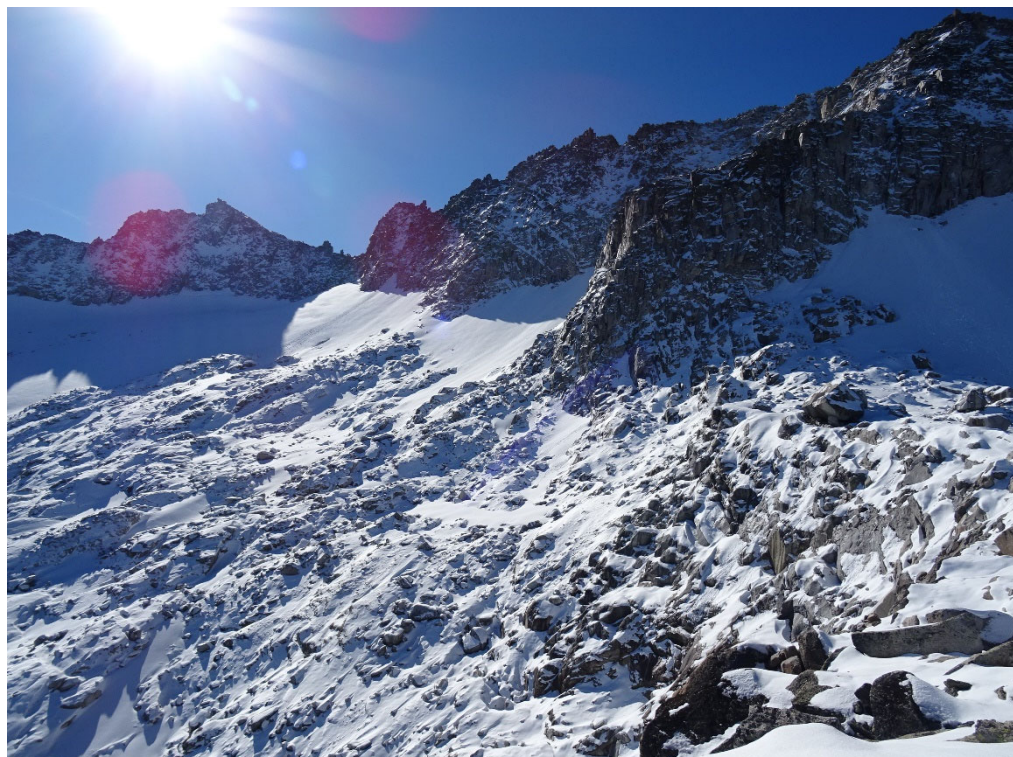
Parte alta del glaciar vista desde la base topográfica en 2023



Parte alta del glaciar vista desde la base topográfica en 2024



Parte alta (margen izquierda) del glaciar vista desde la base topográfica en 2023



Parte alta (margen izquierda) del glaciar vista desde la base topográfica en 2024



Frente del glaciar desde la base topográfica 2023



Frente del glaciar desde la base topográfica 2024



Rimaya. Lugar donde aterriza el helicóptero para dejar al personal



Baliza 27, cota 3.137 m. Pérdida de 41 cm de espesor de hielo (248 cm en 2023). Desplazamiento horizontal de 1,81 m.



Baliza 1 instalada en 1991 a 3.162 m en la rimaya y no vuelta a ver hasta 2023. Su posición actual está a 3.114 m. Desplazamiento horizontal de 1,94 m, 101 m desde 1991, lo que da un desplazamiento medio anual de 3 m.



Parte superior del glaciar. De 50 a 80 cm de nieve nueva sobre el hielo glaciar.



Toma de puntos en la zona intermedia del glaciar



Margen izquierda del glaciar. Entrada a cueva de hielo.



Interior de la cueva de margen izquierda



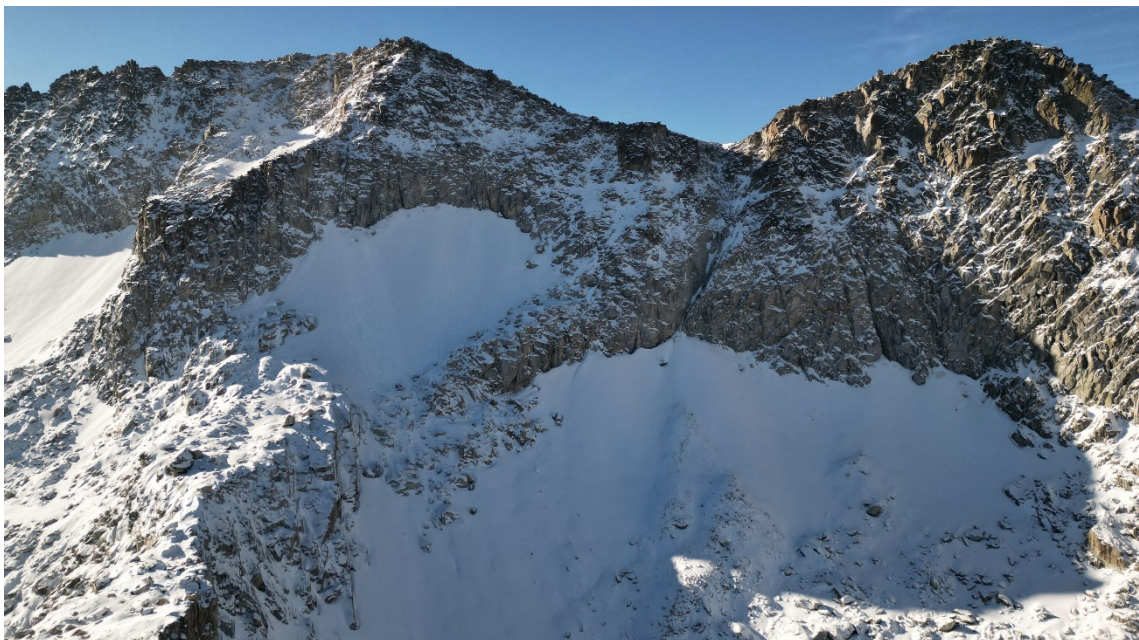
Toma de puntos en la parte baja del glaciar, con gran pendiente



Frente del glaciar



Glaciar de La Maladeta Occidental visto desde el dron en 2023. Se ha partido en dos, siendo la parte baja
apenas residual



Maladeta Occidental en 2024



GLACIAR DE LA MALADETA. EVOLUCIÓN DE LA MARGEN IZQUIERDA DESDE LA BASE TOPOGRÁFICA



Año 2004



Año 2005



Año 2007



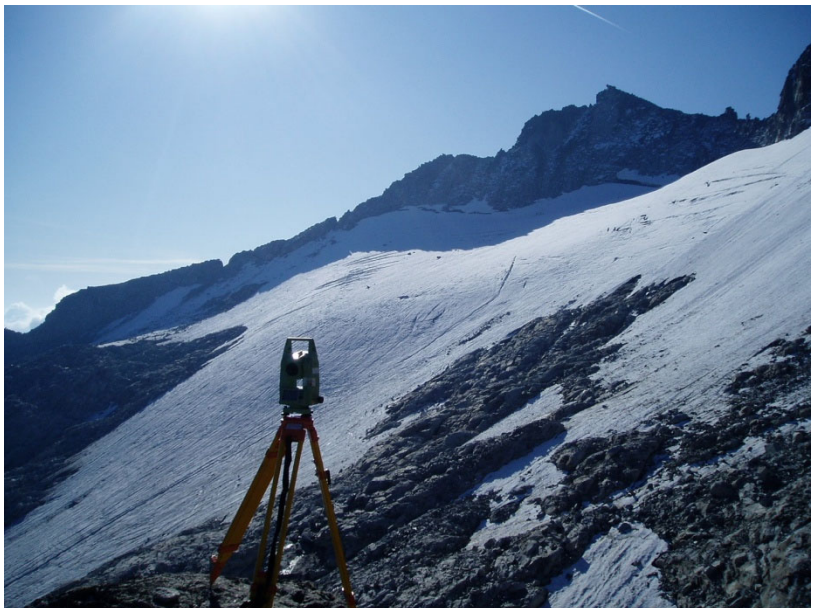
Año 2008



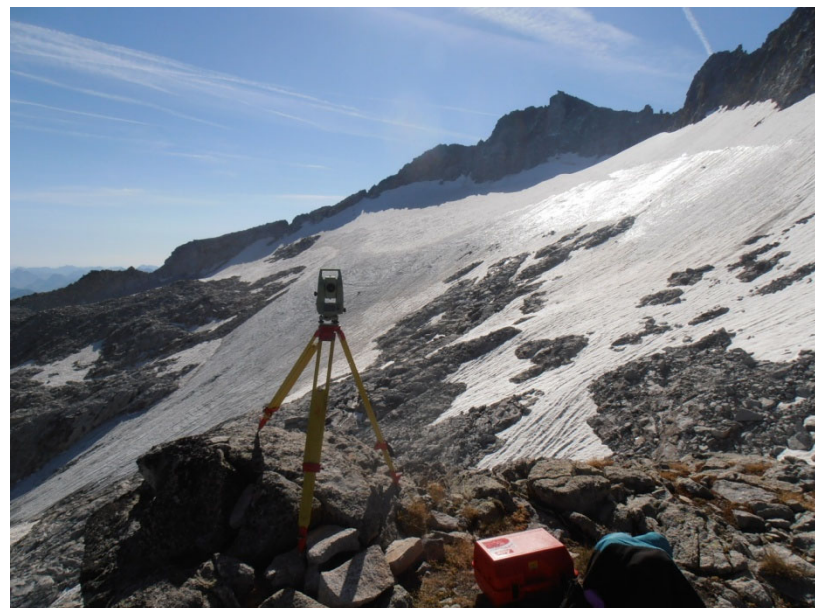
Año 2009



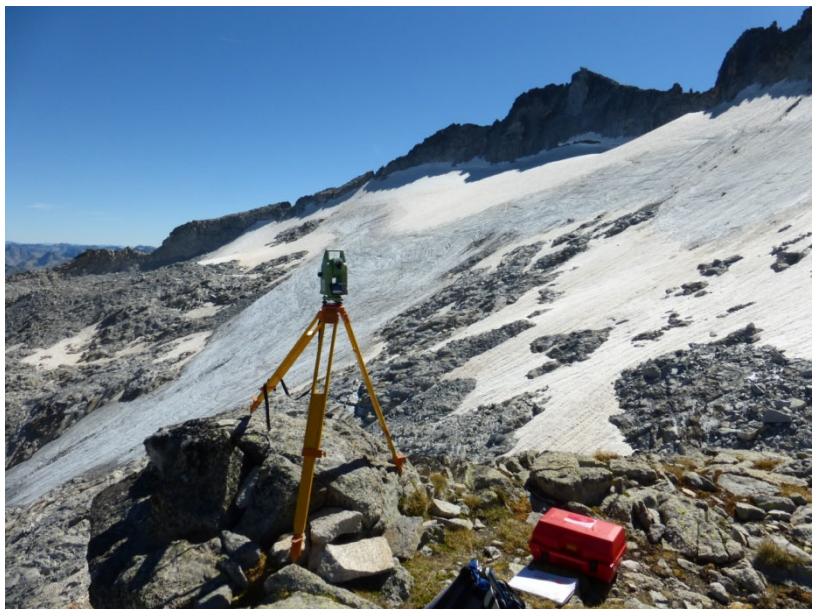
Año 2010



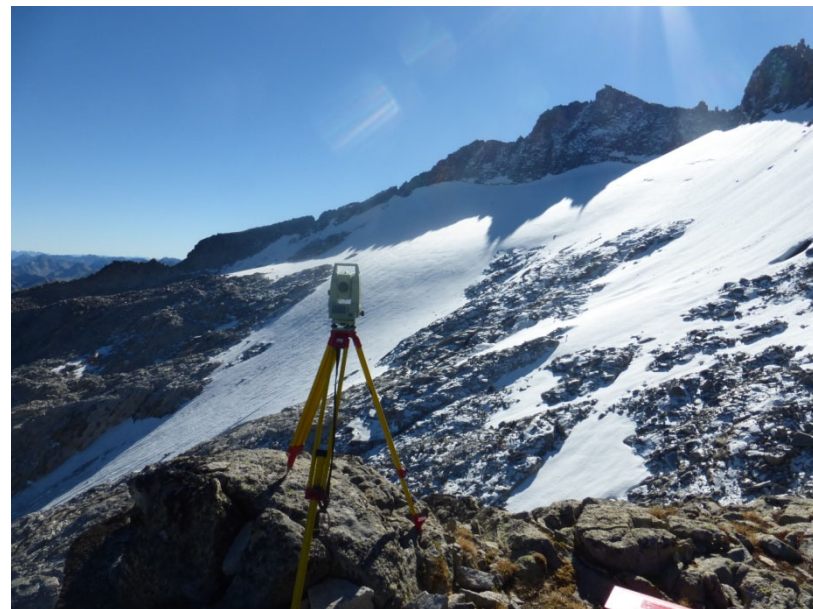
Año 2011



Año 2013



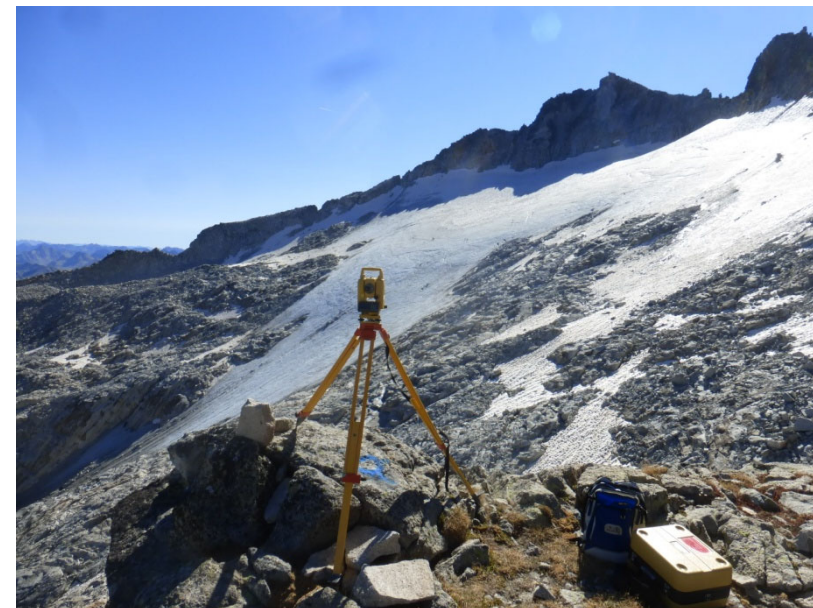
Año 2014



Año 2015



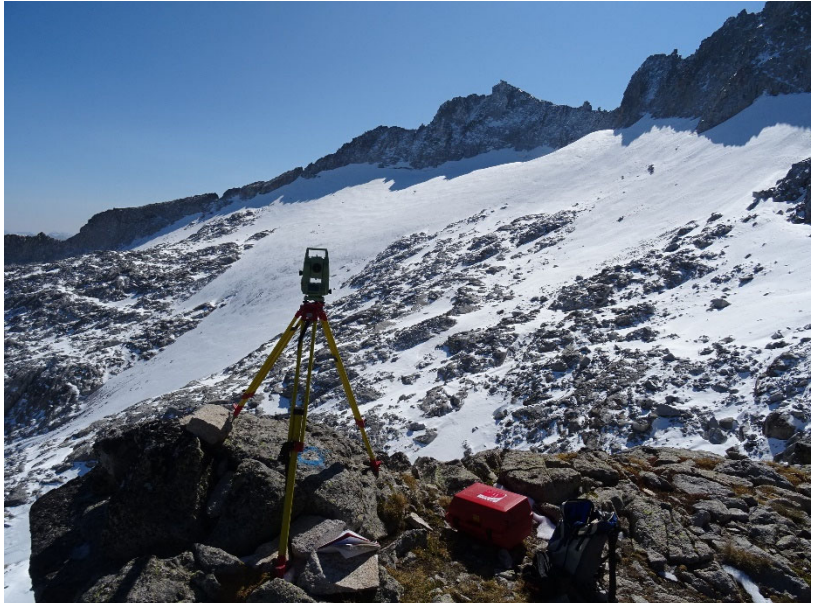
Año 2016



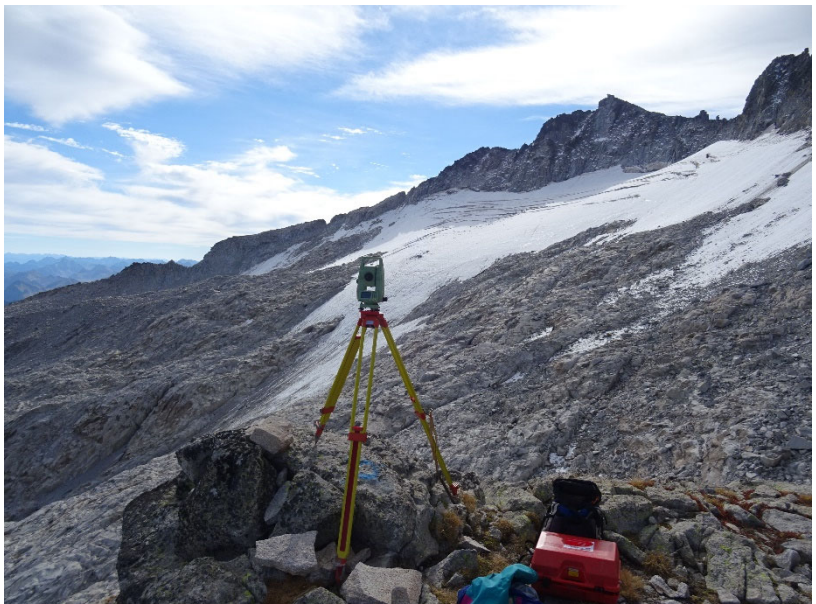
Año 2018



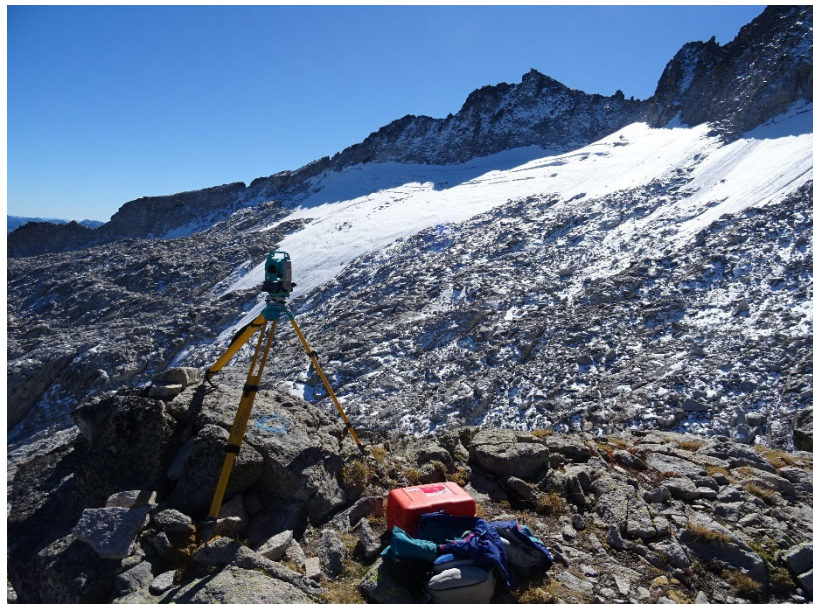
Año 2019



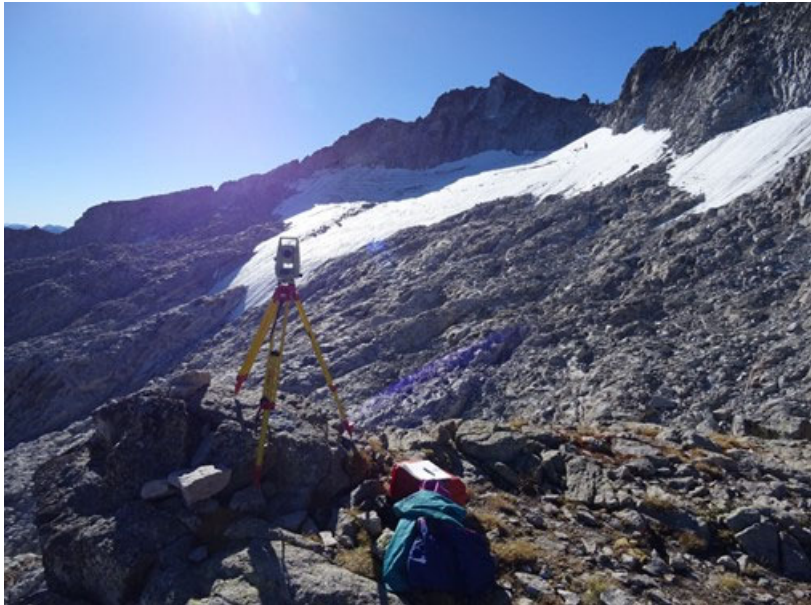
Año 2020



Año 2021



Año 2022



Año 2023



Año 2024

**ANEJO 4. TEMPERATURAS ESTACIÓN
METEOROLÓGICA ANETO (JUN-OCT)**

En el presente anexo se incluye una serie de gráficos de temperaturas obtenidas a partir de la estación meteorológica situada en la parte oriental del glaciar del Aneto, a 3.044 m de altitud, desde 2010 a 2024.

Esta estación pertenece al Gobierno de Aragón y es mantenida por la empresa Arantec. Los datos son de libre acceso a través del siguiente enlace:

<https://iot.arantec.com/app/dashboards/public/dashboard/EfabJYe9MlktC9Qzxm6fHipyqceeYfYRMJSDEWR4yOE?datePicker=true&embed=true>

Gráfico 1: temperatura máxima, media y mínima junio-octubre 2024:

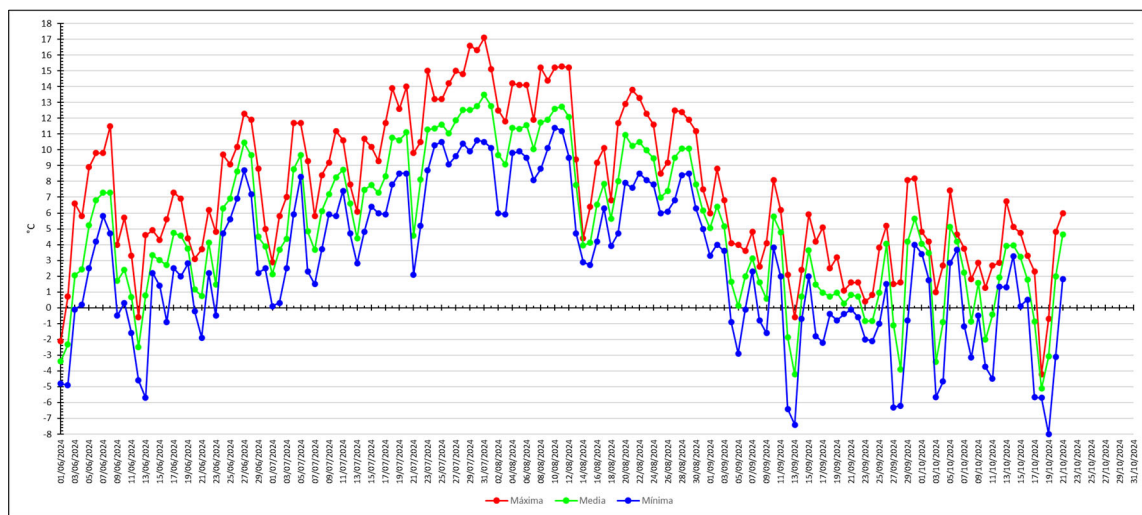


Gráfico 2: comparativa temperaturas máxima, media y mínima 2024 con el periodo 2010-2024:

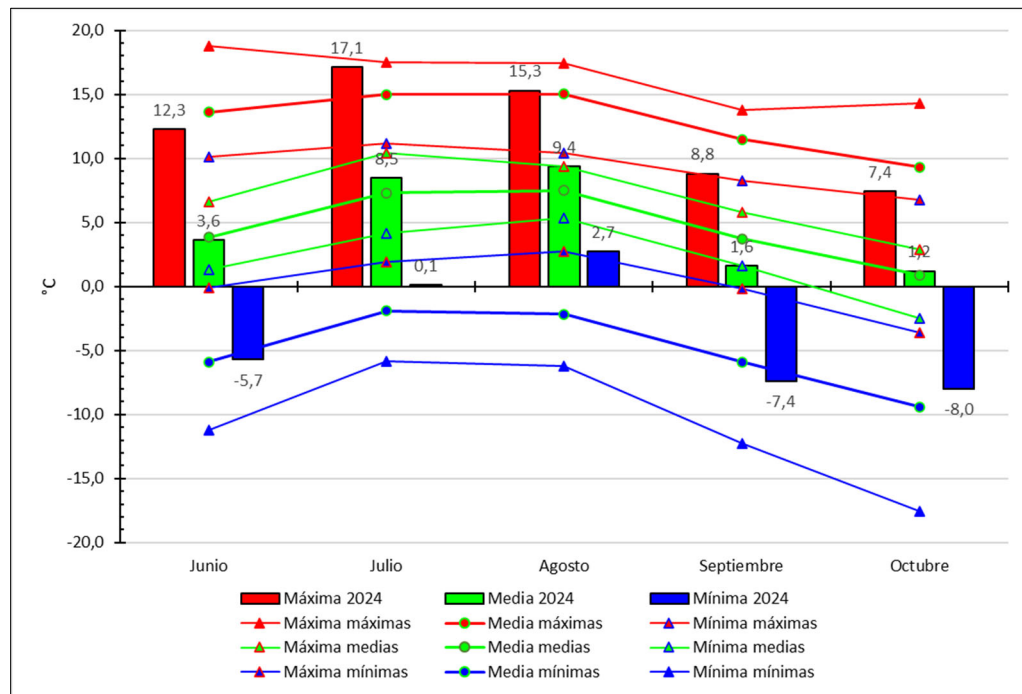


Gráfico 3: temperaturas medias diarias observadas. Comparativa con los dos últimos años (2022 y 2023) y con los percentiles 75, 50 y 25 (periodo 2010-2024):

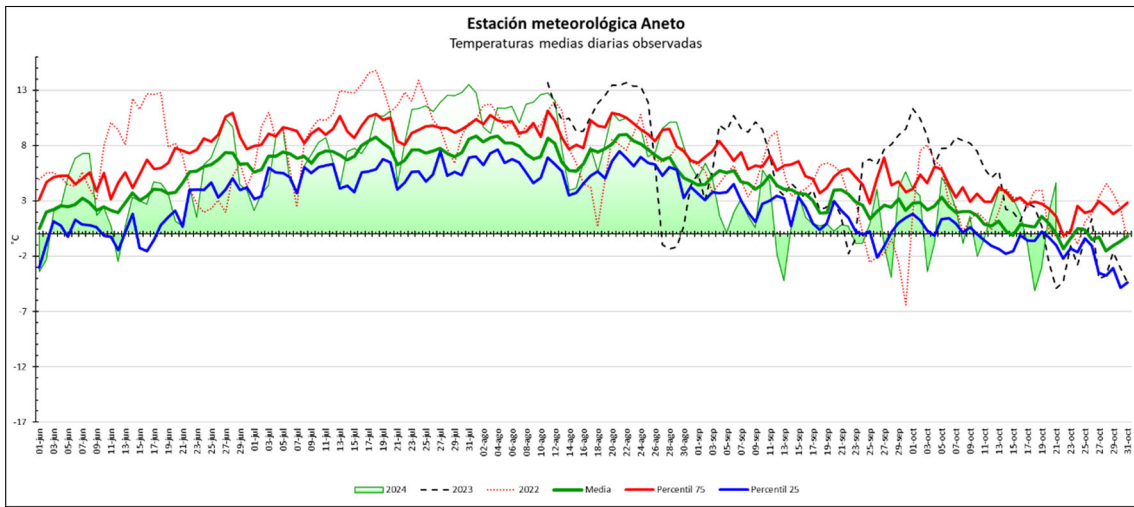
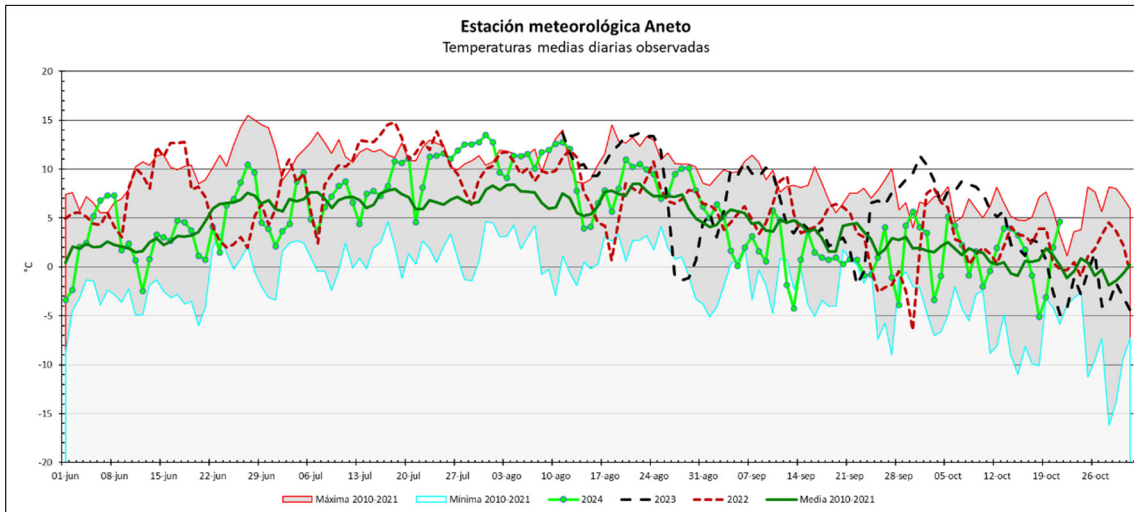


Gráfico 4: temperaturas medias diarias observadas. Comparativa con los dos últimos años (2022 y 2023) y con el periodo 2010-2021:



Del estudio de todos estos gráficos, se puede observar que:

- 1- El mes de junio coincide con las medias observadas en el periodo 2010-2024.
- 2- Julio y agosto fueron meses con temperaturas claramente superiores a la media, con agosto coincidiendo su media con la máxima de las medias del periodo 2010-2024.
- 3- Septiembre fue un mes frío comparándolo con el periodo 2010-2024. Tanto la media como la máxima coinciden con los valores mínimos del periodo 2010-2024. Cabe destacar que la primera nevada se produjo el 4 de septiembre, quedando desde entonces el glaciar tapado por la nieve, lo cual ha permitido que, junto con las bajas temperaturas, el proceso de ablación se detuviera en gran medida.
- 4- Octubre coincide con las medias observadas en el periodo 2010-2024.

**ANEJO 5. COMPARATIVA IMÁGENES
SATÉLITE SENTINEL (JUN-OCT 2024)**

Comparativa imágenes Sentinel disponibles durante el periodo de ablación

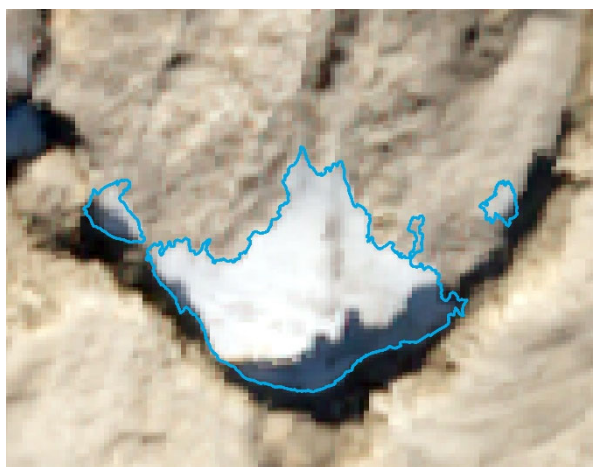


Imagen color verdadero 27/09/2023

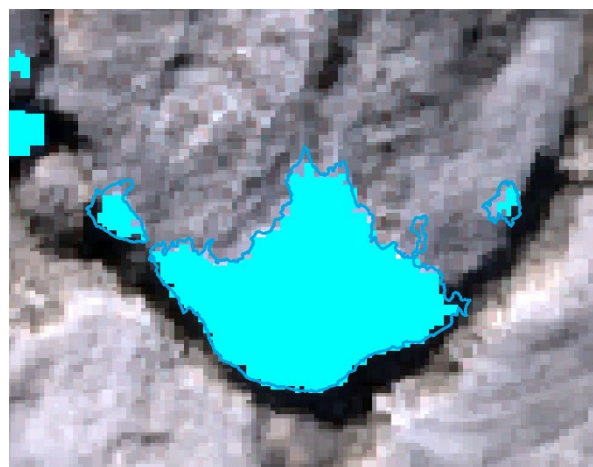


Imagen NDSI 27/09/2023

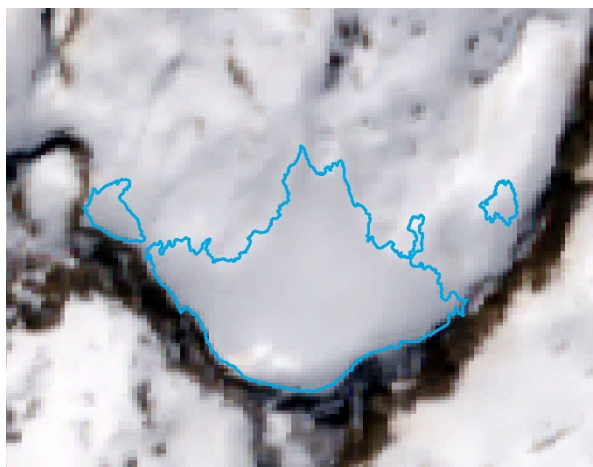


Imagen color verdadero 13/06/2024

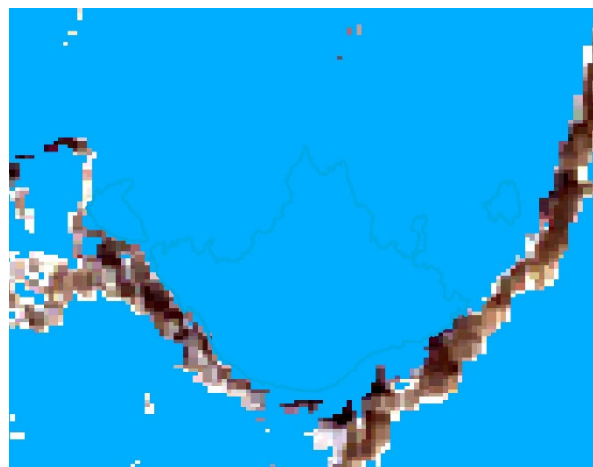


Imagen NDSI 13/06/2024

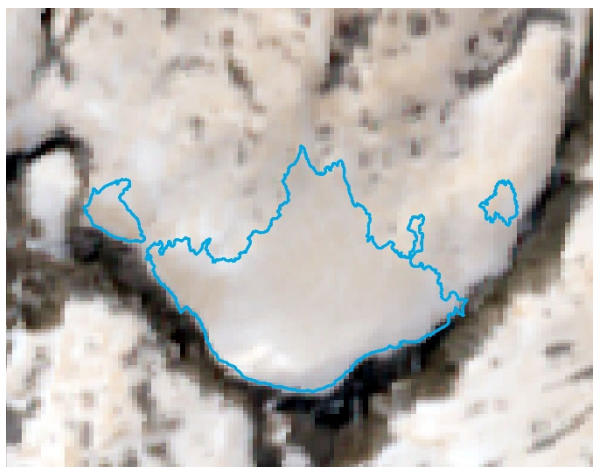


Imagen color verdadero 03/07/2024

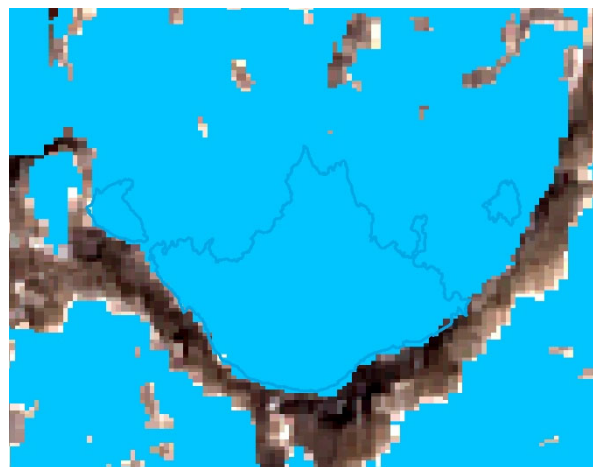


Imagen NDSI 03/07/2024

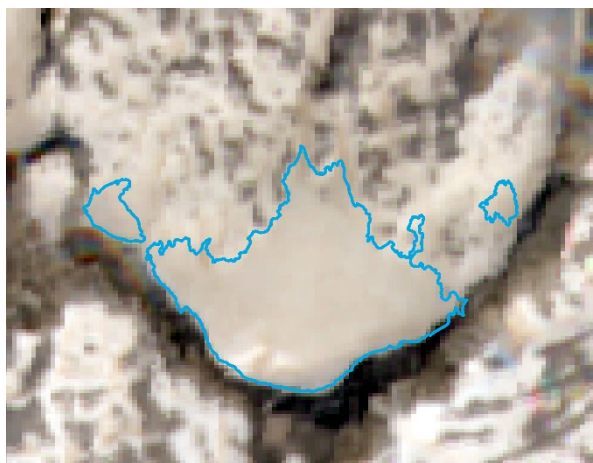


Imagen color verdadero 18/07/2024

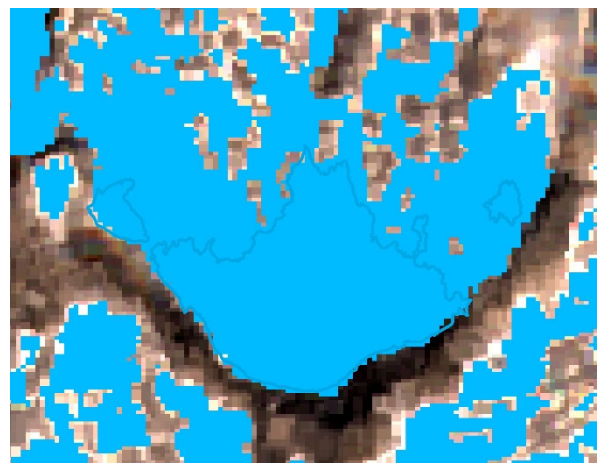


Imagen NDSI 18/07/2024

En el visible se empieza a observar algo de hielo a ~3.020 m. El NDSI no diferencia entre hielo y nieve.



Imagen color verdadero 23/07/2024

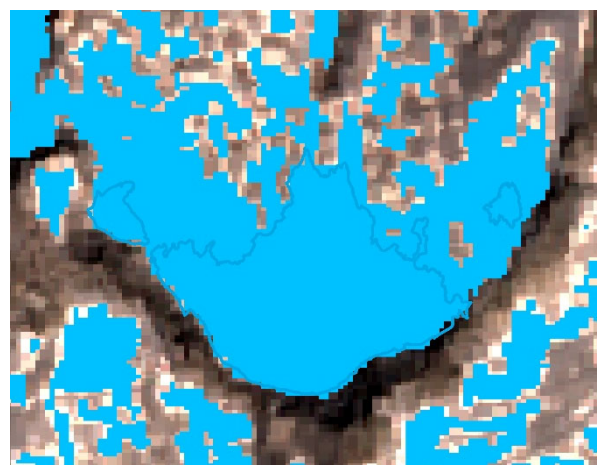


Imagen NDSI 23/07/2024

ELA (línea de equilibrio) a ~3.030 m.

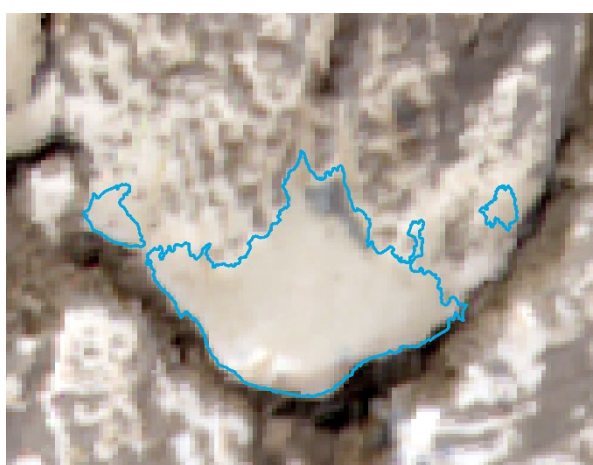


Imagen color verdadero 28/07/2024

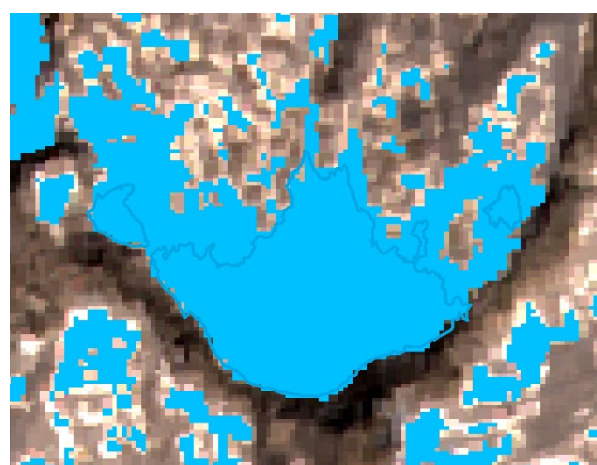


Imagen NDSI 28/07/2024

ELA (línea de equilibrio) a ~3.040 m.

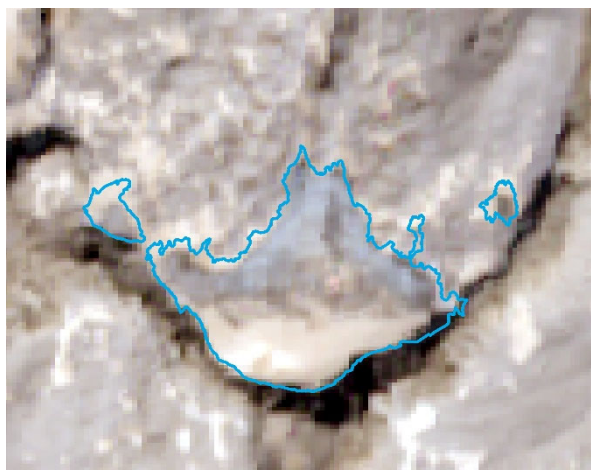


Imagen color verdadero 22/08/2024

ELA (línea de equilibrio) a ~3.120 m.

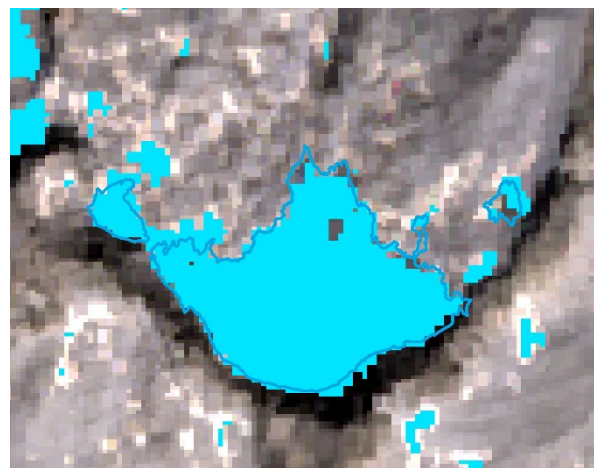


Imagen NDSI 22/08/2024

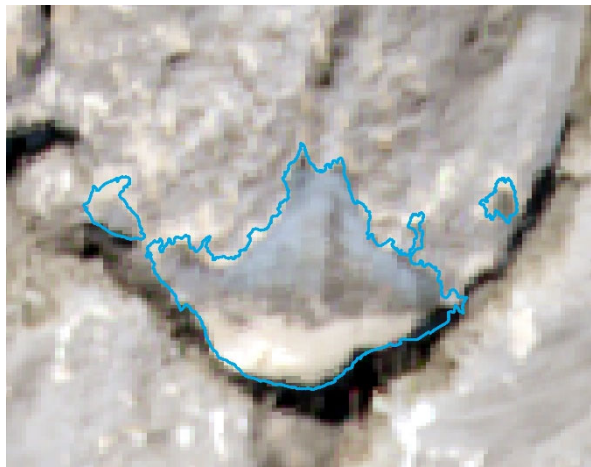


Imagen color verdadero 27/08/2024

ELA (línea de equilibrio) a ~3.130 m.

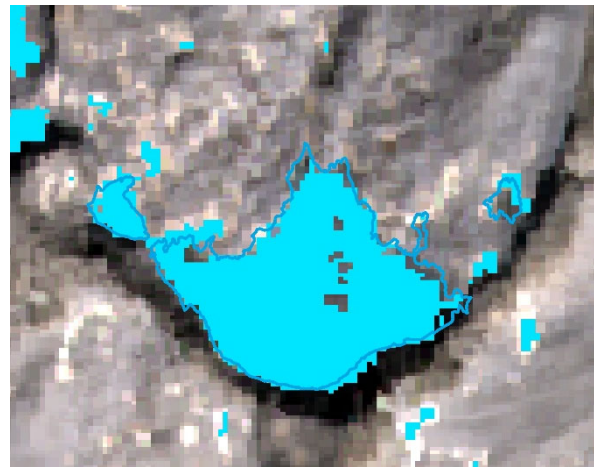


Imagen NDSI 27/08/2024



Imagen falso color 16/09/2024

Nubes altas impiden ver bien el glaciar y el filtro NDSI. Hay nieve reciente

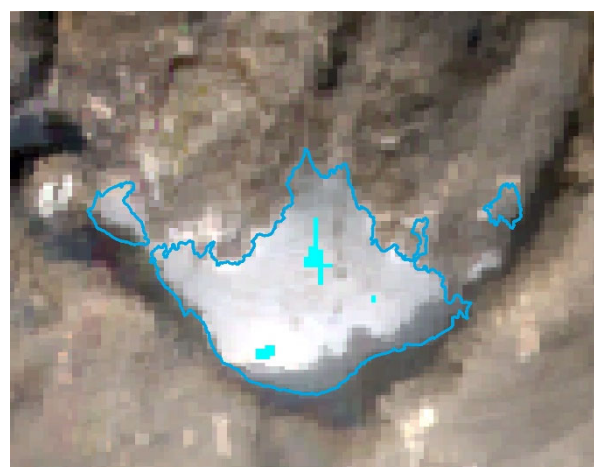


Imagen NDSI 16/09/2024

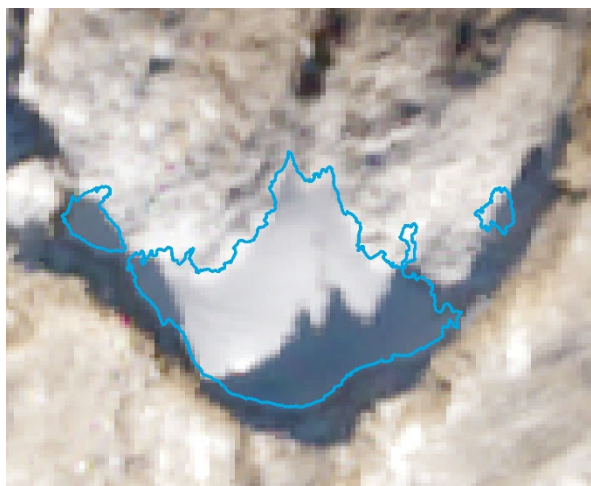


Imagen color verdadero 11/10/2024

Nieve nueva tapando todo el glaciar

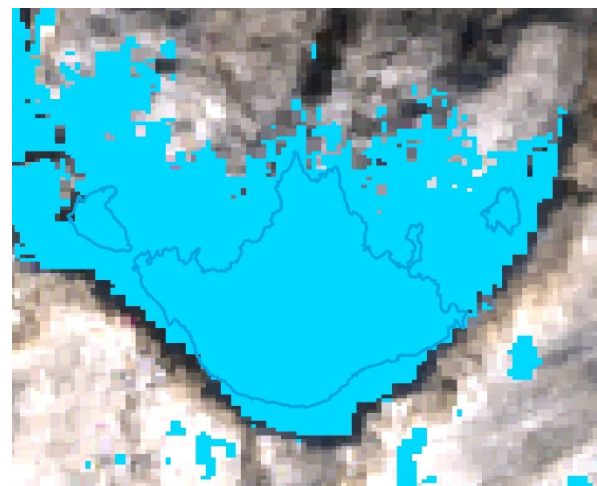


Imagen NDSI 11/10/2024

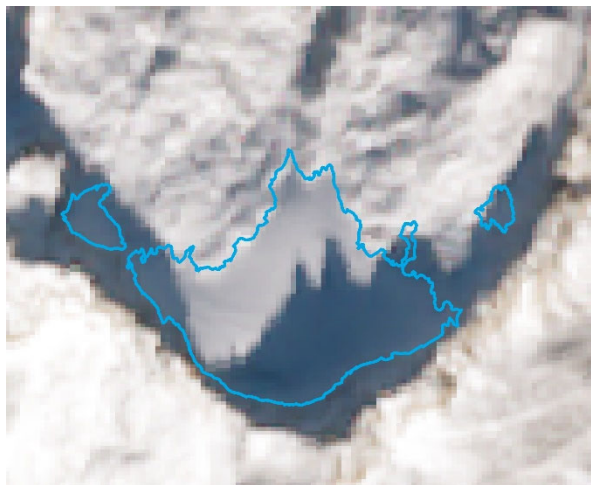


Imagen color verdadero 21/10/2024

Coincide con la fecha en la que se realizó la medición. Nieve nueva tapando todo el glaciar.

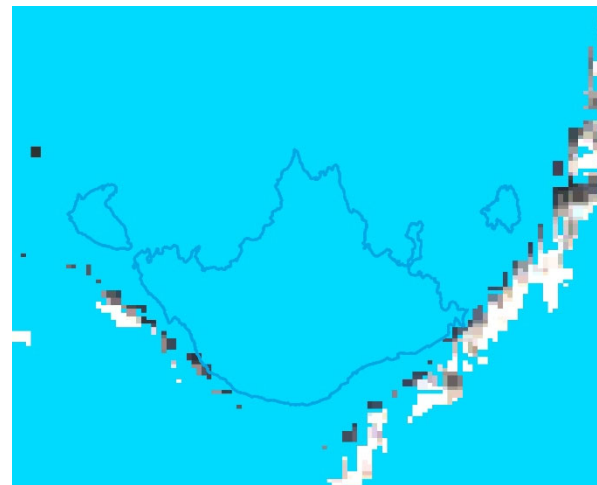


Imagen NDSI 21/10/2024